

Азәрбајҹан ССР  
Елмләр Академијасы  
Академия наук  
Азербайджанской ССР

ISSN 0002-3078

# МӘРУЗӘЛӘР ДОКЛАДЫ

ЧИЛД  
XLV  
ТОМ



1989

ЧНБ

ДАН Азерб. ССР публикует краткие сообщения об оригинальных, нигде не публиковавшихся ранее, результатах научных исследований, представленные академиками АН Азерб. ССР, которые тем самым берут на себя ответственность за научные достоинства представляющейся статьи.

В «Докладах» не публикуются крупные статьи, механически разделенные на ряд отдельных сообщений, статьи полемического характера, без новых фактических сообщений, статьи полемического характера, без новых фактических данных, статьи с описанием промежуточных опытов, без определенных выводов и обобщений, чисто методические статьи, если предлагаемый метод не является принципиально новым, а также статьи по систематике растений и животных (за исключением описания особенно интересных для науки находок).

Будучи органом срочной информации, журнал «ДАН Азерб. ССР» принимает и отбирает к печати статьи, объем которых допускает их публикацию в установленные решение Президиума АН Азерб. ССР сроки.

В связи со всеми перечисленными ограничениями отклонение статьи редакцией «Доклады АН Азерб. ССР» означает только, что она не согласуется с требованиями и возможностями этого журнала и не исключает ее публикации в других изданиях.

#### ПРАВИЛА ДЛЯ АВТОРОВ

Редакция журнала «Доклады АН Азерб. ССР» просит авторов руководствоваться приведенными правилами и надеется, что авторы ознакомятся с ними прежде, чем пришлют статью в редакцию.

Статьи, присланные без соблюдения этих правил, к рассмотрению не принимаются.

1. Статьи, направляемые в редакцию, должны иметь представление члена АН СССР или академика АН Азерб. ССР.

С  
2. *Фотоаппарат АИФур.сер*  
очеред  
ния пр  
3.  
4.  
не рас  
1989  
151

так  
ста  
из

пол  
номе

буде

к пе  
редко  
жасм  
чается

8.  
16 стр  
больше  
включа  
Вклейк  
рисунки  
Текст  
одних и  
ны бы  
деталей  
должны  
странице  
назначе

1 (см. выше).

редакцией не принимаются.  
твенным поводом для вынесения сообщения и соображение редакции.

ие статьи на рецензию.

автора в год. Это правило академии наук Азерб. ССР. следует поместить статью, а классификации (УДК). Каждая статья должна быть представлена в двух экземплярах, предварительно в ВНИИТИ.

здания, в котором имеется полный почтовый адрес и

ко, с которым редакция

чает, что статья принята, вновь рассматривается вместе с первоначальным. Датой поступления считаются.

ее  $\frac{1}{4}$  авторского листа цы, библиография (не превышать четырех, за мелованной бумаге, еличения. Шриховые даются на кальке, мплярах. Повторение стимо. Рисунки должны передачи всех Подписи к рисункам приведены на отдельной странице, фамилии авторов,

АЗЭРБАЙЧАН ССР ЕЛМЛЭР АКАДЕМИЯСЫ  
АКАДЕМИЯ НАУК АЗЕРБАЙДЖАНСКОЙ ССР

# МО'РУЗЭЛЭР ДОКЛАДЫ

## ТОМ XLV ЧИЛД

№ 1



«ЕЛМ» ИШРИЯЛДЫ—ИЗДАТЕЛЬСТВО «ЕЛМ»  
БАКЫ — 1989 — БАКУ

## РЕДАКЦИОННАЯ КОЛЛЕГИЯ:

Э. Ю. Салаев (главный редактор), Г. Б. Абдуллаев, М. Т. Абасов, В. С. Алиев, Г. А. Алиев, Дж. А. Алиев, И. Г. Алиев, Дж. Б. Гулиев, Н. А. Гулиев, М. З. Джабаров, Ф. Г. Максудов, А. А. Надиров, Ю. М. Сенцов (зам. главного редактора), М. А. Усейнов, Г. Г. Зейналов (ответств. секретарь).

© Издательство «Элм», 1989 г.

Адрес: г. Баку, Коммунистическая, 10. Редакция «Докладов Академии наук Азербайджанской ССР»

М. С. ДЖАБРАИЛОВ

О НЕКОТОРЫХ ВЕКТОРНОЗНАЧНЫХ ФУНКЦИОНАЛЬНЫХ  
В-ПРОИСТРАНСТВАХ

(Представлено академиком АН Азербайджанской ССР Ф. Г. Максудовым)

Классы дифференцируемых функций многих переменных и теория вложения этих пространств довольно широко изучены в работах [1]—[5]. В пространствах абстрактных функций вопросы вложения исследованы в [6]—[12]. В данной статье вводятся абстрактные функциональные пространства типа О. В. Бесова ( $B$ -пространства). Доказывается непрерывность операторов вложения в рассматриваемых пространствах. В частности, показывается существование смешанных производных функций из этих пространств. Устанавливаются их оценки с параметром в рамках абстрактной теории интерполяции, позволяющей получить мультипликативные неравенства.

Пусть  $A$ —позитивный оператор [7, с. III] в гильбертовом пространстве  $H$ ;  $\Omega \subset R^n$ ,  $-\infty < 0 < \infty$ . Положим

$$H(A^0) = \{u: u \in D(A^0), \|u\|_{H(A^0)} = \|A^0 u\|_H + \|u\|_H < \infty\}.$$

Определение 1. Через  $L_p(\Omega; E)$  обозначим пространство функций  $u$  со значениями из  $E$ , измеримых в сильном смысле на  $\Omega$  с нормой

$$\|u\|_{L_p(\Omega; E)} = \left( \int_{\Omega} \|u(x)\|_E^p dx \right)^{1/p} < \infty, \quad 1 < p < \infty.$$

Пусть  $H_0$  и  $H$ —гильбертовы пространства,  $H_0$  плотно вложено в  $H$ . Через  $[H_0, H]_0$ ,  $0 < 0 < 1$ , обозначим интерполяционные пространства между  $H_0$  и  $H$  [6, с. 22].

Пусть  $m$ —натуральное число,  $e_1, e_2, \dots, e_n$ —координатные единичные векторы в  $R^n$  и  $\Omega \subset R^n$ . По определению, если  $x \in R^n$  и  $h \in R$ , то

$$\Delta_l(h) u(x) = u(x + he_l) - u(x),$$

$$\Delta_l^m(h) u(x) = \Delta_l(h) [\Delta_l^{m-1}(h) u(x)],$$

а если  $x \in \Omega$ , то

$$\Delta_l^m(h, \Omega) u(x) = \begin{cases} \Delta_l^m(h) u(x) & \text{при } [x, x + mhe_l] \subset \Omega, \\ 0 & \text{при } [x, x + mhe_l] \not\subset \Omega. \end{cases}$$

Пусть  $m_i$ —натуральные,  $k_i$ —целые неотрицательные числа,  $l = (l_1, \dots, l_n)$ ,  $m_i > l_i - k_i > 0$ ,  $1 < p < \infty$ ,  $1 < q < \infty$ ,  $h_0 > 0$ .

Определение 2.

$$\begin{aligned} B_{p,q}^l(\Omega; H_0, H) &= \left\{ u: u \in L_p(\Omega; H_0), \|u\|_{B_{p,q}^l(\Omega; H_0, H)} = \right. \\ &= \|u\|_{L_p(\Omega; H_0)} + \sum_{i=0}^n \left\{ \int_0^{h_0} \left[ \frac{\|\Delta_l^{m_i}(h, \Omega) D_l^{k_i} u\|_{L_p(\Omega; H)}}{h^{l_i - k_i}} \right]^q \frac{dh}{h} \right\}^{1/q} < \infty \end{aligned}$$

при  $1 < q < \infty$ . При  $q = \infty$  положим

$$\|u\|_{B_{p,q}^l(\Omega; H_0, H)} = \|u\|_{L_p(\Omega; H_0)} + \sum_{i=1}^n \sup_h \frac{\|\Delta_i^{m_i}(h; G) D_i^{k_i} u\|_{L_p(\Omega; H)}}{h^{l_i - k_i}} < \infty.$$

При  $H_0 = H$  пространство  $B_{p,q}^l(\Omega; H_0, H)$  обозначим через  $B_{p,q}^l(\Omega; H; H)$ ,  $B_{p,q}^l(R^n; H(A), H)$ .

**Замечание.** Отметим, что, как и в случае  $H = R$  ( $R$  — множество положительное число  $\sigma_k > \frac{l_k}{2}$ ,  $k = 1, \dots, n$ ). Оно доказывается, как в скажетом для произвольных чисел) [2, с. 294], можно показать:

a) для произвольного открытого множества  $\Omega$  при различных  $h_0$  в ярном случае [7, с. 223, 227, 230].

( $0 < h_0 < \infty$ ), нормы пространства  $B_{p,q}^l(\Omega; H_0, H)$  эквивалентны;

b) для произвольного открытого множества  $\Omega \subset R^n$  при различных  $m_i, k_i$ , для которых  $m_i + k_i > l_i > k_i \geq 0$  при фиксированном  $i$ , нормы пространства  $B_{p,q}^l(\Omega; H_0, H)$  эквивалентны;

b) если  $\Omega \subset R^n$  — открытое множество, удовлетворяющее условию  $l$ -рода

[2, с. 117], тогда нормы пространства  $B_{p,q}^l(\Omega; H_0, H)$  эквивалентны при  $\nu = \max_{1 \leq i \leq n} k_i$ .

Через  $S(R^n; H)$  обозначим класс бесконечно дифференцируемых функций со значениями из  $H$ , таких, что  $(1 + \|x\|^m \|D^x u\|_H \leq C$  при  $x \in R^n$  для любого  $m > 0$ .  $S'(R^n; H)$  — пространство всех линейных непрерывных отображений из  $S(R^n; H)$  в  $H \cdot L_q = L_q(0, T; E)$ ,  $0 < T < \infty$  — пространство функций со значениями из  $E$ , сильно измеримых на  $(0, T)$  с нормой

$$\|u\|_{L_q^*(\int_0^T \|u(t)\|_E^q dt)}^{1/q} \text{ при } 1 < q < \infty, \|u\|_{L_q^*} = \sup_{0 < t < T} \|u(t)\|_E \text{ при } q = \infty.$$

Во всех следующих определениях будем предполагать, что  $l = (l_1, \dots, l_n)$ ,  $\xi = (\xi_1, \dots, \xi_n) \in R^n$ ,  $\beta$  — конечное положительное  $B_{p,q}^l(R^n; H_0, H) \rightarrow B_{p,q}^s(R^n; [H_0, H]_{\nu+\mu})$ , и при этом при  $0 < \mu < 1 - \nu$ ,  $\sigma_k$  — произвольные положительные числа, и при этом  $\sigma_k > \frac{l_k}{2}$ ,  $k = 1, \dots, n$ ,  $h_0 < \infty$ ,  $\forall u \in B_{p,q}^l(R^n; H_0, H)$  справедлива оценка

Положим  $s = (s_1, \dots, s_n)$ ,  $l = (l_1, \dots, l_n)$ ,  $\nu = \frac{1}{p_1} - \frac{1}{p_2}$ ,  $\alpha = (\alpha_1, \dots, \alpha_n)$

$$D^x = D_1^{\alpha_1} \cdots D_n^{\alpha_n}, x_0 = x_0(\beta) = \sum_{j=1}^n \frac{\alpha_j + \nu}{e_j + \beta}, x_k = x_k(\beta) = \sum_{j=1}^n \frac{\alpha_j + \nu}{e_j + \beta} + \frac{s_k + \beta}{e_k + \beta}.$$

**Теорема 1.** Пусть  $A$  — позитивный оператор в  $H$ . Тогда при

$$D^x B_{p,q}^l(R^n; H(A), H) \rightarrow B_{p,q}^s(R^n; H(A^{1-\nu})).$$

при этом для  $0 < \mu < 1 - \nu$ ,  $\forall u \in B_{p,q}^l(R^n; H(A), H)$ ,  $\forall h$ ,  $0 < h < h_0 < \infty$ , справедливо оценка

$$\|D^x u\|_{B_{p,q}^s(R^n; H(A^{1-\nu}))} \leq C_\mu(\beta) [h^\mu \|u\|_{B_{p,q}^l(R^n; H(A), H)} + h^{-(1-\mu)} \|u\|_{L_p(R^n; H)}].$$

$$\|u\|_{B_{p,q}^s(R^n; H_0, H)_{\nu+\mu}} \leq C_\mu(\beta) [h^\mu \|u\|_{B_{p,q}^l(R^n; H_0, H)} + h^{-(1-\mu)} \|u\|_{L_p(R^n; H)}].$$

**Условие 1.** Для области  $\Omega \subset R^n$  существует линейный ограниченный оператор продолжения, действующий из  $B_{p,q}^l(\Omega; H_0, H)$  в  $B_{p,q}^l(R^n; H_0, H)$ , а также из  $L_{p_1}(\Omega; H)$  в  $L_{p_1}(R^n; H)$ .

Например, для области, удовлетворяющей „условию куба“, выполняется условие 1. Этот факт при  $H_0 = H = R$  доказан О. В. Бесовым [15].

**Теорема 3.** Пусть  $\Omega$  удовлетворяет условию 1.  $A$  — позитивный оператор в  $H$ ,  $1 < p_1 \leq p_2 < \infty$ . Тогда при  $\nu < 1$  имеет место вложение  $D^x B_{p,q}^l(\Omega; H(A), H) \rightarrow B_{p,q}^s(\Omega; H(A^{1-\nu}))$  и справедлива оценка

$$\|u\|_{B_{p,q}^s(\Omega; H(A^{1-\nu}))} \leq C_\mu(\beta) [h^\mu \|u\|_{B_{p,q}^l(\Omega; H(A), H)} + h^{-(1-\mu)} \|u\|_{L_p(\Omega; H)}].$$

**Теорема 4.** Пусть выполняется условие 1. Тогда при  $\nu < 1$ ,  $0 < p_1 < p_2 < \infty$  имеет место вложение

$$D^x B_{p,q}^l(\Omega; H_0, H) \rightarrow B_{p,q}^s(\Omega; [H_0, H]_{\nu+\mu}),$$

при этом при  $0 < \mu < 1 - \nu$ ,  $\forall u \in B_{p,q}^l(\Omega; H_0, H)$ ,  $\forall h$ ,  $0 < h < h_0 < \infty$ , справедлива оценка

$$\|u\|_{B_{p,q}^s(\Omega; [H_0, H]_{\nu+\mu})} \leq C_\mu(\beta) [h^\mu \|u\|_{B_{p,q}^l(\Omega; H_0, H)} + h^{-(1-\mu)} \|u\|_{L_p(\Omega; H)}].$$

В заключение выражаю глубокую благодарность доктору физ.-мат. наук В. Б. Шахмурзову за обсуждения и весьма ценные замечания.

## Литература

1. Соболев С. Л. Некоторые применения функционального анализа в математической физике. — Новосибирск, 1962. 2. Бесов О. В., Ильин В. П., Никольский С. М. Интегральные представления и теоремы вложения. — М., 1975. 3. Никольский С. М. Приближение функций многих переменных и теоремы вложения. — М., 1977. 4. Успенский С. В., Демиденко Г. В., Перепелькин В. Г. Теоремы вложения и приложения к дифференциальным уравнениям. — Новосибирск, 1984. 5. Бесов О. В., Ильин В. П., Кудрявцев Л. Д., Лизоркин П. И., Никольский С. М. — Тр. симп., посв. 60-летию акад. С. Л. Соболева. М., 1970, с. 38—63. 6. Лионс Ж.-Л., Мадженес Е. Неоднородные граничные задачи и их приложения. — М., 1971. 7. Трибель Х. Интерполяции. Функциональные пространства. Дифференциальные операторы. — М., 1980. 8. Соболев С. Л. — Докл. АН СССР, 1957, т. 114, № 6. 9. Коротков В. В. — Докл. АН СССР, 1965, т. 160, № 3, 10. Grisvard P. Espaces de traces d'opérateurs variables. — С. р. Acad. sc. Paris. Sér. A, 1963, 257, № 2, р. 349—352. 11. Шахмурод В. Б. — Докл. АН СССР, 1985, № 5, т. 281, с. 1068—1072. 12. Шахмурод В. Б. — Мат. сб., 1987, т. 134 (176), № 2 (10), с. 260—273. 13. Крейн С. Г. Линейные дифференциальные уравнения в банаховом пространстве. — М., 1967. 14. Лизоркин П. И. — Докл. АН СССР, 1963, с. 152, № 4, с. 808—811. 15. Бесов О. В. К распространению функций за пределы области с сохранением модуля гладкости в  $L_p$ . — Proc. Conf. on Constructive Theory of Functions. Budapest, 1969 (1971), 61—67.

АПИ им. В. И. Ленина

М. С. Чэбраильов

Поступило 15. VI 1988

## БӘЗИ ВЕКТОРГИЛМӘТЛІ ФУНКСИОНАЛ В-ФӘЗАЛАР ҮАГГЫНДА

Могаладә О. В. Бесов типли (B-фәзә) абстракт функционал фәзалар тәңліл едилір. Бахылан фәзаларда дахилетік операторунун көсілмәлілік, һәмни фәзалардан олар функцияларын гарышыг теремаләркіннін варлығы исbat еділміш за онлар параметрлә гијметләндірілмешләр.

M. S. Djabrailov

## ABOUT SOME VECTOR-SIGNIFICANT FUNCTIONAL B-SPACES

Abstract functional spaces of type O. V. Besov (*B*-space) were shown in this article. The continuity of the embedding operators in considered spaces is proved. In particular, the existence of mixed derivative functions from these spaces was shown. Their estimates with parameter in scope of abstract theory of interpolation, permitting to get multiplicative inequalities, were established.

## АЗЭРБАЙЧАН ССР ЕЛМЛӘР АКАДЕМИЈАСЫНЫН МӘРҮЗӘЛӘРИ

### ДОКЛАДЫ АКАДЕМИИ НАУК АЗЕРБАЙДЖАНСКОЙ ССР

ТОМ XLV ЧИЛД

№ 1

1989

УДК 62-50:621.391

### КИВЕРНЕТИКА

Е. И. КРИНЕЦКИЙ, Ч. М. ГАДЖИЕВ

## ПРОГНОЗИРОВАНИЕ ДВИЖЕНИЯ ППБУ НА ОСНОВЕ ИДЕНТИФИКАЦИИ ЕЕ ПАРАМЕТРОВ

(Представлено академиком АН Азербайджанской ССР А. А. Эфендизаде)

Для проведения буровых работ в морских условиях в последнее время широко используются плавучие полупогруженные буровые установки (ППБУ). При эксплуатации ППБУ в условиях волнения с целью предотвращения поломки бурового оборудования и морского стояка, а также для безопасности обслуживающего персонала необходимо [1]:

— при смещении ППБУ на 4% от глубины моря прекращать буровую работу;

— поднимать буровое оборудование до обсаженной части скважины до смещения ППБУ на 8% от глубины моря и отсоединить морской стояк от превентора при достижении смещения ППБУ на 8% от глубины моря.

Для выполнения указанных работ необходимо время, зависящее от текущей глубины бурения. Поэтому для своевременного прекращения буровых работ и демонтажа бурового оборудования важное значение имеет прогнозирование движения ППБУ в условиях волнения.

Для прогнозирования движения ППБУ необходимо получить решение дифференциальных уравнений этого движения. Вследствие того, что дифференциальные уравнения горизонтального колебательного движения ППБУ являются нелинейными, найти их решения в конечном виде не представляется возможным. Для решения этих уравнений могут быть использованы приближенные, аналитические и численные методы.

Основным допущением в этих методах является допущение о том, что параметры системы и все действующие на нее силы известны точно, а источниками ошибок являются лишь погрешности начальных условий. Однако оказывается, что не все параметры ППБУ и действующие на нее силы известны достаточно точно и что не все известные силы могут быть учтены в правых частях дифференциальных уравнений при их интегрировании. Возникающие в связи с этим погрешности математического описания движения могут в ряде случаев отрицательно сказаться на результатах определения и прогнозирования параметров движения [2]. Поэтому методику прогнозирования предлагается строить на основе уточненной в результате идентификации математической модели ППБУ [3].

Для решения задачи идентификации выбран байесовский подход. Этот подход, хотя и требует наибольший объем априорной информации об оцениваемой системе, однако не накладывает ограничений на линейность и стационарность идентифицируемой системы и может применяться при неизвестных начальных условиях вектора состояния системы.

Постановка задачи идентификации параметров математической мо-

дели ППБУ при применении байесовского подхода сводится к следующему.

Дано:

А. Математическая модель горизонтальных колебаний ППБУ в виде уравнения

$$\begin{cases} \ddot{\xi} = f_1(\xi, \zeta, F_\xi, N_\xi), \\ \ddot{\eta} = f_2(\eta, \zeta, F_\eta, N_\eta), \end{cases} \quad (1)$$

где  $\xi$ —горизонтальное смещение ППБУ по оси  $OX$ ;  $\eta$ —горизонтальное смещение ППБУ по оси  $OY$ ;  $\zeta$ —ординаты волнового профиля нерегулярного морского волнения (входное воздействие);  $F_\xi, F_\eta$ —восстанавливающие силы якорных цепей по осям  $OX$  и  $OY$  соответственно;  $N_\xi, N_\eta$ —суммарная внешняя нагрузка, действующая на ППБУ (ветровое усилие, течение и т. д.) по осям  $OX$  и  $OY$  соответственно.

Б. Уравнения измерений:

$$\begin{cases} z_{\xi_i} = \xi_i + h_{\xi_i}, \\ z_{\eta_i} = \eta_i + h_{\eta_i}, \end{cases} \quad (2)$$

где  $h$ —погрешности измерений с нулевыми математическими ожиданиями и известными дисперсиями. Погрешности измерений некоррелированы и подчиняются нормальному закону распределения.

В. Процесс изменения входного воздействия есть стационарный гауссов процесс, ординаты которого имеют нулевое математическое ожидание.

Требуется получить несмешанные оценки параметров горизонтальных колебаний ППБУ, выбрав за критерий оптимальности минимум среднего квадрата ошибки.

Введем обобщенный вектор  $\bar{U}$ , состоящий из вектора состояния системы и вектора идентифицируемых параметров, и линеаризуем систему уравнений (1), применяя метод квазилинейизации.

Решение задачи идентификации байесовским методом основано на рекуррентном вычислении апостериорной плотности вероятности

$$P(U_i|\bar{U}_i, Z_i) = \frac{P(U_i|\bar{U}_i, Z_{i-1}) P(Z_i|\bar{U}_i, Z_{i-1}, U_i)}{\int_{\Omega(U_i)} P(U_i|\bar{U}_i, Z_{i-1}) P(Z_i|\bar{U}_i, Z_{i-1}, U_i) dU_i}, \quad (3)$$

где  $Z_i = \|z_{\xi_i}, z_{\eta_i}\|$ —вектор измерений координат ППБУ.

Так как за критерий оптимизации выбран минимум среднего квадрата ошибки, то наилучшей оценкой является условное математическое ожидание апостериорного распределения, а точность оценок характеризует корреляционная матрица этого распределения. Учитывая, что условная плотность  $P(U_i|\bar{U}_i, Z_i)$  является гауссовой, получаем следующий оптимальный рекуррентный алгоритм идентификации параметров математической модели ППБУ:

$$\begin{cases} \hat{U}_i = f(\hat{U}_{i-1}, \hat{\zeta}_{i-1}, \bar{\theta}_{i-1}) + P_i H^T D_{H_i}^{-1} [Z_i - Hf(\hat{U}_{i-1}, \hat{\zeta}_{i-1}, \bar{\theta}_{i-1})], \\ P_i = M_i - M_i H^T (D_{H_i} + H M_i H^T)^{-1} H M_i, \\ M_i = F_i P_{i-1} F_i^T + F_\xi D_{F_\xi} F_\xi^T + D_{\theta_{i-1}}, \end{cases} \quad (4)$$

где

$$F_\xi = \left[ \frac{\partial f}{\partial U} \right]_{\hat{U}_{i-1}, \hat{\zeta}_{i-1}, \bar{\theta}_{i-1}, 0}; \quad F_\eta = \left[ \frac{\partial f}{\partial \zeta} \right]_{\hat{U}_{i-1}, \hat{\zeta}_{i-1}, \bar{\theta}_{i-1}, 0};$$

$\bar{\theta}_{i-1}$ —вектор случайных внешних возмущений;  $H$ —матрица измерений,  $P_i$ —корреляционная матрица ошибок оценок;  $D_{H_i}$ —корреляционная матрица измерений;  $D_{F_\xi}$ —дисперсия ошибок определения ординат волнового профиля;  $D_{\theta_{i-1}}$ —дисперсия, характеризующая шумы от моментов внешних возмущающих сил.

Прогнозирование движения ППБУ должно производиться на основе нелинейной математической модели (1) и оценок обобщенного вектора  $U$ , полученных в момент прекращения процесса идентификации.

Для получения необходимых зависимостей запишем систему (1) в векторной форме:

$$U_i = f(U_{i-1}, \zeta_{i-1}, F_{i-1}),$$

где  $F_{i-1} \parallel F_{\xi_{i-1}}, F_{\eta_{i-1}} \parallel$ .

Учитывая малость значений приращений оценок параметров, решение системы (1) может быть приближенно представлено в виде

$$U_i \approx \hat{U}_i + \sum_{i=1}^k \frac{\partial f}{\partial (\Delta U_i)} \Delta U_i,$$

где  $\hat{U}_i$ —решение системы (1) на основе полученных оценок параметров вектора  $U_{i-1}$ ;  $\Delta U_i$ —приращение параметров вектора  $U$ .

Прогнозирование движения ППБУ сводится к решению системы уравнений (1) на основе полученных на момент прекращения процесса идентификации оценок параметров вектора  $U$ .

Таким образом,

$$\hat{U}_i^{\text{прог}} = \hat{U}_i + \hat{f}(U_{i-1}^{\text{прог}}, \zeta_{i-1}^{\text{прог}}, F_{i-1}^{\text{прог}}).$$

При этом неточность прогноза будет определяться элементами корреляционной матрицы, характеризующими второй момент распределения  $U_i$ :

$$\begin{aligned} M[(U_i - \hat{U}_i^{\text{прог}})^2] &= D_{\hat{U}_i}^{\text{прог}} = \frac{\partial \hat{f}}{\partial (\Delta U)^T} P_{\text{ост}} \left( \frac{\partial \hat{f}}{\partial (\Delta U)^T} \right)^T + \\ &+ \left( \frac{\partial \hat{f}}{\partial \Delta \zeta} \right) D_\zeta \left( \frac{\partial \hat{f}}{\partial \Delta \zeta} \right)^T + \sum_{i=1}^k D_{\left[ \frac{\partial f}{\partial (\Delta U)_i} \right]} P_{\text{ост}}, \end{aligned} \quad (5)$$

где  $D_{\hat{U}_i}^{\text{прог}}$ —корреляционная матрица ошибок прогноза параметров движения ППБУ на момент  $i$ ;  $P_{\text{ост}}$ —корреляционная матрица ошибок оценок параметров вектора  $U$  на момент прекращения процесса идентификации;  $\left( \frac{\partial \hat{f}}{\partial \Delta \zeta} \right) D_\zeta \left( \frac{\partial \hat{f}}{\partial \Delta \zeta} \right)^T$ —неточность прогноза, обусловленная неточностью знания значений входных воздействий;  $\sum_{i=1}^k D_{\left[ \frac{\partial f}{\partial (\Delta U)_i} \right]} P_{\text{ост}}$ —неточность прогноза, обусловленная неточностью расчета функций чувствительностей при замене истинных значений параметров их оценками.

Предложенная методика прогнозирования движения использована при разработке первой отечественной микропроцессорной системы стабилизации положения ППБУ «Кальмар». Указанная система разработана в АзНПО «Нефтегазавтомат» и успешно прошла приемочные натурные испытания в 1987 г.

### Литература

- Чилдерс М. А. Системы постановки судов на якоря в условиях бурного моря. — Инженер-нефтяник, 1973, № 5, с. 37—44.
- Прикладные задачи космической баллистики /Под ред. П. Е. Эльяшберга.— М.: Наука, 1973.
- Гаджиев Ч. М. Вопросы прогнозирования движения ППБУ в зашумленной среде. — В сб.: Приборы, средства автоматизации и системы управления: Тез. докл. М. ЦНИИТЭИприборостроения, 1986, вып. 6, 7, 8, с. 37—38.

АзНПО «Нефтегазавтомат»

Поступило 5. IV 1988

Ж. И. Кринетски, Ч. М. Гаджиев

### ПАРАМЕТРЛЭРИНИН ИДЕНТИФИКАСИЯСЫ ЭСАСЫНДА ЖҮГГ-НЫН ҮӘРӘКӘТЛӘРИНИН ПРОГНОЗ ЕДИЛМӘСИ

Могаләдә далға шөрәнтиңде јарыбырылыш үзен газма түрлөрүнүн (ЖҮГГ) үәрәкәтләринин прогноз едилмәсі масалаларына бағытыр. Прогноз методикасының ЖҮГГ-нын идентификациясы нәтижесинде дөгигләштирilmеш риәзи модели үзәрнің түрлөрүнүн тәжірибелілігін анықтауда олунур.

E. I. Krinetzky, Ch. M. Gadjiev

### FSDR MOVEMENT FORECASTING BASED ON ITS PARAMETERS IDENTIFICATION

Forecasting problems of movement for floating semisubmersible drilling rigs (FSDR) are considered in rough water.

The forecasting procedure is proposed to construct on the base of the FSDR precisely mathematical model as a result of identification.

АЗЭРБАЙЖАН ССР ЕЛМЛӨР АКАДЕМИЈАСЫНЫН МӘРУЗӘЛӘРИ

ДОКЛАДЫ АКАДЕМИИ НАУК АЗЕРБАЙДЖАНСКОЙ ССР

ТОМ XLV ЧИЛД

УДК 537.76

№ 1

1989

### ФИЗИКА ПОЛУПРОВОДНИКОВ

Чл.-корр. АН АзССР Ф. М. ГАШИМЗАДЕ, С. Т. ПАВЛОВ,  
Р. С. НАДИРЗАДЕ, Т. Г. ИСМАИЛОВ, В. И. БЕЛИЦКИЙ

### РЕЗОНАНСНОЕ МЕЖЗОННОЕ КОМБИНАЦИОННОЕ РАССЕЯНИЕ СВЕТА В ПОЛУМАГНИТНОМ ПОЛУПРОВОДНИКЕ

В статье рассматривается резонансное электронное комбинационное рассеяние света (РЭКРС) в широкозонном полумагнитном полупроводнике  $\text{Cd}_{1-x}\text{Mn}_x\text{Te}$  во внешнем неквантующем магнитном поле. Как известно, даже сравнительно слабые магнитные поля вызывают большие спиновые расщепления валентных зон и зоны проводимости, благодаря обменному взаимодействию спинов свободных носителей заряда со спинами парамагнитных ионов  $\text{Mn}^{+2}$ .

На рис. 1 показан один из возможных процессов рассеяния света, в котором электрон из зоны легких дырок (5) переходит, поглотив фотон

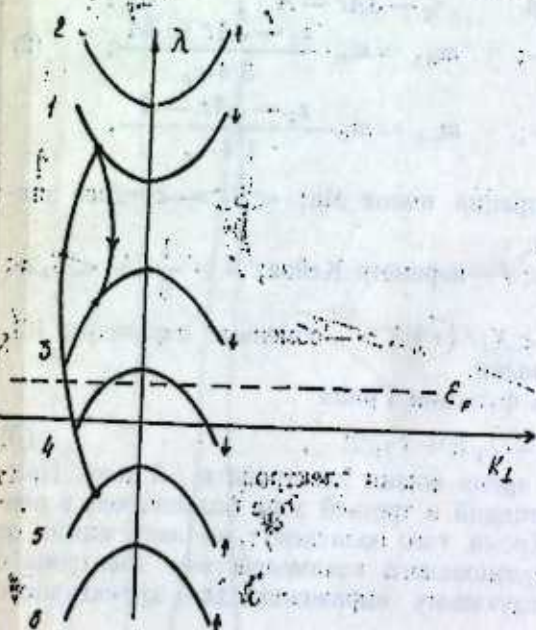


Рис. 1. Зонная структура  $p = \text{Cd}_{1-x}\text{Mn}_x\text{Te}$  и возможный процесс КРС

\* $\omega_1$ . В нижнюю зону проводимости (1), а затем, испустив квант вторичного излучения  $h\omega_2$ , переходит в зону тяжелых дырок (3). Расчет формы линии РЭКРС проведен на основе общей теории вторичного излучения и графической техники, развитых в [1, 2]. Сечение рассеяния определяется формулой (6) из [2], которая расшифровывается с помощью диаграммы, изобра-

$h^*$ —постоянная Планка, деленная на  $2\pi$ .

женной на рис. 2, а статьи [2]. Энергетический спектр и волновые функции (блоховские амплитуды) для зон, которые участвуют в рассматриваемом процессе КРС, в рамках модели Кейна приводятся далее. Влияние магнитного поля на спектр электронов и дырок учитывается посредством обменного взаимодействия спинов свободных носителей со спинами парамагнитных ионов во внешнем поле [3]. Предполагается, что спин-орбитально отщепленная зона тяжелых дырок удалена от рассматриваемых зон ( $\Delta_{\text{co}} \gg \epsilon_g$ ), где  $\epsilon_g$ —ширина запрещенной зоны при  $H = 0$ .

В параболическом приближении для энергий зон и блоховских амплитуд имеем

$$\begin{aligned} \lambda_1 &= \epsilon_g - 3Ar + \frac{\hbar^2 \kappa_{\perp}^2}{2m_{1\perp}} + \frac{\hbar^2 \kappa_z^2}{2m_{1z}} & u_1 &= iS \downarrow, \\ \lambda_3 &= 3A - \frac{\hbar^2 \kappa_{\perp}^2}{2m_{3\perp}}, & u_3 &= \frac{1}{\sqrt{2}} (X - iY) \downarrow. \end{aligned}$$

$$\lambda_5 = -A - \frac{\hbar^2 \kappa_{\perp}^2}{2m_{3\perp}} - \frac{\hbar^2 \kappa_z^2}{2m_{5z}}, \quad u_5 = \sqrt{\frac{2}{3}} z \uparrow + \frac{1}{\sqrt{6}} (X + iY) \downarrow,$$

где

$$\begin{aligned} m_{1\perp} &= m_n \left[ \frac{3/4 \cdot \epsilon_g}{\epsilon_g - 3Ar + 3A} + \frac{1/4 \cdot \epsilon_g}{\epsilon_g - 3Ar - A} \right]^{-1}; \\ m_{1z} &= m_n \cdot \frac{\epsilon_g - 3Ar + A}{\epsilon_g}; \quad m_{3\perp} = m_n \cdot \frac{\epsilon_g - 3Ar + 3A}{3/4 \cdot \epsilon_g}; \\ m_{5z} &= m_n \cdot \frac{\epsilon_g + 3Ar - A}{\epsilon_g}; \quad m_{5\perp} = m_n \cdot \frac{\epsilon_g - 3Ar - A}{1/4 \cdot \epsilon_g}, \end{aligned} \quad (2)$$

где  $m_n = \frac{3}{4} \hbar^2 \epsilon_g / P^2$ ;  $N_s$ —концентрация ионов Mn;  $\langle S_z \rangle$ —среднее значение спина иона Mn вдоль оси  $z$ ;  $P$ —параметр Кейша;  $A = \frac{1}{6} \beta N_s \langle S_z \rangle$

$r = \alpha/\beta$ ,  $\alpha = \langle S/J(\vec{r})/S \rangle$ ;  $\beta = \langle X/J(\vec{r})/X \rangle$ —обменные параметры [3]. Здесь  $A$  и  $r$  выбраны положительными.

При расчетах использовались функции Грина

$$G_j(\vec{k}, \omega) = [\omega - \lambda_j/h + i\gamma_j/2]^{-1}, \quad (3)$$

где  $j$ —номер зоны;  $\gamma_j$ —обратное время жизни электрона в  $j$ -й зоне. Причем, учитывая, что плотность состояний в третьей зоне больше, чем в первой считаем, что  $\gamma_3 > \gamma_5 > \gamma_1$ . Кроме того полагаем  $\gamma_j$  не зависящими от волнового вектора. Без учета кулоновского взаимодействия электрона и дырки вычисление приводит к следующему выражению для эффективного сечения:

$$\begin{aligned} \frac{d^2S}{d\Omega d\omega} &= \frac{V_0 \cdot m_{5\perp} m_0^2 P^2 r_0^2 \gamma (\omega_l - \omega)}{24\pi^2 \hbar^2 \gamma_1 c' q^3 \omega_l \sin \alpha} \left\{ 2 \cos \frac{\alpha}{2} \left( \frac{\pi}{2} - \right. \right. \\ &\quad \left. \left. - \arctan \frac{|\kappa_{z0}^2 - q^2|}{2q\kappa_{z0} \sin \frac{\alpha}{2}} \right) - \sin \frac{\alpha}{2} \ln \left| \frac{\kappa_{z0}^2 + 2q\kappa_{z0} \cos \frac{\alpha}{2} + q^2}{\kappa_{z0}^2 - 2q\kappa_{z0} \cos \frac{\alpha}{2} + q^2} \right| \right\}, \end{aligned} \quad (4)$$

$$\begin{aligned} q &= \sqrt{a/c}, \quad a = \omega_0^2 + \gamma^2, \\ c' &= \left( \frac{\hbar}{2m_{5z}} \right)^2 \cdot \left[ 1 + \frac{m_{5\perp}}{m_{1\perp}} + \left( 1 + \frac{m_{5z}}{m_{1z}} \right) \left( \frac{m_{5\perp}}{m_{3\perp}} - 1 \right) \right]^2, \\ \omega_0 &= (\omega - 4A/h) \left( \frac{m_{5\perp}}{m_{1\perp}} + 1 \right) + [\omega_l - \epsilon_g - 3Ar + A]/h - \left( \frac{m_{5\perp}}{m_{3\perp}} - 1 \right), \\ \cos \alpha &= 1/\sqrt{1 + \gamma^2/\omega_0^2}, \quad \kappa_{z0} = \sqrt{2m_{5z} \cdot (\omega - 4A/h)/h}, \quad \omega = \omega_l - \omega_0, \\ \gamma &= \frac{1}{2} \left[ (\gamma_3 + \gamma_5) \left( \frac{m_{5\perp}}{m_{1\perp}} + 1 \right) + (\gamma_1 + \gamma_5) \left( \frac{m_{5\perp}}{m_{3\perp}} - 1 \right) \right]; \end{aligned} \quad (5)$$

$r_0 = \frac{e^2}{m_0 c^2}$ —классический радиус электрона;  $e$  и  $m_0$ —заряд и масса свободного электрона. Видно, что  $\omega = 4A/h$  является пороговой частотой, а на частоте  $\omega_p$ , равной

$$\omega_p = \left( 1 + \frac{m_{5z}}{m_{1z}} \right) \cdot [\omega_l - (\epsilon_g + A - 3Ar)/h] + 4A/h, \quad (6)$$

имеется резонансный пик. Из (4) видно, что форма резонансной линии не является лоренцевской. При этом сечение пропорционально величине  $\ln \frac{\omega_0}{\gamma}$ .

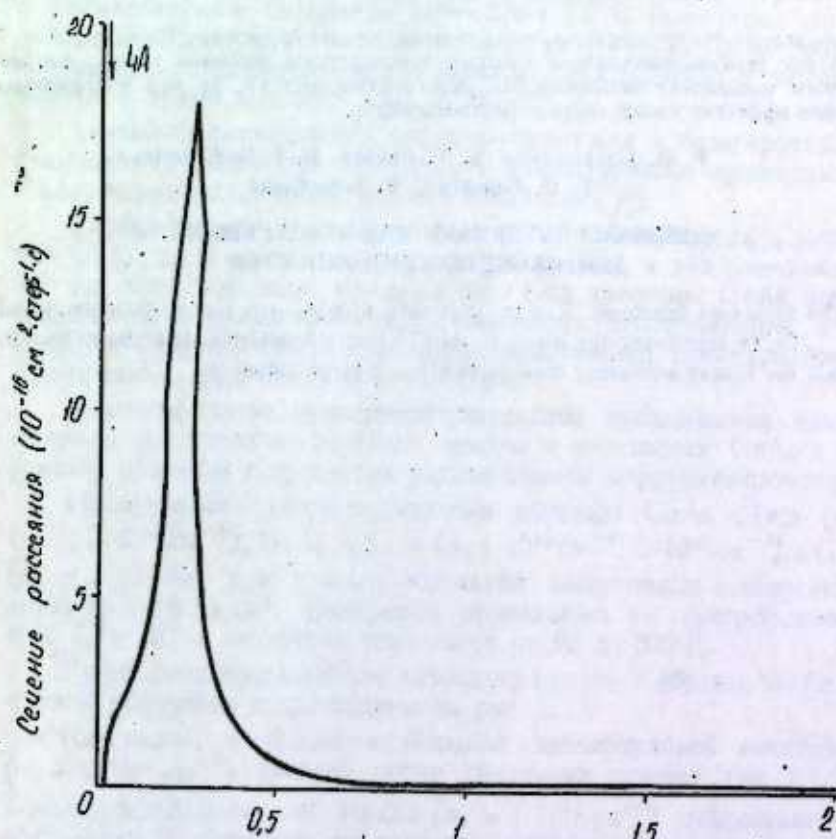


Рис. 2. Зависимость сечения КРС от энергии сдвига  $h\omega$

Нелоренцевский характер формы линии связан с тем, что спектр электронов и дырок является анизотропным.

Вклад от других диаграмм в общее сечение является малой величиной по параметру  $\gamma/\omega_1$ , что для  $\gamma = 10^{14} \text{ с}^{-1}$  и  $\hbar\omega_1 = 2 \text{ эВ}$  составляет 3%. На рис. 2 приведена кривая зависимости сечения рассеяния от сдвига частоты для  $\gamma = 10^{14} \text{ с}^{-1}$ ,  $\epsilon_g = 1,64 \text{ эВ}$ ,  $\hbar\omega_1 = 2 \text{ эВ}$ ,  $A = 7 \cdot 10^{-3} \text{ эВ}$ ,  $r = 0,2$ ,  $X = 0,05$ ,  $P = 8 \cdot 10^{-8} \text{ эВ} \cdot \text{см}$  [4]. При этом сечение имеет порядок  $\sim 10^{-17} \text{ см}^2$ . Для сравнения укажем, что в обычных полупроводниках сечение ЭКР имеет порядок  $\sim 10^{-20} \text{ см}^2$  [5].

#### Литература

1. Ивченко Е. Л., Ланг И. Г., Павлов С. Т.—ФТТ, 1977, т. 19, № 9, с. 1751—1759.
2. Белицкий В. И., Гольцов А. В.—ФТТ, 1982, т. 24, № 8, с. 2578—2585.
3. Brandt N. B., Moshalkov V. V.—Adv. Phys., 1984, 33, 3, 193—256.
4. Зверев Л. И., Кружаков В. В. и др.—ФТТ, 1984, т. 26, № 10, с. 2943—2948.
5. Wallis R. F., M. I. D. L.—Phys. Rev., 1970, B 2, 8, 3312—3315.

ИФАН АзССР

Поступило 20. VII 1986 г.

Ф. М. Гашымзадэ, С. Т. Павлов, Р. С. Надирзадэ, Т. Г. Исмаилов, В. И. Белитски  
ЯРЫММАГНИТ ЖАРЫМКЕЧИРИЧИЛЭРДЭ ИШЫГЫН ЗОНАЛАРААСЫ  
РЕЗОНАНС ТИПЛИ КОМБИНАСИОН СЭПИЛМЭСИ

Таркибидэ  $Mn^{+2}$  ионлары олан, тадаган золагы бөйк олан  $p\text{-Cd}_{1-x}Mn_xTe$  ярыммагнит жарымкечирлилэрдэ ишыгын зоналаараасы резонанс типли комбинасияларда сепилмэсі мәсөләсінің бағылымышыдир. Кестерилмешдір ки, бұз чүр материалдарда пидмәннің эффектив көсији бөйк гијомтә машиқдір.

F. M. Gashimzade, S. T. Pavlov, R. S. Nadirzade,  
T. G. Ismailov, V. I. Belitski

#### RESONANCE INTERBAND RAMAN SCATTERING IN SEMIMAGNETIC SEMICONDUCTOR

The resonance interband Raman scattering in wide gap semimagnetic semiconductors containing the magnetic  $Mn^{+2}$  ions is considered. It is shown that in such materials the Raman scattering cross section has a large value.

АЗЭРБАЙЖАН ССР ЕЛМЛӘР АКАДЕМИЈАСЫНЫН МӘРУЗӘЛӘРИ

ДОКЛАДЫ АКАДЕМИИ НАУК АЗЕРБАЙДЖАНСКОЙ ССР

ТОМ XLV ЧИЛД

№ 1

1989

УДК 621.315.592

ФИЗИКА ПОЛУПРОВОДНИКОВ

Акад. АН АзССР М. И. АЛИЕВ, Х. А. ХАЛИЛОВ, Ш. Ш. РАШИДОВА,  
Г. Б. ИБРАГИМОВ

#### ВЛИЯНИЕ ОБЛУЧЕНИЯ НА ГЛУБОКИЙ ЦЕНТР В GaAs, ЛЕГИРОВАННОМ РАЗЛИЧНЫМИ ПРИМЕСЯМИ

Вопросы дефектообразования в соединениях  $A^3B_6$ , в частности антиструктурных дефектов, многогранны. С одной стороны, для объяснения многих свойств названных соединений часто возникает необходимость привлечения этих дефектов, с другой — для практических задач такие дефекты в отдельных случаях могут способствовать решению вопроса, а в некоторых случаях могут оказаться нежелательными [1, 2].

При исследовании оптических свойств нами наблюдался резкий пик поглощения в области спектра 3 мкм в нелегированном и легированном различными примесями объемных монокристаллов арсенида галлия в температурном интервале 150—220 К [3, 4]. Показано, что глубокий акцепторный центр с энергией ионизации  $E = 0,40 \text{ эВ}$  по своим особенностям не объясняется внутризонным поглощением и поглощением с участием примесных состояний [5, 6].

Глубокий акцепторный центр выявлен как в нелегированных, так и легированных мелкими донорами и акцепторными примесями пленках GaAs, выращенных жидкофазной эпитаксией [7].

Глубокие центры наблюдаются практически всегда в монокристаллах GaAs, полученных различными методами, и это позволяет считать, что его происхождение непримесное. Как известно, GaAs широко применяется в оптоэлектронике, космических исследованиях и лазерной технике. Поэтому особый интерес представляет исследование влияния электронного облучения на эти центры.

В данной статье приводятся результаты исследования влияния электронного облучения на глубокие центры в кристаллах GaAs и роли легирующих примесей в процессах радиационного дефектообразования.

Исследованы спектры поглощения образцов GaAs  $\langle Te \rangle$  ( $n_0 = 3 \cdot 10^{17} \text{ см}^{-3}$ ,  $5 \cdot 10^{18} \text{ см}^{-3}$ ), GaAs  $\langle Sn \rangle$  ( $n_0 = 1 \cdot 10^{18} \text{ см}^{-3}$ ,  $3 \cdot 10^{18} \text{ см}^{-3}$ ) и GaAs  $\langle In \rangle$  ( $n_0 = 3 \cdot 10^{17} \text{ см}^{-3}$ ) до и после облучения электронами с энергией 6 МэВ и дозой до  $2 \cdot 10^{17} \text{ э/см}^2$ . Измерения проводились на спектрофотометре „Spectord 75 = IR“ в интервале температур от 92 до 300 К.

Результаты исследования глубокого центра в образце GaAs  $\langle Te \rangle$  до и после облучения представлены на рис. 1.

Как видно, в образце с большой концентрацией носителей заряда ( $n_0 = 5 \cdot 10^{18} \text{ см}^{-3}$ ) уровень после облучения исчезает (кр. 2'), а с малой концентрацией носителей заряда ( $n_0 = 3 \cdot 10^{17} \text{ см}^{-3}$ ) положение уровня с облучением не меняется, но значение коэффициента поглощения увеличивается.

На рис. 2 показано уменьшение коэффициента поглощения под влиянием электронного облучения в образцах  $\text{GaAs} < \text{Sn} >$ , при двух концентрациях носителей заряда ( $n_0 = 1 \cdot 10^{18} \text{ см}^{-3}$ ,  $3 \cdot 10^{18} \text{ см}^{-3}$ ). Влияние облучения на максимум пика поглощения в  $\text{GaAs} < \text{In} >$  показано на рис. 3.

Как видно из рисунков, во всех случаях обнаруженный пик при  $h\nu = 0,41 \text{ эВ}$  после облучения своего положения не меняет, исключением является  $\text{GaAs} < \text{Te} >$  с высокой концентрацией носителей заряда.

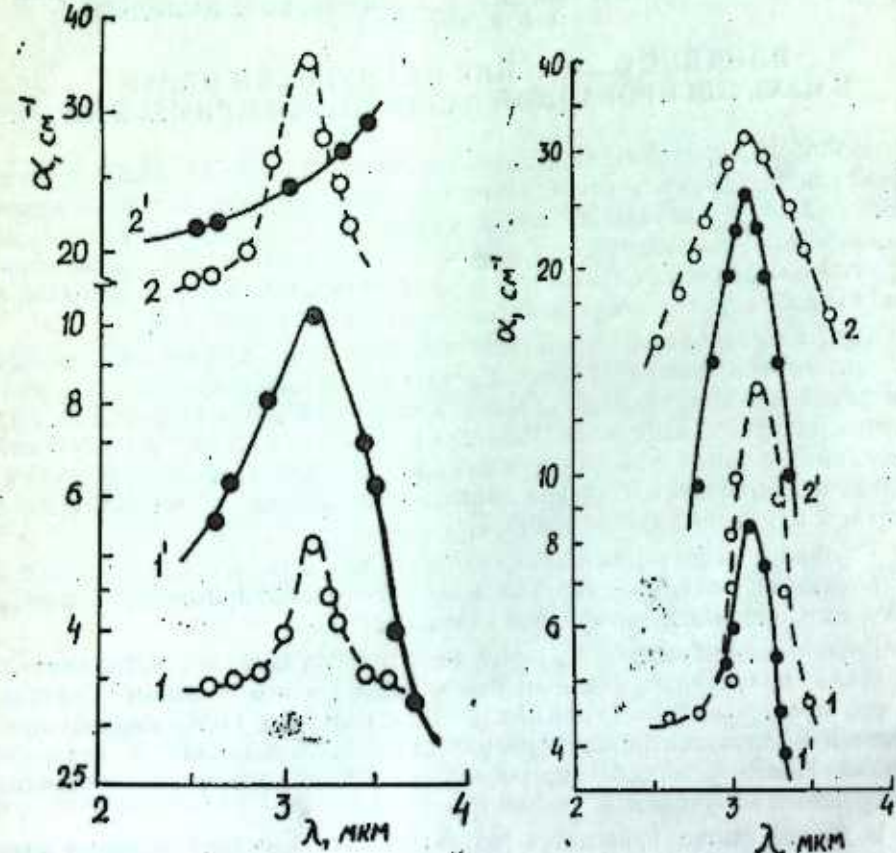


Рис. 1. Зависимость коэффициента поглощения от длины волны при 175 К в  $\text{GaAs} < \text{Te} >$  до (кр. 1 и 2) и после (кр. 1' и 2') облучения

Рис. 2. Спектры поглощения при 174 К облученного (кр. 1' и 2') и необлученного (кр. 1 и 2)  $\text{GaAs} < \text{Sn} >$

Как известно, при облучении электронами в легированные кристаллы арсенида галлия вводятся изолированные радиационные дефекты, представляющие собой комплексы из собственных структурных нарушений, и указанные легирующие примеси не принимают участия в их образовании [8]. Так как теллур в  $\text{GaAs}$  является мелкой донорной примесью и при высоком уровне легирования ведет себя необычно, то она может образовывать комплексы, что оказывает влияние на характер люминесценции глубоких уровней в  $\text{GaAs}$  n-типа [9]. По-видимому, увеличение максимума коэффициента поглощения глубокого центра в  $\text{GaAs} < \text{Te} >$  ( $n_0 = 3 \cdot 10^{17} \text{ см}^{-3}$ ), как показано на рис. 1 (кр. 1'), связано со структурными дефектами при облучении. Поведение при высоких

концентрациях носителей заряда, т. е. исчезновение глубокого уровня (рис. 1, кр. 2'), можно связать с захватом первичных радиационных дефектов мелкими донорными примесями.

Ионизированные атомы  $\text{As}^+$  при облучении компенсируются радиационными дефектами донорного типа, и поэтому коэффициент поглощения в кристаллах  $\text{GaAs} < \text{n} >$  уменьшается. Как видно из рис. 2, значения коэффициента поглощения в максимуме при двух концентрациях носителей заряда различаются. В образцах с высокой концентрацией носителей заряда изменение значения  $\alpha$  (кр. 2 и 2') почти такое же, как в образце с низкой концентрацией (кр. 1 и 1').

Увеличение коэффициента поглощения в образцах  $\text{GaAs} < \text{In} >$  под влиянием электронного облучения (рис. 3) объясняется тем, что первичные дефекты, вакансии и межузельные атомы и их захват дефектами приводят к образованию устойчивых вторичных радиационных дефектов. В полупроводниках с достаточно широкой запрещенной зоной устойчивыми вторичными дефектами обычно являются компенсирующие дефекты. При однородном по объему введении в полупроводник компенсирующих дефектов начиная с некоторой дозы облучения становятся существенными неоднородности в распределении дефектов, захватывающих вакансии или межузельные атомы. Такие неоднородности возникают в кристаллах вследствие особенностей технологии их выращивания и легирования [10].

Таким образом, исследование глубокого центра в облученных электронами кристаллах  $\text{GaAs}$ , легированном различными примесями, показало, что наблюдаемый глубокий центр при  $h\nu = 0,41 \text{ эВ}$  после электронного облучения сохраняется, а изменение значения коэффициента поглощения обусловлено появлением первичных и вторичных радиационных дефектов.

#### Литература

- Георгиевани А. Н., Тагинян И. М. — ФТП, 1988, т. 22, вып. 1, с. 3—15.
- Соловьев Е. В., Лютов Ю. Ф., Якуб В. М. — ФТП, 1971, т. 5, вып. 1, с. 163—165.
- Алиев М. И., Халилов Х. А., Ибрагимова Г. Б. — Препринт № 184, ИФАН АзССР, Баку, 1986.
- Алиев М. И., Халилов Х. А., Аббасов А. С., Ибрагимова Г. Б. — Труды VI Всесоюз.

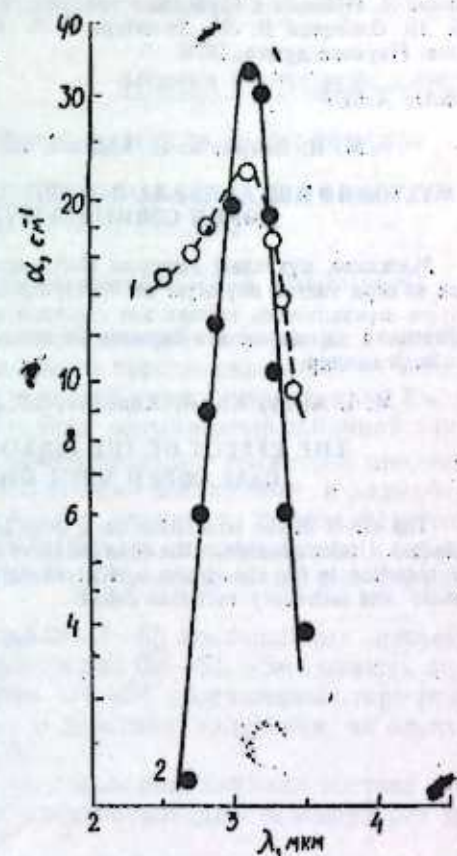


Рис. 3. Спектры коэффициента поглощения при 182 К в  $\text{GaAs} < \text{In} >$  до (кр. 1) и после (кр. 2) облучения

совещ. по исследованию арсенида галлия. Томск, 1987, т. 1, с. 159—160. 5. Lang D. V. — J. Appl. Phys., 1974, 45, 3023. 6. Lang D. V., Hogan R. A. — J. Electron Mater., 1975, 4, 1053. 7. Чижев С. И., Калухов В. А. — Письма в ЖТФ, 1983, т. 9, вып. 20, с. 1221—1224. 8. Ломако В. М., Новоселов А. М. — ФТП, 1976, т. 10, вып. 5, с. 900—903. 9. Милкс А. Примеси с глубокими уровнями в полупроводниках. — М.: Мир, 1977, с. 73—75. 10. Винецкий В. Л., Холодарь Г. А. Радиационная физика полупроводников. — Киев: Наукова думка, 1979.

ИФАН АзССР

М. И. Элиев, Х. Э. Халилов, Ш. Ш. Рашидова, Н. Б. Ибраимов

## МУХТАЛИФ АШГАРЛАРЛА ЛЕКИРЭ ОЛУНМУШ GaAs КРИСТАЛЛАРЫНДА ДЭРИН СЭВИЙЛЭЭЖ ШУАЛАМАНЫН ТЭСИРИ

Мэгалаадо, мухтэлиф ашгарлы GaAs кристалларындакы дэрин сэвийлээж шуаламанын тэсири тадгиг олунмуш вэ көстөрүлмүшдир ки, мушаңидо олунан  $\Delta E = 0,41$  eV сэвийлээн шуаламанын тэсири илэ спектрдо вэзијэйтни дэйшиштир вэ уулзма эмсалынын гијметинин дэйшишэс иш биринчи вэ иккичи иш радикација дефектлэринин яраннаасы илэ изэн өдлийр.

M. I. Aliev, Kh. A. Khalilov, Sh. Sh. Rashidova, G. B. Ibragimov

## THE EFFECT OF THE IRRADIATION OF DEEP LEVEL IN GaAs DOPED WITH DIFFERENT IMPURITIES

The effect of the irradiation on a deep level in GaAs doped with different impurities is studied. Under irradiation the observed level is found to change its position at  $\Delta E = 0,41$  eV. The radiation in the absorption coefficient values is associated with the appearance of the primary and secondary radiation defects.

Поступило 24. V 1988

БИЛДІРЛІК АЗЭРБАЙЧАН ССР ЕЛМЛӘР АКАДЕМИЯСЫНЫН МӘРҮЗӘЛӘРИ  
ДОКЛАДЫ АКАДЕМИИ НАУК АЗЕРБАЙДЖАНСКОЙ ССР  
ТОМ XLV ЧИЛД

№ 1 наука, техника, культура 1989

УДК 621.382.2

ФИЗИКА ПОЛУПРОВОДНИКОВ

М. Я. БАҚИРОВ, Б. А. НАДЖАФОВ, В. С. МАМЕДОВ, Н. М. ЗЕЙНАЛОВ

## ЭЛЕКТРИЧЕСКИЕ СВОЙСТВА АМОРФНЫХ ПЛЕНОК ТВЕРДОГО РАСТВОРА $Ge_{1-x}Si_x$

(Представлено академиком АН Азербайджанской ССР Г. Б. Абдуллаевым)

В последние годы отмечается повышенный интерес к аморфным твердым растворам  $Ge_{1-x}Si_x$ . Это вызвано перспективностью их использования в полупроводниковой электронике. Гидрогенезированные аморфные твердые растворы  $Ge_{1-x}Si_x$  обладают оптимальной шириной запрещенной зоны [(1,1 + 1,85) eV] для преобразования солнечной энергии в электрическую и лучшими оптоэлектронными свойствами в длинноволновой части видимого спектра, а также являются термодинамически более стабильными и радиационно стойкими по отношению к другим аморфным материалам. Это позволяет использовать их для создания солнечных элементов [1, 2].

В литературе имеется ряд работ [3—6], посвященных изучению электрических свойств аморфных растворов  $Ge-Si$ , обогащенных кремнием. Свойства аморфных растворов  $Ge-Si$ , обогащенных германием, не изучены, и отсутствуют сведения о действии излучения на электропроводность аморфных пленок  $Ge-Si$ .

Настоящая статья посвящена исследованию влияния состава раствора и электронного облучения на электропроводность аморфных пленок германий — кремний.

Аморфные пленки  $Ge_{1-x}Si_x$  ( $0 < x < 0,15$ ) толщиной 5—10 мкм были получены вакуумным испарением кристаллических сплавов различного состава. При испарении раствора подложка была нагрета до 100°C, скорость осаждения составляла ~ 50 Å/с. При этих условиях сохранялся состав исходного раствора. Отжиг пленки проводился при температуре (200—400)°C в течение 30 мин.

Электронографические исследования показали, что пленки, осажденные на подложке, нагретой до 150°C и отожженной до 250°C, сохраняют аморфность.

Температурные зависимости электропроводности, приведенные на рис. 1, показывают, что  $\sigma(T)$  имеет две области. Низкотемпературный участок отвечает прыжковой проводимости по локализованным состояниям в зазоре подвижности, о чем свидетельствует линейная зависимость  $\lg \sigma$  от  $T^{-1/4}$  (рис. 2). Высокотемпературный участок  $\sigma(T)$  отвечает зонной проводимости и описывается известной формулой  $\sigma \sim \exp(-\Delta E/KT)$ .

Во всех исследуемых интервалах температур с ростом содержания кремния с раствором электропроводность уменьшается. Изменение электропроводности с составом в высокотемпературном участке обусловлено увеличением плотности состояния у потолка валентной зоны, а в низкотемпературном участке это может быть следствием уменьшения как

подвижности носителей заряда в локализованных состояниях, так и плотности состояния вблизи уровня Ферми.

Исследование показало, что в образцах аморфных пленок  $\text{Ge}_{1-x}\text{Si}_x$  наблюдается довольно большой ЭПР-сигнал, свидетельствующий о на-

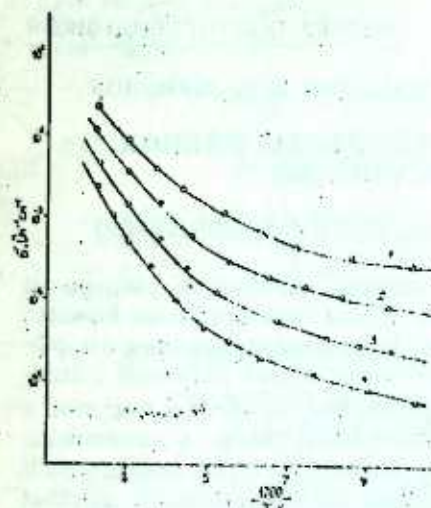


Рис. 1. Температурные зависимости электропроводности аморфных растворов  $\text{Ge}_{1-x}\text{Si}_x$ :  
1 —  $x = 0$ ; 2 —  $x = 0,05$ ; 3 —  $x = 0,1$ ;  
4 —  $x = 0,15$

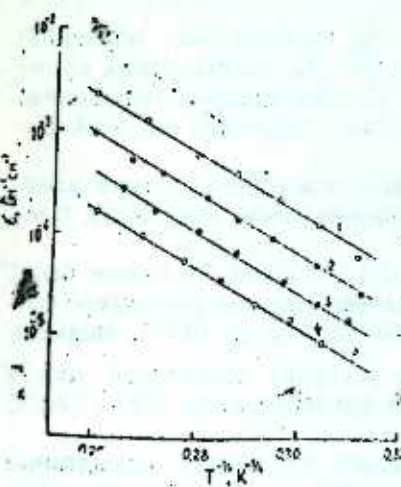


Рис. 2. Зависимость  $\lg \sigma$  от  $T^{-1/4}$  для аморфных растворов  $\text{Ge}_{1-x}\text{Si}_x$ :  
1 —  $x = 0$ ; 2 —  $x = 0,05$ ; 3 —  $x = 0,1$ ; 4 —  $x = 0,15$

личии высокой концентрации оборванных связей ( $N_s = 3 \div 9 \cdot 10^{19} \text{ см}^{-3}$ ), которые стабилизируют неупорядоченные структуры; причем с ростом содержания кремния от 0 до 15 ат. % в растворе плотность парамагнитных центров уменьшается от  $9 \cdot 10^{19}$  до  $3 \cdot 10^{19} \text{ см}^{-3}$ . Это дает основание предположить, что при введении в германий небольшого количества атомов кремния происходит залечивание оборванных связей, которое приводит к уменьшению плотности локализованных состояний в запрещенной зоне. Таким образом, уменьшение электропроводности пленок с ростом содержания кремния при низких температурах в основном обусловлено изменением плотности состояний вблизи уровня Ферми.

Энергия активации  $\Delta E_1$ , определяемая из высокотемпературного участка  $\sigma(T)$ , соответствует половине ширины запрещенной зоны и для пленок со

значением  $x = 0 \div 0,15$  составляет  $(0,25 \div 0,33) \text{ эВ}$  соответственно, т. е. с ростом содержания кремния в растворе  $\text{Ge}_{1-x}\text{Si}_x$  энергия активации электропроводности растет.

Исследования показывают, что при термическом отжиге электропроводность пленок уменьшается. Предполагается, что уменьшение электропроводности аморфных пленок при отжиге связано с диффузией кислорода в объеме материала, что доказано отжигом образцов при различных вакуумах и перестройкой атомов германия и кремния в случайной сетке. Дело в том, что пленки аморфных кремния и германия способны принимать на себя большое количество кислорода как в процессе испарения, так и в процессе отжига путем взаимодействия со свободными связями сетки, содержащей дефекты. При этом образуются связи типа  $\text{Ge}-\text{O}$  и  $\text{Si}-\text{O}$  [7, 8]. Введение связей  $\text{Ge}-\text{O}$  и  $\text{Si}-\text{O}$  способствует насыщению свободных связей в сетке кислородом.

Кроме того, при отжиге аморфных пленок происходит залечивание сетки в том смысле, что в процессе отжига в пленке происходит атомная перестройка, которая способствует снижению числа свободных связей и специальных дефектов. Действительно, измерение показало, что плотность парамагнитных центров, представляющих собой сильно локализованные дефекты типа оборванных связей в пленках  $\text{Ge}_{0,90}\text{Si}_{0,10}$ , при отжиге в температуре  $250^\circ\text{C}$  уменьшается от  $7 \cdot 10^{19}$  до  $2 \cdot 10^{19} \text{ см}^{-3}$ .

Изучалось действие потоков ускоренных электронов с энергией 5 МэВ на электропроводность аморфного слоя  $\text{Ge}_{0,95}\text{Si}_{0,05}$ . Облучение проводилось при комнатной температуре. Измерение проводилось через 2 ч после облучения. При этом установили, что после облучения образцов интегральным потоком электронов  $2 \cdot 10^{16} \text{ см}^{-2}$  электропроводность их уменьшается почти на порядок и растет наклон прямой  $\sigma(T)$ , свидетельствующий об увеличении энергии активации (рис. 3). Предполагается, что под действием ускоренных электронов происходит процесс локальной кристаллизации аморфной пленки.

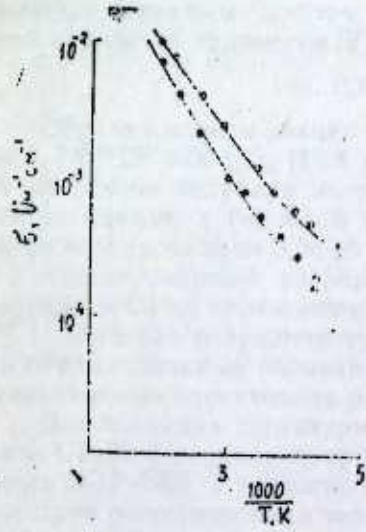


Рис. 3. Температурные зависимости электропроводности аморфного раствора  $\text{Ge}_{0,95}\text{Si}_{0,05}$  до (1) и после (2) облучения электронами с энергией 5 МэВ в дозе  $2 \cdot 10^{16} \text{ см}^{-2}$

#### Литература

1. Nakamura G., Sato K., Yukimoto Y., Nurash I.—Jap. J. Appl. Phys., 1981, vol. 20–21, p. 291–296.
2. Michel K. W., Stuig Y. H., Van P., Grasvenor V.—18th IEEE Photovoltaic Spec. Konf. Las Vegas, 1985, Oct. 21–25. New York, 1985.
3. Xox-

лов А. Ф., Машин А. И., Ершов А. В., Машин Н. И., Ларина Е. В.—ФТП, 1985, т. 19, вып. 12, с. 2204—2206. 4. Хохлов А. Ф., Машин А. И., Ершов А. В., Мордвинова Ю. А., Машин Н. И.—ФТП, 1986, т. 20, вып. 7, с. 1286—1291. 5. Насреддинов Ф. С., Андреев А. А., Голикова О. А., Курмантаев А. Н., Серегина П. Н.—ФТП, 1983, т. 17, вып. 10, с. 1871—1873. 6. Banerjee G. K., Datta R., Mitra S. S.—J. Appl. Non-Cryst. Sol., 1982, vol. 50, p. 1—11. 7. Paul W., Connel G. A. N., Temkin R. J.—Adv. phys., 1983, 22, No. 5, p. 529—580. 8. Bahl S. K., Bhagat S. M.—J. Non-Cryst. Sol., 1975, 17, p. 409—427.

Сектор радиационных исследований АН АзССР  
Поступило 27. V. 1988

М. Я. Бакиров, Б. А. Наджафов, В. С. Мамедов, Н. С. Зейналов

## Ge<sub>1-x</sub> Si<sub>x</sub> БЭРК МЭЛҮЛҮН АМОРФ ТӘБӘГӘСИНИН ЕЛЕКТРИК ХАССАЛАРЫ

Мөгөләдә аморф Ge<sub>1-x</sub> Si<sub>x</sub> бәрк мәлүлүн электрик кечирилүүнүң тәркебин өз электрон шүаларының тәсирин иштеп табылды.

Кестәрлүмшиздір ки, электрик кечирилүүнүң ашагы температурларда «ступланса», журағы температурларда исә зона кечиди характеристика дашишыр. Мүәјжән едилимишdir ки, электрон шүаланымсыз иштесисинде соң мәлүлүдә силансумун мигдары артдыгча электрик кечирилүүн азалып.

М. Я. Bakirov, B. A. Nadgafov, V. S. Mamedov, N. S. Zainalov

## ELECTRICAL PROPERTIES OF THE Ge<sub>1-x</sub> Si<sub>x</sub> SOLID SOLUTION AMORPHOUS FILMS

The influence of the composition and electron irradiation upon electric conductivity of Ge<sub>1-x</sub> Si<sub>x</sub> solid solution amorphous layers is studied.

It is shown that the electric conductivity in the region of low temperatures possesses the jumping mechanism, and at high ones the zone mechanism takes place.

It is established that with the increase of silicon concentration and at electron irradiation the electric conductivity decreases.

АЗӘРБАЙЧАН ССР ЕЛМЛӘР АКАДЕМИЯСЫНЫН МӘРҮЗӘЛӘРИ

ДОКЛАДЫ АКАДЕМИИ НАУК АЗЕРБАЙДЖАНСКОЙ ССР

ТОМ XLV ЧИЛД

№ 1

1989

УДК 541.64:678.5:546.21

## ОРГАНИЧЕСКАЯ ХИМИЯ

М. А. БАГИРОВ, А. М. ГОРБУНОВ, Р. С. АЛИМАРДАНОВ, В. П. МАЛИН,  
Н. А. ЭЮБОВА

## ЗАКОНОМЕРНОСТИ РАЗРУШЕНИЯ КОМПОЗИЦИИ ПОЛИСТИРОЛ-ПОЛИВИНИЛХЛОРИД ПОД ДЕЙСТВИЕМ АКТИВИРОВАННОГО КИСЛОРОДА

(Представлено академиком АН Азербайджанской ССР В. С. Алиевым)

Свойства полимерных несовместимых композиций существенно зависят от концентрационного соотношения между компонентами, так как с увеличением содержания одного из компонентов в матрице другого структура композиции последовательно проходит ряд стадий: раствор, область межфазного расслоения, дисперсная микрогетерогенная структура и т. д. [1].

Можно предположить, что механизм разрушения полимерных бинарных композиций под действием внешних факторов также будет существенно зависеть от концентрационного соотношения между компонентами.

С целью проверки этого предположения исследовалось воздействие на композиции ПС—ПВХ с различным содержанием ПВХ активированного (частично диссоциированного на атомы) кислорода. Данная композиция была выбрана, исходя из того, что ПВХ разрушается под действием атомов О в 3,3 раза быстрее, чем ПС, а атомарный кислород является основным агентом в широко применяемой плазмохимической обработке полимеров [2].

## ЭКСПЕРИМЕНТАЛЬНАЯ ЧАСТЬ

Образцы пленок размером 25 × 40 мм толщиной 30 мкм из ПС марки А (МРТУ 6-05-65), ПВХ марки С-69 (ГОСТ 14332-69) и композиций на их основе получали из раствора полным испарением растворителя (смеси ацетона с бензолом в соотношении 60:40). Содержание ПВХ в смеси варьировало от 0,05 до 15 вес. %.

Активированный кислород (АК) получали с помощью тлеющего разряда в O<sub>2</sub> на переменном токе частотой 50 Гц при давлении 100 Па [3]. U-образная разрядная трубка сообщалась с камерой, где размещались обрабатываемые образцы, посредством сопла в середине трубки; на стенах сопла происходила рекомбинация зарядов.

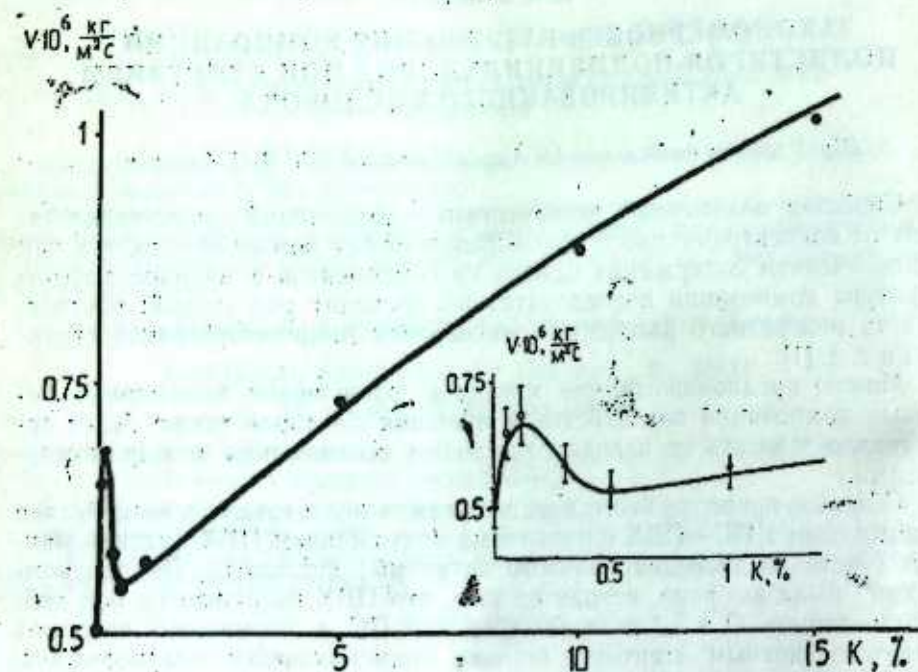
Для изучения структуры образцов использовали ИК-спектрофотометр UR-20 и дериватограф ОД-102МОМ. Взвешивание производили на весах ВЛР-200Г с точностью до 0,05 мг. Потерю веса и изменение ИК-спектров регистрировали через каждые 10—20 мин обработки в АК.

## РЕЗУЛЬТАТЫ И ИХ ОБСУЖДЕНИЕ

Методами дериватографического анализа (ДТА) и радиотермодилюминесценции было установлено, что ПС и ПВХ в композиции сохраняют

неизменными свои температуры стеклования, т. е. являются несовместимыми.

Потеря массы пленок ПС, ПВХ и их композиций со временем обработки в АК возрастает по закону, близкому к линейному [4], что позволяет ввести в рассмотрение скорость потери массы  $V_m = \Delta m/st$ , где  $\Delta m$ —потеря массы за время обработки  $t$  с площади  $s$ . Из рисунка видно, что зависимость  $V_m$  от концентрации ПВХ можно разделить на области малых (до 1 вес. %) и больших (1—15 вес. %) концентраций ПВХ.



Зависимость скорости потери массы от концентрации ПВХ в композиции ПС—ПВХ

В области малых концентраций ПВХ наблюдается экстремум потери массы композиции: вначале до 0,1 вес. % ПВХ  $V_m$  резко возрастает, а на участке 0,1—1 вес. % так же резко снижается. Скорости убыли ИК-поглощения С—С-связей в бензольном кольце ( $1600\text{ cm}^{-1}$ ) и в главной цепи ( $1070\text{ cm}^{-1}$ ) ПС в композиции симбатично изменяются с потерей массы и превышают при этом скорости убыли С—С-связей индивидуального ПС [4]. В то же время интенсивность ИК-поглощения при  $690\text{ cm}^{-1}$  (С—Cl-связи в ПВХ в композиции убывает медленнее, чем у индивидуального ПВХ (таблица).

Зависимость относительной скорости  $(v - \Delta D/D_0 t)$  убыли интенсивности  $D$  полосы С—Cl-связей от концентрации ПВХ

ПВХ, вес. %	0	0,1	0,3	1	5	10	15
$v, 10^{-4} 1/\text{s}$	1,09	0,50	0,86	1,33	1,50	1,67	1,91

Эти факты указывают на то, что разрушение композиций в этом интервале концентраций ПВХ обусловлено в основном разрушением макромолекул ПС.

Экстремальный характер изменения свойств полимерных композиций в области малых добавок одного из компонентов (модификатора) согласно [1, 5] объясняется расслоением полимерной системы, выделением модификатора в дисперсионную фазу и образованием межфазного слоя со специфическими свойствами. В момент фазового расслоения образуется большое количество частиц модификатора малых размеров, и величина межфазного слоя максимальна. С дальнейшим увеличением содержания модификатора размеры частиц возрастают, а их концентрация снижается, и межфазный слой уменьшается [5]. Малое межмолекулярное взаимодействие несовместимых полимеров приводит к снижению плотности энергии когезии системы, что эквивалентно появлению избыточного свободного объема в межфазном слое [6].

На появление межфазного слоя 0,1 вес. % ПВХ указывают данные ДТА: на кривой ДТА при этой концентрации ПВХ наблюдается новый пик при  $325\text{K}$ , соответствующий температуре стеклования  $T_c$  межфазного слоя. Меньшее значение  $T_c$  этого слоя по сравнению с  $T_c$  индивидуального ПС свидетельствует о менее плотной упаковке молекул ПС в межфазном слое.

Атомы кислорода, воздействуя на композицию, в первую очередь, разрушают макромолекулы ПС в межфазном слое, что обусловлено как слабыми межмолекулярными силами в нем, так и облегчением доступа атомов кислорода к молекулам межфазного слоя ввиду наличия в нем избыточного свободного объема. После длительного времени обработки в АК (1 ч) пик ДТА, соответствующий  $T_c$  межфазного слоя, практически исчезает, что говорит о вытравливании этого слоя.

Используя методику [1, 5] и исходя из минимума свободной энергии в момент расслаивания системы, определим средний радиус частиц ПВХ в момент межфазного разделения как  $r = \sqrt{\frac{A}{\sigma_{1,2}}}$ , где  $A = \frac{3}{4}\pi \ln \frac{n_1}{n_2} \cdot kT$ ;  $n_1$  и  $n_2$ —концентрации молекул ПС и ПВХ;  $k$ —постоянная Больцмана;  $T$ —абсолютная температура;  $\sigma_{1,2}$ —коэффициент межфазного натяжения.

Переходя к молекулярным весам, перепишем  $A$  в виде

$$A = \frac{3}{4}\pi \ln \left( \frac{m_1 p_2 V_2}{m_2 p_1 V_1} \right) kT; \quad \frac{n_1}{n_2} = \frac{m_1}{m_2} \left| \frac{T_1}{T_2} \right|^{\frac{1}{2}}, \quad ; = \rho V,$$

где  $m_1$ ,  $T_1$ ,  $p_1$ ,  $V_1$  и  $m_2$ ,  $T_2$ ,  $p_2$ ,  $V_2$ —масса, молекулярный вес, удельная плотность и мольный объем ПС и ПВХ соответственно.

Коэффициент межфазного натяжения вычисляли по формуле [6]

$$\sigma_{12} = [(\sigma_1^d)^{1/2} - (\sigma_2^d)^{1/2}]^2 + [(\sigma_1^h)^{1/2} - (\sigma_2^h)^{1/2}]^2,$$

где  $\sigma^d$ —дисперсионная составляющая, а  $\sigma^h$ —составляющая, обусловленная наличием водородных связей, коэффициентов поверхностного натяжения  $\sigma_1$  (для ПС) и  $\sigma_2$  (для ПВХ).

Предполагая, что фазовое расслоение системы происходит при концентрации ПВХ 0,1 вес. %, и используя параметры ПС и ПВХ, приведенные в [6], получим  $r = 17 \cdot 10^{-9}$  м, а концентрация частиц ПВХ

$$N_a = \frac{m_2}{\rho_2 4/3 \pi r^3} = 4 \cdot 10^{10} 1/\text{m}^3.$$

В области больших (1—15 вес. %) концентраций ПВХ, когда композиция имеет микрогетерогенную дисперсную структуру, ее можно представить в виде полистирольной матрицы, в которую вкрашены частицы ПВХ. Основные закономерности разрушения такой композиции под действием АК:

1) скорость потери массы возрастает с увеличением концентрации ПВХ (рисунок), причем она превышает скорость, вычисленную из правила аддитивности. Так, для композиции с 15 вес. % ПВХ экспериментально определенная скорость потери массы составляет  $1.02 \cdot 10^{-6}$  кг/м<sup>2</sup> с; а вычисленная из правила аддитивности — лишь  $0.67 \cdot 10^{-6}$  кг/м<sup>2</sup> с;

2) связи С—Cl в композиции разрушаются быстрее, чем у индивидуального ПВХ (таблица);

3) скорость убыли бензольных колец ПС в композиции меньше, чем у индивидуального ПС, а скорость убыли С—С-связей ПС в композиции, наоборот, больше [4];

4) после обработки в АК появляется нерастворимый осадок — гель-фракция;

5) пик ДТА, связанный с ПВХ, быстро уменьшается под действием АК.

Возрастание потери массы с увеличением концентрации ПВХ, уменьшение пика ПВХ под действием АК, а также то, что бензольные кольца убывают в композиции с меньшей скоростью, чем у индивидуального ПС, указывают на то, что в композициях с содержанием ПВХ 1—15 вес. % происходит, в первую очередь, вытравливание фрагментов ПВХ, а не ПС.

Превышение скорости потери массы в композиции над вычисленной из правила аддитивности и более быстрая убыль С—Cl-связей, чем у индивидуального ПВХ, свидетельствуют о том, что в композиции разрушение ПВХ происходит не только за счет его взаимодействия с атомами О. Дополнительный вклад в разрыв С—Cl-связей дают и атомы водорода, образующиеся при разрушении макромолекул ПС.

С другой стороны, большая убыль С—С-связей главной цепи ПС в композиции, чем у индивидуального ПС, говорит о том, что продукты разрушения ПВХ также воздействуют на полистирольную матрицу, в частности, приводя к деструкции макромолекул. О модификации ПС продуктами разрушения ПВХ свидетельствует и образование гель-фракции, не наблюдавшейся при обработке в АК индивидуального ПС. Атомы хлора отщепляют, в свою очередь, атомы водорода от молекул ПС, образуя улетучивающийся HCl, а макрорадикалы ПС вступают в поперечную сшивку. Таким образом, основным процессом в композициях при больших (1—15 вес. %) концентрациях ПВХ под действием АК является вытравливание ПВХ, сопровождающееся модификацией полистирольной матрицы продуктами разрушения ПВХ.

#### Литература

1. Липатов Ю. С., Лебедев Е. В. — В сб.: физ.-хим. механика и лиофильность дисперсных систем. Киев: Наукова думка, 1982, № 14, с. 3—13.
2. Гриневич В. М., Максимов А. И. — В сб.: Применение низкотемпературной плазмы в химии. М.: Наука, 1981, с. 135—169.
3. Багиров М. А., Малин В. П., Абасов С. А. Воздействие электрических разрядов на полимерные диэлектрики. — Баку: Элм, 1975.
4. Багиров М. А., Горбунов А. М., Алимарданов Р. С., Малин В. П., Осколонов В. А. — Пласт. массы, 1984, № 8, с. 23—25.
5. Кулезнев В. Н., Клыкова В. Д., Кандырин Л. В., Вершинин Л. В. — В сб.

Физ.-хим. механика и лиофильность дисперсных систем. Киев: Наукова думка, 1982, № 14, с. 14—20.

6. Ван Кревелен Д. В. Свойства и химическое строение полимеров. — М.: Химия, 1976.

Сектор радиационных исследований

Поступило 19. IV 1988

М. А. Багиров, А. М. Горбунов, Р. С. Алимарданов,  
В. П. Малин, Н. А. Ейубова

АКТИВЛЭШМИШ ОКСИКЕҢ ТӨРӘФИЙДӘН ПОЛИСТИРОЛПОЛИВИНИЛ  
ХЛОРИД КОМПОЗИСИЈАЛАРЫН ПАРЧАЛАМА ГАНУНАУЛГУНЛУГЛАРЫ

Мөгиләде гејд едиңүр күйінде ПС + ПВХ композицияның оксикен атомларының тәсіри иле парчалама механизми компоненттердің концентрасияларының иисбатнан асылыдыры: ПВХ-ны кичик концентрасияларында (1% гәдәр) ПС-ны артық сөрбастаңа мәншә малик макромолекуларынан ибарат фазаларасы тәбәға парчаланып, ПВХ-ны бойук концентрасияларында (1—15%) исе илк иеңбәдә ПВХ ииссачилары парчаланмаға мәрзүлгүлдерлер.

М. А. Bagirov, A. M. Gorbunov, R. S. Alimardanov,  
V. P. Malin, N. A. Eypanova

#### REGULARITIES OF DEGRADATION OF POLYSTYRENE-POLYVINYLCHLORIDE UNDER THE INFLUENCE OF ACTIVATED OXYGEN

Degradation mechanism of PS + PVC composition under the effect of atomic oxygen depends upon concentration relation between the components: at low (small) concentrations under 1 weight % of PS macromolecules are degraded with excessive free volume, at large PVC concentrations (1—15 weight %) the PVC particles in polystyrol matrix are destroyed.

А. Г. САИД ОМАР, чл.-корр. АН АзССР М. М. ГУСЕИНОВ, А. К. ХАБИБОВА,  
С. Т. КАЗИЕВА, С. Ф. КАРАЕВ

**СИНТЕЗ И РЕАКЦИИ ПРОПАРГИЛОВЫХ ЭФИРОВ  
ИНДИВИДУАЛЬНЫХ ОРТО- И  
ПАРАМЕТОКСИБЕНЗИЛМЕТИЛКАРБИНОЛОВ**

Известные представители пропаргиловых эфиров ароматических спиртов находят применение в органическом синтезе [1—3], проявляют небезынтересные свойства прикладного характера, в том числе антикоррозионные [3, 4], физиологические [1], флотационные [5].

В связи с этим в данной статье рассматривается синтез неизвестных ранее пропаргиловых эфиров вторичных ароматических спиртов — индивидуальных орто- и парааллиланизолам, а также их некоторые превращения с участием активных центров терминальной тройной связи ( $C=C\equiv C-H$ ).

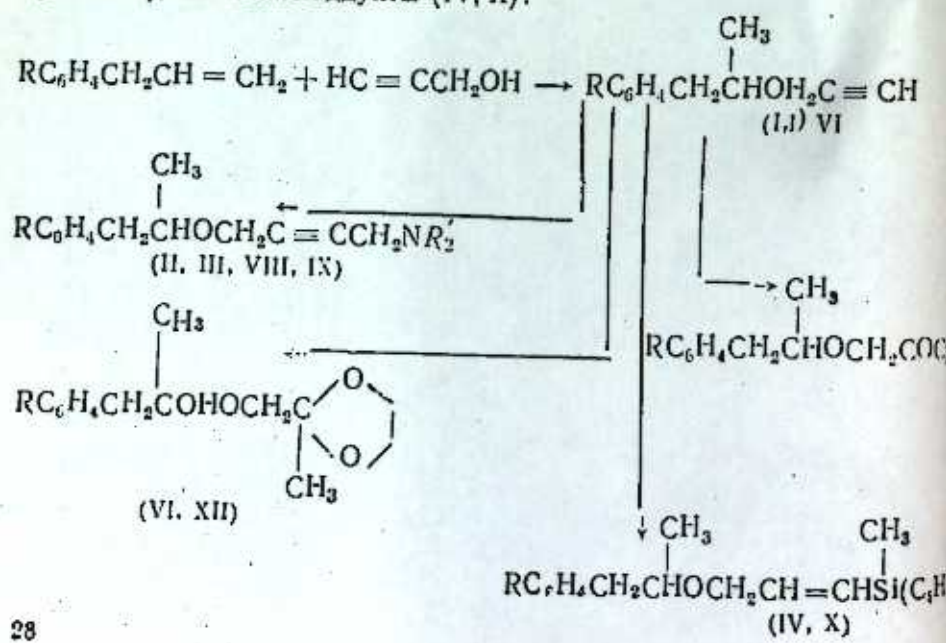
Целевые простые аралкилпропаргиловые эфиры (I, VII) получены кислотно-кatalитическим присоединением пропинала к индивидуальным изомерным орто- и парааллиланизолам.

Взаимодействие эфиров (I, VII) с параформом и вторичными аминами (диэтиламин, пиперидин) в присутствии однохлористой меди позволяет переходить к ацетиленовым аминоэфирам (II, III, VIII, IX).

При гидратации эфиров (I, VII) в условиях реакции Кучерова происходит их превращение в соответствующие кетопроизводные (V, XI).

Каталитическое ( $BF_3 + HgO$ ) циклоприсоединение этиленгликоля к тройной связи эфиров (I, VII) приводит к образованию 2-замещенных 1,3-диоксоланов (VI, XII).

Гидросилирирование эфиров (I, VII) метилдибутилсиланом в присутствии  $0.1N$  раствора  $H_2PtCl_6 \cdot 6H_2O$  в изопропиловом спирте дает кремнийорганические аддукты (IV, X):

 $R=o-CH_3O$  (I—VI),  $n=CH_3O$  (VII—XII); $R_2=(C_6H_5)_2$  (II, VIII),  $-(CH_2)_5-$  (III, IX)

Строение синтезированных соединений (I—IV) подтверждено данными спектров ПМР и ИК-поглощения.

## ЭКСПЕРИМЕНТАЛЬНАЯ ЧАСТЬ

ИК-спектры веществ в тонком слое сняты на приборе  $VR-20$ . Спектры ПМР 30%-ных растворов соединений в четыреххлористом углероде записаны на спектрометре „Tesla 480 L”.

Исходные аллиланизолы получены действием аллилбромида на реактивы Гриньяра из индивидуальных орто- и параброманилов. Константы синтезированного *n*-аллиланизола соответствовали литературным данным [5]. Ортоаллиланизол получен со следующими данными:  $T_{kпп}=82-85^\circ C$  (6 мм),  $\tau_D^{20}=1.5528$ .

**Получение аралкилпропаргиловых эфиров (I, VII).** К нагретой до 45 °C и перемешиваемой смеси из 3 моль пропаргилового спирта и 0,1 моль парамолуолсульфокислоты добавляли 1 моль соответствующего индивидуального аллиланизола. Смесь, перемешивая, нагревали 7 ч при 80—90 °C, охлаждали до комнатной температуры, нейтрализовали 5%-ным водным раствором бикарбоната натрия и экстрагировали диэтиловым эфиром. Эфирные вытяжки сушили безводным сульфатом натрия. После удаления эфира перегонкой в вакууме выделяли целевые вещества (I, VII), константы которых даны в таблице.

**Получение аминоацетиленовых эфиров (II, III, VIII, IX).** К перемешиваемой смеси 0,1 моль соответствующего аралкилпропаргилового эфира (I, VII), 0,15 моль параформа и 0,5 г полухлористой меди в 200 мл безводного диоксана добавляли 0,12 моль вторичного амина. Смесь кипятили 6 ч при 75—80 °C. Затем ее разбавляли равным объемом воды, экстрагировали эфиром и сушили  $Na_2SO_4$ . После удаления растворителя перегонкой в вакууме выделяли вещества (II, III, VIII, IX).

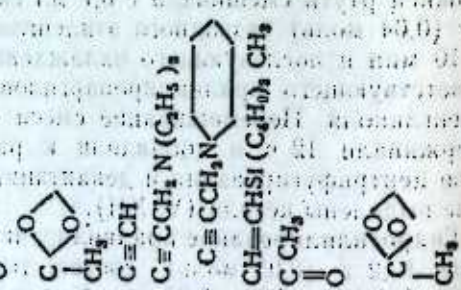
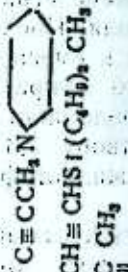
**Гидратация аралкилпропаргиловых эфиров (I, VII).** К перемешиваемой смеси из 0,65 г красной окиси ртути, 1 мл концентрированной серной кислоты и 25 мл воды, нагретой до 60 °C, постепенно добавляли 0,05 моль соответствующего арилпропаргилового эфира. Смесь нагревали 6 ч при 60—65 °C, экстрагировали эфиром. Объединенные органические фазы сушили  $Na_2SO_4$ , растворитель удаляли, остаток перегоняли в вакууме. Таким путем получены кетоэфиры (V, XI).

**Получение 2,2-дизамещенных 1,3-диоксоланов (VI, XII).** 2,1 г красной окиси ртути смешивали с 0,7 мл свежеперегнанного эфирата  $BF_3$  и 2,3 г (0,04 моль) безводного этиленгликоля. После нагревания в течение 10 мин и последующего охлаждения к смеси добавляли 0,12 моль соответствующего аралкилпропаргилового эфира и 9,3 г (0,15 моль) этиленгликоля. Перемешивание смеси продолжало 1,5—2 ч, затем ее выдерживали 12 ч, и добавляли к раствору 2,3 г безводного  $CaCO_3$ . После центрифугирования и декантации жидкой фазы перегоняли в вакууме выделены кетали (V, XII).

**Гидросилирирование аралкилпропаргиловых эфиров (I, VII).** К смеси из 10,2 г (0,05 моль) соответствующего аралкилпропаргилового эфира (I, VII) и 7,9 г (0,05 моль) метилдибутилсилана добавляли 0,2 мл 0,1 н раствора  $H_2PtCl_6 \cdot 6H_2O$  в изопропиловом спирте. Смесь перемешивали 4 ч при 80—85 °C и перегоняли в вакууме. Выделены вещества (IV, X) (таблица).

Физико-химические константы и аналитические данные эфиров  
CH<sub>3</sub>O—C<sub>6</sub>H<sub>4</sub>—CH<sub>2</sub>CH(OCH<sub>3</sub>)<sub>2</sub>

N <sub>к</sub>	R	7 кип., °С (P, мм. рт. ст.)	d <sub>4</sub> <sup>20</sup>	n <sub>D</sub> <sup>20</sup>	Брутто-формула	MRD и метод выч.	Выход, %
1	C≡CH	125(1)	1,0113	1,5170	C <sub>19</sub> H <sub>16</sub> O <sub>4</sub>	61,12	9,15
2	C≡CCH <sub>2</sub> N(C <sub>2</sub> H <sub>5</sub> ) <sub>2</sub>	154(1)	0,9623	1,5150	C <sub>18</sub> H <sub>22</sub> O <sub>2</sub> N	89,98	40
3	C≡CCH <sub>2</sub> N	189(2)	1,0260	1,5302	C <sub>19</sub> H <sub>22</sub> O <sub>2</sub> N	90,75	65
4	CH≡CHSi(C <sub>6</sub> H <sub>5</sub> ) <sub>2</sub> CH <sub>3</sub>	181—183(4)	0,9211	1,4912	C <sub>23</sub> H <sub>22</sub> O <sub>2</sub> Si	114,02	58
5	C≡CCH <sub>2</sub>	143—144(2)	1,0791	1,5095	C <sub>19</sub> H <sub>18</sub> O <sub>3</sub>	61,03	50
6		160—161(6)	1,0701	1,5060	C <sub>19</sub> H <sub>22</sub> O <sub>4</sub>	73,95	65
7		128—130(2)	1,0101	1,5154	C <sub>19</sub> H <sub>16</sub> O <sub>3</sub>	61,09	45
8		173—174(3)	0,9523	1,5100	C <sub>18</sub> H <sub>22</sub> O <sub>4</sub> N	85,95	63
9		193(3)	1,0168	1,5260	C <sub>19</sub> H <sub>22</sub> O <sub>4</sub> N	91,01	66
10		186—189(6)	0,9189	1,4908	C <sub>23</sub> H <sub>22</sub> O <sub>2</sub> Si	114,25	72
11		140—141(3)	1,0701	1,5050	C <sub>19</sub> H <sub>18</sub> O <sub>3</sub>	61,64	48
12		160—164(3)	1,0678	1,5045	C <sub>19</sub> H <sub>22</sub> O <sub>4</sub>	74,10	68



## Выводы

1. Взаимодействие пропионола с индивидуальными изомерными орто-, парааллиланзолами приводит к образованию пропаргиловых эфиров вторичных метоксибензилметилкарбинолов.

2. Введение поопаргиловых эфиров метоксибензилметилкарбинолов в реакции по центрам C=C и =C—H позволяет реализовать синтезы C<sub>sp</sub>-аминометильных производных, кетоэфиров, циклических ацеталей и силилолефиновых эфиров.

## Литература

- Караев С. Ф., Гараева Ш. В. — Успехи химии, 1980, т. 49, № 9, с. 1774—1800.
- Хабиб Рахман Тухи, Караев С. Ф., Агаев Ф. Х. — Азерб. хим. ж., 1984, № 3, с. 57.
- Караев С. Ф., Теймурова Р. А., Хабибова А. К. Всесоюз. совещ. «Перспективы расширения ассортимента химических реагентов». Тез. докл. /ЯРГП, Ярославль, 1987. С. 158.
- Егоров В. В., Подобаев Н. И., Хабиб Рахман Тухи, Мамедоев Э. А., Караев С. Ф. — Защита металлов, 1987, № 2, с. 342, 5. А. с. СССР № 1202624 (1985). Способ флотации, угля. —/В. Н. Петухов, С. Ф. Караев, А. С. Кязимов, Е. К. Сметанина. — Опубл. в Б. И., 1986, № 1. 6. Словарь органических соединений. — М.: Иностр. лит., 1949, т. II, с. 11.

АЗИИНЕФТЕХИМ им. М. Азизбекова

Поступило 28. VI 1988

Э. Г. Сәид Әмәр, М. М. Гүсейнов, А. Г. Әзабибова,  
С. Т. Газијева, С. Ф. Гараев

## ФӘРДИ ОРТО-ВӘ ПАРАМЕТОКСИБЕНЗИЛМЕТИЛКАРБИНОЛЛАРЫН ПРОПАРКИЛ ЕФИРЛӘРИНИН СИНТЕЗИ ВӘ РЕАКЦИЯЛАРЫ

Пропионолун фәрди орто-вә парааллиланзолларын изомерлорда гарышынагы тәсир иккili метоксибензилметилкарбинолларын пропаркил ефириләрин көтириб чы.

Метоксибензилметилкарбинолларын пропаркил ефириләrinin C≡C və =C—H мәркәзләре үзүрә реакциялары C<sub>sp</sub>-аминометил терәмәләри, кетоэфиры, тенник ацеталылар вә силилолефин ефириләри алышыны имкан верир.

А. G. Said omar, M. M. Guseinov, A. K. Khabibova,  
S. T. Kasieva, S. F. Karayev

## SYNTHESIS AND REACTIONS OF PROPARGYL ETHERS OF INDIVIDUAL ISOMERS O-AND P-METHOXYBENZYL METHYLGBARINOLS

Interaction of propenol with individual isomers of o-and p-allylanisoles gives propargyl ethers of secondary methoxybenzylmethylcarbynos.

Using of C≡C and =C—H centres of propargyl ethers of methoxybenzylmethylcarbynos. In some reactions permits obtaining of C<sub>sp</sub>-aminomethyl derivatives, ketoethers, cyclic acetals and silylolefin ethers.

М. М. АХМЕДОВ, чл.-корр. АН АзССР З. Г. ЗУЛЬФУГАРОВ, А. И. АГАЕВ

## КАТАЛИТИЧЕСКОЕ ПРЕВРАЩЕНИЕ СЕРОСОДЕРЖАЩИХ ГАЗОВ В СЕРУ

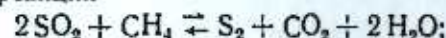
Получение элементарной серы из сернистого газа в промышленном масштабе осуществлено на Медногорском медно-серном комбинате и Надеждинском металлургическом заводе (Норильский ГМК). Технологическая схема переработки сернистых газов наряду с высокотемпературным восстановлением включает и низкотемпературные — катализитические ступени Клауса, где в качестве катализатора применяется пористая масса, приготовленная на основе высокоглиноземистого цемента [1, 2]. Однако данный катализатор обладает относительно низкой активностью, что не обеспечивает достижения высокой степени извлечения серы на катализитических стадиях.

В настоящей статье представлены результаты работы, цель которой заключалась в возможности синтеза и исследования активных катализаторов на основе промпродуктов Норильского ГМК для получения серы из серосодержащих газов ( $\text{SO}_2$ ,  $\text{H}_2\text{S}$ , COS) на стадиях Клауса.

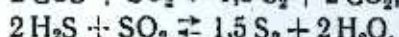
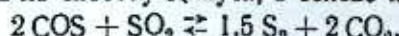
Известно, что наиболее активными контактами для данного процесса являются боксит, оксид алюминия и ряд катализаторов, синтезированных на их основе [3—6]. Поэтому для исследования были выбраны промпродукты, содержащие в составе преимущественно оксиды алюминия и железа. Активность промпродуктов в реакциях получения серы в индивидуальном виде оказалась низкой. Для создания активного и механически прочного катализатора на их основе необходимо добавлять активный компонент и связующие вещества. В качестве последних были использованы гидроксид алюминия, жидкое стекло или бентонитовая глина.

Образцы промпродуктов измельчались до порошкообразного состояния и смешивались с определенным количеством гидроксида алюминия, а затем тщательно перемешивались с добавлением водного раствора силиката натрия или порошкообразного бентонита. Полученная тестообразная масса формировалась и подвергалась сушке при 110—120 °C в течение 4 ч и прокалке при температуре 400—450 °C в течение 2 ч. Полученные образцы катализатора испытывались при температурах 450—250 °C. Процесс проводился по полной технологической схеме, включающей следующие стадии:

1. термическое восстановление диоксида серы метаном при температуре 1250—1300 °C по реакции



2. доработка газа по способу Клауса, в основе которого лежат реакции



Анализ исходных и конечных продуктов восстановления осуществлялся хроматографическим и химическим методами. Исходная газовая смесь содержала 15—20%  $\text{SO}_2$ , метан и азот. В качестве восстановителя применялся сетевой природный газ, содержащий 96—97% метана.

С целью определения в процессе восстановления условий, обеспечивающих последующую доработку газа по способу Клауса (отношение  $\text{COS} + \text{H}_2\text{S}$  к непрореагированному  $\text{SO}_2$  в газовой смеси после реактора первой ступени должно быть 2:1), соотношение исходных реагентов поддерживалось  $\text{CH}_4 : \text{SO}_2 = 0,6$ .

Усредненные показатели процесса получения элементарной серы по полной технологической схеме приведены в таблице. Из таблицы следует, что с увеличением гидроксида алюминия в составе катализатора в пределах 10—40 вес. % сначала выход серы повышается, а затем (после 20% добавки) остается неизменным, т. е. оптимальным количеством гидроксида алюминия в составе катализатора следует считать 20 вес. %. Установлено, что применение в качестве связующего жидкого стекла при сохранении высокой активности способствует более высокой механической прочности катализатора. В связи с этим в дальнейшем испытывали катализатор, состоящий из отвальных хвостов перефлотации пиротиннового концентрата (70%), гидроксида алюминия (20%) и силиката натрия (10%).

Сравнительная активность промышленного алюминато-цементного и синтезированного нами катализаторов в интервале объемных скоростей газовой смеси 250—1750  $\text{ч}^{-1}$  представлена на рис. 1. Данные на рис. 1 соответствуют распределению серы и серосодержащих газов с включением термической и двух катализитических ступеней Клауса. Из рис. 1 следует, что для алюминато-цементного катализатора опти-

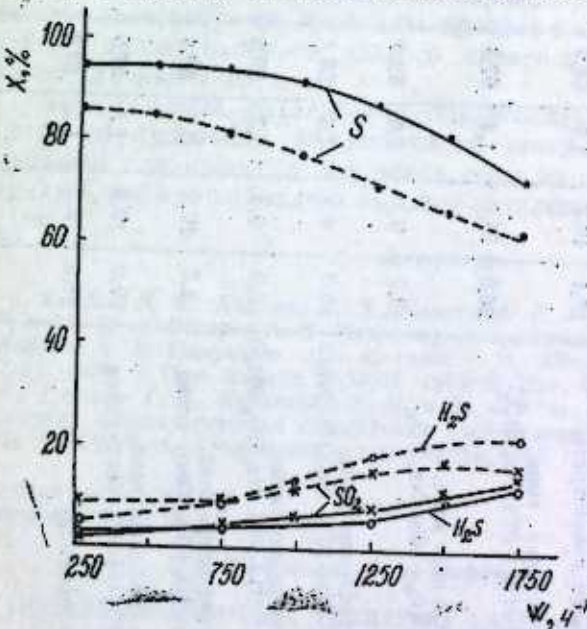


Рис. 1. Зависимость выхода S,  $\text{H}_2\text{S}$  и  $\text{SO}_2$  от объемной скорости газовой смеси (I — I ст. Клауса — 450 °C, II ст. Клауса — 250 °C; сплошные линии — предлагаемый катализатор, пунктирные — промышленный)

мальной объемной скоростью газовой смеси следует считать 250—500  $\text{ч}^{-1}$ , так как дальнейшее повышение ее приводит к резкому снижению выхода серы и повышению количества серосодержащих газов в продуктах реакции. Общий выход элементарной серы при установлен-

Образец катализатора	Разделение серы, об. %											
	после термической ступени				после I ступени Клауса							
	H <sub>2</sub> S	SO <sub>2</sub>	COS	S <sub>2</sub> H	H <sub>2</sub> S	SO <sub>2</sub>	COS	S <sub>2</sub> H	H <sub>2</sub> S	SO <sub>2</sub>	COS	S <sub>2</sub> H
Отв. хв. перепл. пир. конц. +10% Al(OH) <sub>3</sub> +10% Na <sub>2</sub> SiO <sub>3</sub> +9H <sub>2</sub> O	19.4	10.2	1.5	68.9	19.4	10.0	1.2	69.4	12.4	6.5	1.2	80.0
тв. хв. перепл. пир. конц. +20% Al(OH) <sub>3</sub> +10% Na <sub>2</sub> SO <sub>4</sub> +9H <sub>2</sub> O	20.0	10.3	1.4	67.3	19.6	10.0	1.1	68.6	6.9	2.4	0.5	90.2
Отв. хв. перепл. пир. конц. +30% Al(OH) <sub>3</sub> +10% Na <sub>2</sub> SiO <sub>3</sub> +9H <sub>2</sub> O	19.7	9.7	1.6	69.0	17.9	8.8	0.3	72.9	2.7	1.5	0.3	95.5
Отв. хв. перепл. пир. конц. +40% Al(OH) <sub>3</sub> +10% Na <sub>2</sub> SiO <sub>3</sub> +9H <sub>2</sub> O	18.9	9.8	1.7	69.5	18.6	9.0	0.3	72.1	3.4	1.2	0.3	95.9
Отв. хв. перепл. пир. конц. +20% Al(OH) <sub>3</sub> +5% сент. глина	18.3	10.2	2.1	69.4	18.2	9.1	0.4	72.1	3.4	1.4	0.3	94.9
Отв. хв. перепл. пир. конц. +20% Al(OH) <sub>3</sub> +10% сент. глина	20.0	10.8	1.7	67.5	19.5	8.1	0.6	71.8	2.8	1.6	0.4	95.2
Алюминато-цементный	19.6	9.3	1.5	69.8	19.6	8.9	0.7	70.8	9.1	3.8	0.4	86.7

ных объемных скоростях составляет 84—86%. При использовании катализатора, приготовленного на основе отвальных хвостов переработки пиротинового концентрата, оптимальная объемная скорость газовой смеси равна 1000 ч<sup>-1</sup>, причем общий выход серы достигает 95—96%.

Поскольку содержание сероксида углерода в отходящем газе после термического восстановления невысокое (таблица) и в литературе имеются сведения о том, что его конверсия протекает удовлетворительно при 250 °C [7], мы сочли целесообразным осуществить доработку газа после высокотемпературного восстановления с включением только одной ступени Клауса в интервале температур 200—300 °C (рис. 2).

Из рис. 2 видно, что степень превращения сероводорода при температуре 250 °C не превышает 40%, а с повышением температуры она растет. При этом степень превращения сероводорода понижается. Поэтому наиболее целесообразно проводить процесс с включением двух ступеней Клауса с целью наибольшего полного превращения газообразных сернистых соединений в серу.

Таким образом, катализатор, приготовленный на основе отвальных хвостов переработки пиротинового концентрата, оказался вполне пригодным для процесса получения серы из серосодержащих газов на стадиях Клауса; он обладает высокой активностью и механической прочностью.

#### Литература

- Ушаков К. И., Хогазаев Д. Т., Козюра А. И. и др. — Цветные металлы, 1982, № 7, с. 34—38.
- Пигарев А. Д. Медно-серное производство. — М.: Металлургия, 1977.
- Лебедева А. В. Получение серы из газов. — М.: Металлургия, 1977.
- 4117101, 1978.
- Пат. Японии, 5659604, 1979.
- Пат. ФРГ, 2648190, 1976.
- Еремин О. Г., Еремина Г. А., Дубинская В. М. и др. — В сб.: Совершенствование техники и технологии металлургической переработки полиметаллического сырья /Пр. Гипцветмета/. М.: ЦНИИЦветмет экономики и информации, 1982.

Институт неорганической  
и физической химии АН АзССР

Поступило 4. III 1988

М. М. Энисов, З. Н. Зулфугаров, А. И. Арафев

КҮКҮРДБИРЛӘШМӘЛИ ГАЗЛАРЫН КАТАЛИТИК ҮСУЛЛА КҮКҮРДЭ ЧЕВРИЛМӘСИ

Мәгарәдә сөнәје туллантымлары осасында синтез олунмуш катализаторларының иштиреки наэ күкүрдбиришмәли газлардан күкүрдүн алымасы тәдгигатларының иштиш

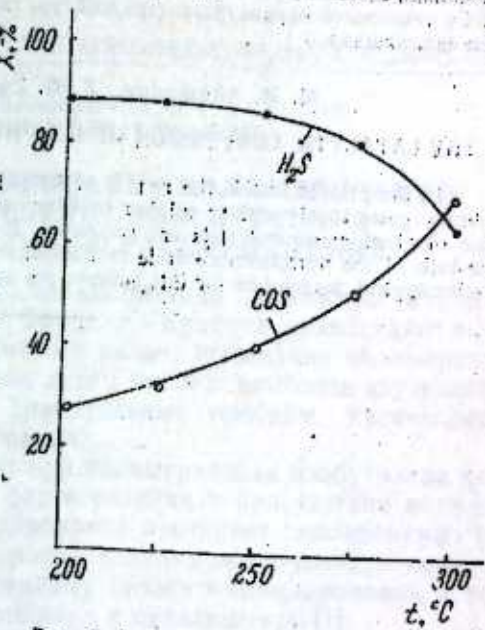


Рис. 2. Зависимость степени конверсии серосодержащих газов от температуры ( $W = 750$  ч<sup>-1</sup>)

ри верилмишdir. Мүэjән едилмишdir ки, тәkrар флотасија просесиндан аlyымыш туланты пиротин концентраты осасында назырламыш катализатор јуксок активилије вә меканики мөhкемлије малиндир. Тәdgигат иотичесинде просесин апартымасы учун ла-зымы технологији параметрлэр (температур, газ гарышыгынын нөчм сүр'ети вә с.) мүэjән едилмишdir.

M. M. Akhmedov, Z. G. Zulfugarov, A. I. Agayev

### THE CATALYTIC CONVERSION OF SULPHURCONTAINING GASES TO SULPHUR

In the present article the results of investigation of the transformation of sulphur-containing gases to elementary sulphur in Klaus process with application of catalysts on the base of plant waste materials are presented. It is shown that the catalyst preparing from the tails of the pyrotinconcentrate perfloatation had high activity and mechanical strength. Technological parameters for this process are established.

АЗЭРБАЙЧАН ССР ЕЛМЛЭР АКАДЕМИЈАСЫНЫН МӘРУЗӘЛӘРИ

ДОКЛАДЫ АКАДЕМИИ НАУК АЗЕРБАЙДЖАНСКОЙ ССР

ТОМ XLV ЧИЛД

№ 1

1989

УДК 541.65

### ХИМИЯ ВЫСОКОМОЛЕКУЛЯРНЫХ СОЕДИНЕНИЙ

Ф. М. НАСИРОВ, Н. Е. МЕЛЬНИКОВА, Ф. Р. ХАЛАФОВ,  
акад. АН АзССР Т. Н. ШАХТАХТИНСКИЙ

### О МЕХАНИЗАЦИИ ИНИЦИРОВАНИЯ ПОЛИМЕРИЗАЦИИ ИЗОБУТИЛЕНА ПО РЕЗУЛЬТАТАМ ИЗУЧЕНИЯ МОЛЕКУЛЯРНО-МАССОВОГО РАСПРЕДЕЛЕНИЯ

Вопросы механизма катионной полимеризации олефиновых мономеров в присутствии катализаторов Фриделя—Крафтса привлекают внимание многих исследователей. Однако в нашем понимании полимеризационного поведения этих мономеров, в том числе и наиболее изученного из них — изобутилена, остаются значительные пробелы, касающиеся прежде всего механизма инициирования.

Ранее нами было показано, что при полимеризации изобутилена как в полярных, так и в неполярных растворителях в присутствии катализаторов Фриделя—Крафтса инициирование протекает одновременно по двум механизмам — механизму протонирования в результате сокаталитического действия воды и механизму прямого инициирования в результате переноса электрона от мономера к катализатору [1].

Установлено, что реакция инициирования по маршруту протонирования полностью контролируется применением стерически затрудненного 2,6-дитретбутиллиридинина (2,6-ДТБП), а реакция переноса электрона — обработкой каталитической системы сухим кислородом. Одновременное применение 2,6-ДТБП и кислорода приводит к полному торможению полимеризации.

Вывод относительно двойственного механизма инициирования процесса полимеризации изобутилена подтверждается результатами исследования молекулярно-массового распределения (ММР) полимеров, полученных как в отсутствие селективных ингибиторов стадий инициирования, так и с их участием. Установлено, что полизобутилен, полученный в обычных контрольных опытах, т. е. при условии, когда инициирование и рост цепей осуществляются одновременно по двум механизмам, характеризуется бимодальным ММР; полизобутилен, полученный с использованием 2,6-ДТБП, имеет явно выраженное мономодальное ММР (рис. 1).

Очевидно, что каждому механизму инициирования соответствует свой фракционный состав полимера с определенным ММР. Была поставлена задача разложить с помощью математических методов гель-хроматограммы с бимодальным ММР, рассматривая их как сложные контуры, полученные в результате перекрывания двух индивидуальных гель-хроматографических пиков. Это позволило бы оценить вклад каждой из фракций полимера в общую картину процесса и выявить характер изменения выхода каждой из них во времени.

Подбор модельной функции для описания экспериментально полученных кривых ММР осуществлялся по известной методике [2]. Оказалось, что индивидуальные кривые ММР полимеров, полученных в при-

существии 2,6-ДТБП и кислорода, достаточно четко описываются функцией нормального распределения.

На рис. 2 показан характерный пример разделения бимодальной кривой ММР на пик фракции I, ответственной за протонное инициирование, и пик фракции II, ответственной за инициирование посредством однозелектронного переноса.

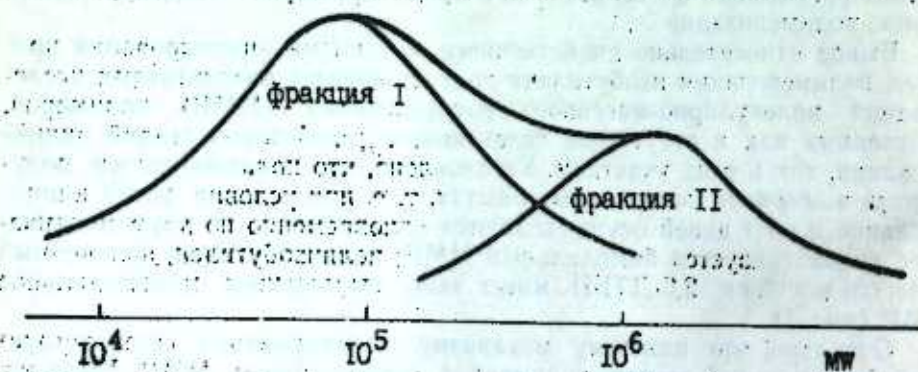
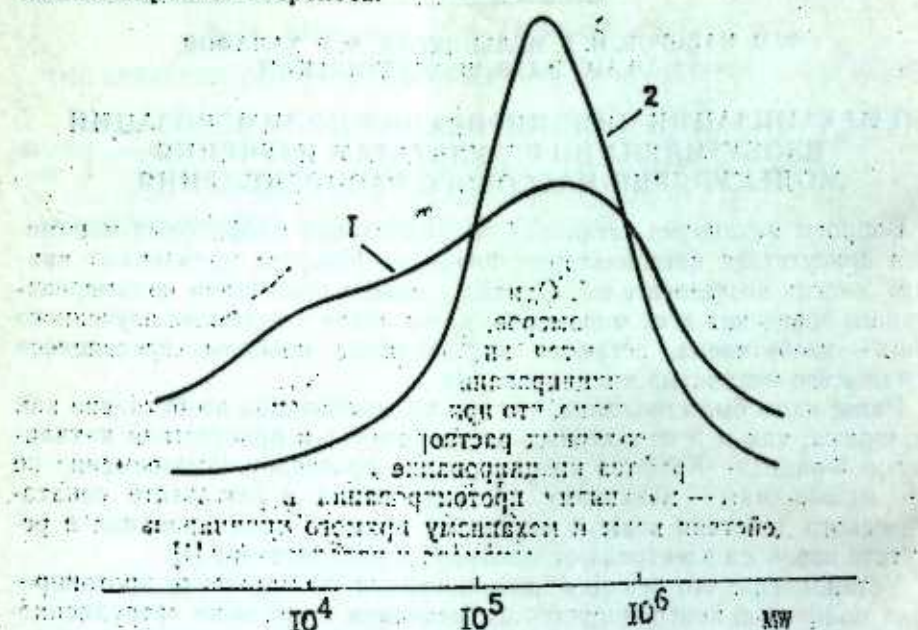


Рис. 2. Гель-хроматограмма с бимодальным ММР, разделенная на два индивидуальных пика

Исходя из величины отношения массовых долей фракций I и II и суммарного выхода полимера по ходу кинетической кривой, был вычислен вклад каждого из двух механизмов инициирования в общий характер течения процесса (рис. 3, 4).

Расчеты показывают постоянство числа цепей образовавшегося полимера в составе фракции II во времени с изменением количественного выхода этой фракции. Зависимость среднечисловой молекулярной

массы от выхода фракции II представляет собой прямую линию, исходящую из начала координат. Это убедительно подтверждает сделанный ранее [3] вывод о реализации в изучаемой системе принципа живых це-

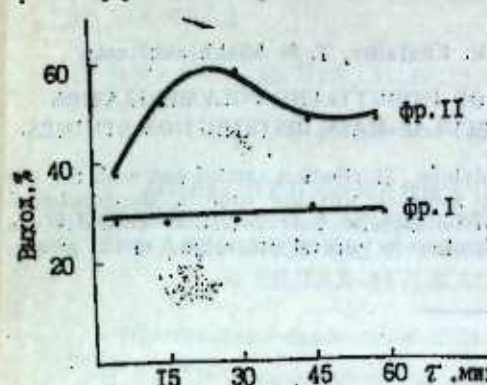


Рис. 3. Зависимость выходов фракций I и II от времени полимеризации в гептане

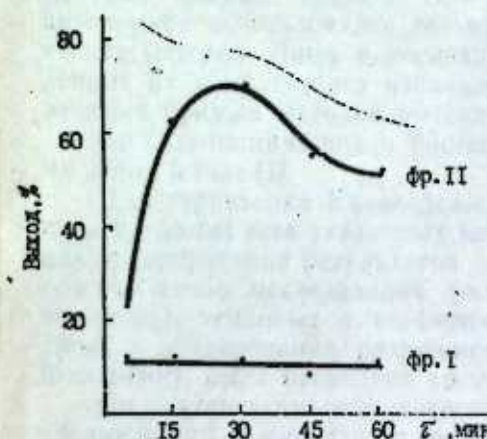


Рис. 4. Зависимость выходов фракций I и II от времени полимеризации в хлористом метилене

ней — рост цепи, инициированной по механизму однозелектронного переноса, происходит на живущих активных центрах.

#### Литература

1. Khalafov F. R., Nasirov F. M., Melnikova N. E., Krentsel B. A., Shakh-takhinskij T. N.—Macromol. Chem., Rapid Commun., 1985, 6, 29. 2. Берлин А. А., Вольфсон С. А., Кинетический метод в синтезе полимеров.—М.: Химия, 1973, с. 113.
3. Мельникова Н. Е., Халафов Ф. Р., Насиров Ф. М., Кренцель Б. А.—Азерб. хим. журн., 1984, № 1, с. 81.

Институт теоретических проблем  
химической технологии АН АзССР

Поступило 22. VI 1988

Ф. М. Насиров, Н. Е. Мельникова, Ф. Р. Халафов, Т. Н. Шахтахински  
МОЛЕКУЛЯР КҮТЛЭ ПАЙЛАНМАСЫНДАН АЛЫНАН НӘТИЧЭЛЭРЭ  
ЭССЭН ИЗОБУТИЛЕННИН ПОЛИМЕРЛЭШМЭСИ ЗАМАНЫ АКТИВ МЭРКЭЗИН  
ЖАРАНМА МЕХАНИЗМИ

Полјар въз гејри-полјар һәлледичиләрдә, Фридел—Крафте катализаторлары иштиреке иле алымныш полизобутиленин молекулјар күтлэ пайланмыны тәздиги актив

мәркәзләрни ики механизми үзә—бирбаша вә сокатализатор иштиракы ила эмалә кал. мәснин субут едир.

Бу ики механизмин һәр бариниң умуми полимерлошмә процессиндәки кәмијјәтчә сәрғи тә'җиңи едилмәншdir.

F. M. Nasirov, N. E. Melnikova, F. R. Khalafov, T. N. Shakhnaktinsky

## ON THE MECHANISM OF INITIATION OF ISOBUTYLENE POLYMERIZATION ACCORDING TO THE RESULTS OF MOLECULAR-MASS DISTRIBUTION STUDIES

The studies of molecular-mass polyisobutylene distribution carried out with the use of Friedel—Crafts catalysis both in polar and non-polar solvents confirm the conclusion on duality of the mechanism of initiation of isobutylene polymerization—cocatalytic and direct. Contribution of each of the two mechanisms to general proceeding of the process is estimated.

АЗӘРБАЙ҆ЧАН ССР ЕЛМЛӘР АКАДЕМИЈАСЫНЫН МӘРУЗӘЛӘРИ

ДОКЛАДЫ АКАДЕМИИ НАУК АЗЕРБАЙ҆ДЖАНСКОЙ ССР

ТОМ XLV ЧИЛД

№ 1

1989

УДК [550.4:550.3]:[528.7(203):553.981/.2(479.24)]

ГЕОХИМИЯ

Ф. С. МАГЕРРАМОВА, Л. Б. ГУСЕИНОВА

## ОПЫТ ПРИМЕНЕНИЯ ГЕОХИМИЧЕСКИХ МЕТОДОВ В КОМПЛЕКСЕ С АЭРОКОСМИЧЕСКИМИ И ГЕОФИЗИЧЕСКИМИ ВИДАМИ ИССЛЕДОВАНИЙ ПРИ ПОИСКАХ НЕФТИ И ГАЗА В ЕВЛАХ-АГДЖАБЕДИНСКОМ ПРОГИБЕ

(Представлено академиком АН Азербайджанской ССР Ш. Ф. Мехтиевым)

В СССР осуществляется широкая программа опробования многих методик прямых поисков. При этом длительное время преобладало автономное использование геохимических геофизических и аэрокосмических методов. Лишь в последние десять лет заметно усилилась тенденция их комплексного использования. Целесообразность такого применения прямых методов вытекает из изучения о парагенезисе геофизических, геохимических и биогеохимических аномалий над скоплениями нефти и газа [1].

Для территории Евлах-Агджабединского прогиба такой опыт комплексирования всех указанных методов был применен впервые. Совместная интерпретация результатов многозональной аэрокосмосъемки, геохимических исследований (почвенно-фитогеохимических, газохимических), тепловых и геофизических полей, выявленных на разных уровнях зондирования различными методами (контактными и дистанционными), была проведена по месторождению Мурадханлы.

По результатам геофизических исследований выделяется зона гравитационного и магнитного максимумов, охватывающих центральную часть месторождения, а сравнительный анализ результатов дешифрирования космоснимков (КФС) и геофизических материалов показал также, что выявленным при дешифрировании линеаментам соответствуют резко очерченные линейно вытянутые градиенты магнитных и гравитационных аномалий или зоны раздела физических полей, отличающихся рисунком изолиний. Анализ геофизических структурных карт выявил унаследованность структур осадочного чехла по отношению к структурам фундамента со смещением осей на северо-восток.

Тепловое поле, исследованное по данным бурения в пределах Мурадханлинского месторождения [2], на глубине 4500 м имеет температурный максимум 135 °C, приуроченный к сводовой части площади, в отличие от юго-западного (116 °C) и северо-восточного (106 °C) крыла, т. е. наибольшее отклонение температуры от фона отмечается в сводовой части, где установлено максимальное нефтенасыщение, а наименьшее — на северо-восточном крыле складки, где нефтеносность не выявлена.

Геохимические исследования на площади представлены результатами определения углеводородных газов (УВГ) и углеводородокислящих бактерий в приповерхностных отложениях, pH, CO<sub>2</sub> и C<sub>org</sub> в почве, а также химических элементов в почве и растительности.

Зона повышенных содержаний УВГ и УВ-окисляющей микрофлоры ограничивает центральную часть купола месторождения полукольцом, причем в юго-западной части площади эти проявления контрастнее, чем в северо-восточной.

В почвах наблюдаются повышенные значения  $\text{CO}_2$ ,  $\text{C}_{\text{org}}$ , рН и концентрации микроэлементов (Ni, V, Co, Zr и др.) внутри контура. В растительности повышенные концентрации внутри контура залежи имеют следующие микроэлементы: Ba, Sr, Zn, Co, Pb, Cr и др.

Таким образом, площадь залежи выражена в геохимических полях границами изменения концентраций.

Сопоставление результатов всех указанных полей приводит к выводу, что выделенные каждым методом аномальные участки в плане в основном совпадают, образуя комплексную аномалию, которая представляет собой геолого-физико-химическую модель возможного существования залежи и зоны ее влияния вплоть до поверхности, выраженную в геохимических градиентах. Комплексная аномалия хорошо коррелируется с данными бурения: плановое положение аномалии совпадает с плановым расположением разбуренной части залежи, т. е. подтверждена реальность модельного образа.

Один из путей реализации модели в изображении — отражение ее на космическом снимке (КС) именно в том диапазоне электромагнитного спектра, в котором наблюдается характерная дифференциация объектов по вещественному составу. А так как интегральное физико-химическое поле в зоне влияния залежи может выразиться на поверхности литохимическими изменениями пород, развитием специализированной микрофлоры, образованием специфических почвенных субстратов, ведущим к определенным биоценозам, к изменению химического равновесия почв и фитосфера, почвенной и наземной атмосферы [1], то эти вещественные перераспределения могут обусловить вполне определенные спектральные характеристики объектов ландшафта, которые являются одной из их контрастных особенностей.

В результате дешифрирования территории Мурадханлинского поднятия получена площадная фототональная аномалия, характеризующаяся гетерогенным тоном различной степени освещения, площадь которой в основном хорошо согласуется с физико-химической аномалией. Это свидетельствует о том, что космофотоаномалия (КФА) может являться спектральным изображением физико-химической аномалии в зоне влияния залежи в реальной геологической обстановке.

Освещение фототона, наблюдаемое над поднятием, в аридных зонах может объясняться освещением почвенного слоя, связанным с уменьшением его влажности, которое вызывается действием мигрирующих УБГ над нефтяными месторождениями. Геохимическая природа светлых аномалий, установленных в красной зоне спектра, признается многими исследователями, которые считают их признаками поверхностных изменений, связанных с миграцией УВ с глубины к поверхности [3]. Так, некоторые исследователи предполагают, что миграции УВ из залежей создают аномалии почвенного газа и вызывают увеличение испарения грунтовых вод, создавая за счет испарения аномальные концентрации растворимых солей в почвах, ведущих к посветлению фототона.

В [4] отмечается, что с ухудшением экологических условий спектральная яркость растений в видимой области увеличивается, а макси-

мум отражения перемещается в сторону красного спектра. Одной из причин нарушения экологических условий в нефтегазоносном районе могут быть приповерхностные геохимические аномалии в зоне влияния залежей УВ, которые приводят к изменению спектральных характеристик почвенно-растительного покрова в определенном диапазоне спектра, что, в свою очередь, отражается на космическом снимке над залежью.

Таким образом, комплексная интерпретация фотоаномалий с геофизическими и геохимическими исследованиями в практике поисково-разведочных работ может существенно повысить их эффективность применительно к закрытым территориям.

#### Литература

1. Физико-химические основы прямых поисков залежей нефти и газа/Под ред. Е. В. Каруса.—М.: Недра, 1986.
2. Рустамов Р. И. Гидрогеотермические аномалии Куриńskiej впадины.—Нефтегаз: геология и геофизика, 1978, № 10, с. 4—7.
3. Saunders D. F., Dunlap R. C. Gr. Geochemical reconnaissance in petroleum exploration.—Texas Instrumental Inc., Dallas, 1962.
4. Харин Н. Г. Дистанционные методы изучения растительности.—М.: Наука, 1975, с. 195.

Институт геологии АН АзССР

Поступило 4. IV 1988

Ф. С. Магеррамова, Л. Б. Гусейнова

#### ЈЕВЛАХ-АГЧАБЕДИ ЭЛІЛМӘСИНДӘ НЕФТ ВӘ ГАЗ АХТАРЫШЛАРЫНДА КЕОКИМЈӘВИ ҮСҮЛЛАРЫН АЕРОКОСМИК ВӘ КЕОФИЗИҚ ТӘДДИГИТАЛЛАР КОМПЛЕКСИНДӘ ТӘТБИГИ ТӘЧРУБӘСИ

Етапон сәһәснинде уч нөв тәддигат комплексинин назырламма вә тәтбигинин вәзијәти арашдырылып. Ишин эсас нәтижәләри һағында гыса мә'лүмт верилир. Їјалат дахилилә нефт. вә газ ахтарышларында көстөрилән комплекс тәддигитларын етибарлыгына вә эффективлигина диггәт верилир.

F. S. Magerramova, L. B. Guseynova

#### THE EXPERIMENT OF APPLICATION OF GEOCHEMICAL METHODS OF THE COMPLEX WITH AEROCOSMICAL AND GEOPHYSICAL RESEARCHES FOR EXPLORATIONS OF OIL AND GAS IN YEVLAKH AGJABEDY DEPRESSION

The development of condition and application of complex with three species research in standard are considered. The short reductions about the basic results are given. Reliability and effectiveness of mentioned complex during exploration oil and gas in investigating region are mentioned.

Р. А. ГУСЕЙНОВ, Ч. С. МУРАДОВ, А. А. ДАДАШЕВ, Р. С. АГЛЕВ

ИЗМЕНЕНИЕ РАВНОВЕСИЯ ГАЗОВОГО РЕЖИМА  
ОЗЕРА ГЕЙГЕЛЬ

(Представлено академиком АН Азербайджанской ССР Ш. Ф. Мехтиевым)

Гейтель относится к микромактическим озерам, имеющим два практически не перемешивающихся между собой слоя. Нижний, более плотный слой, минерализация которого в озере достигает 340 мг/л, является как бы жидким дном для верхнего, менее плотного (150—170 мг/л) поверхностного слоя. Подобное соотношение плотностей обусловлено притоком из подводных источников минерализованных вод, содержащихся в подстилающих породах [1].

Главной особенностью газового режима, обусловленной специфической гидрохимической ситуацией, являлось сероводородное заражение (0,9—2,8 мг/л), наблюдаемое с глубины 30 м [2], что позволило некоторым исследователям рассматривать озеро в качестве модели Черного моря, хотя содержание сероводорода в морской воде Черного моря достигает 11 мг/л [3].

Газогеохимические исследования, лежащие в основе настоящей статьи, были проведены в озере для выявления изменений в его газовом режиме. В воде озера изучались содержания сероводорода, кислорода и метана.

Распределение газов в озере изучалось нами поинтервально через 5—10 м на 6 станциях, расположенных в областях впадения и выхода р. Агсу (ст. 5 гл. 30 м и ст. 6 гл. 10 м), а также в центральной, наиболее глубоководной части (ст. 1, 2, 3, 4 гл. 32, 59, 60, 70) (рис. 1). На ст. 6 интервалы отбора сокращались до 2 м. В каждом интервале отбирались пробы воды, одна для определения сероводорода и кислорода методами аналитической химии, а другая герметично для изучения углеводородных газов методом газовой хроматографии. Всего для исследования было отобрано более 100 проб озерной воды из 65 интервальных точек.

Результаты исследования подтвердили высокое содержание сероводорода в озерной воде, при этом в отличие от ранее проведенных исследований сероводород отмечается (0,1 мг/л) и в верхнем, поверхностном слое. Концентрация сероводорода в воде изменялась от 0,1 до 3,8 мг/л. Наиболее низкие значения отмечаются в поверхностном слое, наиболее высокие — в придонном. Экстремальные значения были обнаружены на ст. 1, расположенной в середине озера (рис. 1), с минимумом в поверхностном слое и максимумом — в придонном, на глубине 50 м. Увеличение с глубиной концентрации сероводорода можно наблюдать и на других станциях, при этом начиная с глубины 30 м почти на всех глубоководных станциях концентрация сероводорода увеличивается незначительно. Ход среднего значения сероводорода можно проследить на рис. 2, где выделяются два интервала — 20 и 30 м, на которых про-

исходит резкое увеличение концентрации сероводорода: в интервале 10—20 м — в 6 раз, а на глубине 30 м — в 2 раза.

Концентрация кислорода в озерной воде изменяется от 0 до 11,69 мг/л. Максимум кислорода отмечается на ст. 1 на глубине 10 м,

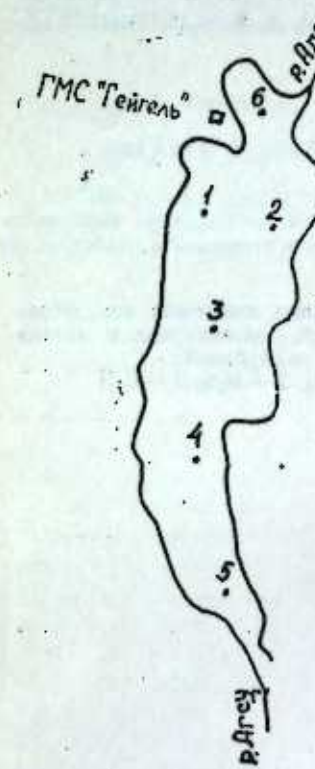


Рис. 1. Озеро Гейтель. Расположение станций отбора проб озерной воды для анализов

на ст. 5 на той же глубине концентрация составляет 11,6 мг/л, а на ст. 6 достигает 10,27 мг/л. Аналогичные максимумы отмечаются и на других станциях на этой же глубине. Начиная с глубины 10 м вверх и вниз по разрезу концентрация кислорода уменьшается, и, как видно на рис. 2, интенсивное уменьшение значений происходит в интервале 10—20 м, где концентрация кислорода снижается с 11 до 3,4 мг/л, т. е. почти в раза. Далее с глубиной концентрация снижается менее резко и достигает своего минимума на глубине в придонном слое.

Концентрация метана, впервые определенная в воде озера, изменилась в пределах от 0,025 до 2,56 мл/л; минимальные значения наблюдаются в поверхностном слое, а максимальные — в придонном. На усредненном графике изменения концентрации метана с глубиной озера (рис. 2) можно, как и в предыдущих случаях, наблюдать резкое увеличение концентрации в интервале 10—20 м с глубины 40 м. В интервалах глубин 0—10 и 20—40 м концентрация метана почти не изменяется. Обращает на себя внимание высокое содержание метана в придонной воде — 2,56 мл/л, которое по своему значению превышает не только среднее значение концентрации метана в Каспийском море ( $10^{-3}$  мл/л), в том числе и над грязевыми вулканами, но и аналогичные концентра-

ции в Черном море, где максимальная концентрация в придонном слое достигала лишь 1,5 мл/л.

Изменение концентраций сероводорода, метана и кислорода с глубиной позволило выявить толщу озерной воды, где происходят наиболее резкие колебания их концентраций. Это интервал 10—20 м, ниже которого концентрации газов изменяются менее резко, а в отдельных слу-

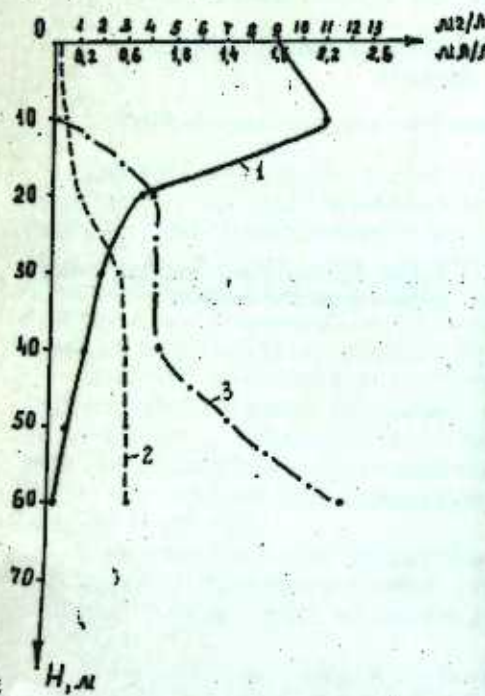


Рис. 2. Графики изменения концентраций кислорода, сероводорода и метана с глубиной:  
1 — O<sub>2</sub>; 2 — H<sub>2</sub>S; 3 — C<sub>4</sub>H

чаях содержание метана почти не изменяется. Это указывает на то, что уровень сероводородного заражения озера, по нашим данным, поднялся и достиг глубины 20 м. Увеличилось абсолютное значение концентрации сероводорода с 2,8 до 3,08 мгл, появился сероводород в верхней 10-метровой толще. Довольно высоки и значения содержания метана, особенно с глубины 40 м. Все это говорит о направленности развития газового режима в сторону увеличения восстановительного потенциала в озере может нарушить экологическое равновесие водной среды озера, следствием чего может быть, например, нарушение биоценоза озера. Требуется тщательное и планомерное изучение газового режима озера для выявления и устранения причин, обусловливающих подобное положение в водной толще озера.

#### Литература

1. Авдеев М. В. Озеро Гек-гель и его окрестности. — Баку: Изд-во АзФАН, 1940.
2. Мехтиев Ш. Ф. Гек-гель. — Баку: Детюниздат, 1955. 3. Митропольский А. Ю. и др. Геохимия Черного моря. — Киев: Наукова думка, 1982.

Р. Э. Қүсейнов, Ч. С. Мурадов, А. А. Дадашев, Р. С. Агаев

#### КЕЙКӨЛҮН ГАЗ РЕЖИМИНИН ТАРАЗЛЫГЫНЫН ДӘЛІШМӘСІ

Мәгәләдә көл сујунун тәркибиңде олан H<sub>2</sub>S, O<sub>2</sub>, CH<sub>4</sub> мигдарларының өзірәнілмәсіндең осының колун газ режиминин дәлішилмәсін бахылыш да изтичеде H<sub>2</sub>S зәйәрдәнмәсінин жұхары миграциясы ашқар едилір.

R. A. Guseinov, Ch. S. Muradov, A. A. Dadashev, R. S. Agaev

#### BALANCE ALTERATION OF THE LAKE GEK-GEL GAS REGIME

In the present article on the ground of H<sub>2</sub>S, O<sub>2</sub> and CH<sub>4</sub> contents in the lake water study alteration of the lake gas regime is considered. In the result of this upwards migration of boundary sulphuretted hydrogen contamination is discovered.

Ш. Б. ГЮЛЬМАМЕДОВ, Т. Б. АБДУЛЛАЕВ, Г. Ш. ШИНДАГОРИДЗЕ

**О НЕОСЕСИММЕТРИЧНОЙ ФОРМЕ ПОТЕРИ УСТОЙЧИВОСТИ  
В ОКРЕСТНОСТИ ЗАПОЛНЕННЫХ ВЕРТИКАЛЬНЫХ  
ЦИЛИНДРИЧЕСКИХ ПОЛОСТЕЙ С УЧЕТОМ  
НЕСЖИМАЕМОСТИ МАТЕРИАЛА СРЕДЫ  
ПРИМЕНЯТЕЛЬНО К ПРОЦЕССУ ГЛУБОКОГО БУРЕНИЯ  
В ГЕОЛОГИЧЕСКИ-ОСЛОЖНЕННЫХ УСЛОВИЯХ**

(Представлено академиком АН Азербайджанской ССР П. П. Гулизаде)

В связи с интенсификацией добычи нефти и газа, а также увеличением глубины бурения глубоких скважин в геологически-осложненных условиях вопросы обеспечения устойчивого состояния равновесия массива в приствольной зоне скважины являются актуальными в геомеханике. При бурении глубоких скважин в силу механических, реологических, физических, геотермических и других процессов, происходящих вокруг ствола скважины, в массиве действуют геостатические силы, обуславливающие появление бокового отпора, а на стеки скважин действует гидростатическое давление, вызываемое промывочной жидкостью. Это давление, называемое противодавлением, в практике используется для поддержания устойчивости приствольной зоны скважины [5, 6]. Поэтому для различных прикладных задач горной и нефтяной механики возникает необходимость учитывать интенсивность действия газа и жидкости. Этот процесс моделируется в виде поверхностной «следящей» нагрузки, а также действия критерия «мертвых» нагрузок.

В настоящей статье исследования выполняются для неосесимметричной формы потери устойчивости заполненных вертикальных цилиндрических полостей аналогично работам [1—5], где дана общая постановка задач устойчивости полостей и разработаны методы их решения в рамках трехмерной линеаризованной теории. Предполагается, что докритические деформации являются малыми и докритическое состояние можно определить по геосимметрической линейной теории, а массив моделируется как линейно-упругое изотропное несжимаемое тело.

Рассмотрим пространственную задачу при неосесимметричной форме потери устойчивости нижнего тяжелого полупространства в окрестности заполненных вертикальных цилиндрических полостей, когда на поверхности полости задана «следующая» или «мертвая» нагрузки. Предполагается, что кроме сил собственного веса с интенсивностью  $q$  и внутреннего давления с интенсивностью «до бесконечности» в горизонтальном направлении соответственно вдоль осей  $ox$  и  $oy$  действуют сжимающие усилия с интенсивностью  $\alpha_1 q$  и  $\alpha_2 q$ . В этом случае компоненты тензора напряжений в однокритическом состоянии можно представить в форме

$$\sigma_{rr}^0 = -q \left( 1 + \frac{\alpha_1 + \alpha_2}{2} \right) \left( 1 - \frac{R^2}{r^2} \right) - q_1 \frac{R^2}{r^2} -$$

$$- q (\alpha_1 - \alpha_2) \left( 1 - 4 \frac{R^2}{r^2} + 3 \frac{R^4}{r^4} \right) \cos 2\varphi,$$

$$\sigma_{r\varphi}^0 = \frac{q}{2} (\alpha_1 - \alpha_2) \left( 1 + 2 \frac{R^2}{r^2} - 3 \frac{R^4}{r^4} \right) \sin 2\varphi, \quad (1)$$

$$\sigma_{zz}^0 = -q \left( 1 - \frac{\alpha_1 + \alpha_2}{2} \right) \left( 1 + \frac{R^2}{r^2} \right) + q_1 \frac{R^2}{r^2} + q \frac{\alpha_1 - \alpha_2}{2} \left( 1 + 3 \frac{R^2}{r^2} \right) \cos 2\varphi,$$

$$\sigma_{z\varphi}^0 = -q,$$

Трехмерные линеаризированные уравнения движения, граничные условия в напряжениях, условия несжимаемости для рассматриваемого варианта теории малых начальных деформаций имеют вид [3]

$$\nabla_1 (\kappa^{11p} + g^{11} p) = 0, \quad (2)$$

$$N_1 (\kappa^{11p} + g^{11} p) + Q (N^1 \nabla_1 u^1 - N^1 g^{11} \nabla_n u^1) = 0, \quad (3)$$

$$\nabla_n u^1 = 0. \quad (4)$$

Так как потеря устойчивости состояния равновесия массива вблизи полостей имеет локальный характер, то

$$(\sigma^{11}, u_r, p)_{r \rightarrow \infty} \rightarrow 0. \quad (5)$$

Построить аналитические решения уравнений (2), (3), (4) и (5) не представляется возможным, поэтому применим для их решения вариационный метод. Основные вариационные уравнения при этом имеют следующий вид:

$$-\int [\nabla_1 (\kappa^{11pn} \nabla_m u_n + g^{11} p) du_i + g^{11} \nabla_1 u_i dp] dV + \int [N_1 (\kappa^{11pn} \nabla_m u_n + g^{11} p) + Q (N^1 \nabla_1 u^1 - N_1 g^{11} \nabla_n u^1)] du_i \cdot dS = 0. \quad (6)$$

В случае задания на поверхности полости «мертвой» нагрузки необходимо в последнем интеграле принять  $Q = 0$ .

В случае неосесимметричной формы потери устойчивости представляем перемещения  $u_i$  и скаляр  $p$  в виде

$$u_i = \sum_{n=1}^N \sum_{m=0}^M \frac{A_{nm}}{r^n} \cos m\varphi \cdot \cos \frac{2\pi}{l} z, \\ v = \sum_{n=2}^N \sum_{m=0}^M \frac{A_{nm}}{r^n} \cos m\varphi \cdot \cos \frac{2\pi}{l} z, \\ w = \sum_{n=2}^N \sum_{m=0}^M \frac{B_{nm}}{r^n} \sin m\varphi \cdot \cos \frac{2\pi}{l} z, \\ p = \sum_{n=2}^N \sum_{m=0}^M \frac{C_{nm}}{r^n} \cos m\varphi \cdot \cos \frac{2\pi}{l} z. \quad (7)$$

Подставляя (7) в вариационное уравнение (6), с учетом докритического напряженного состояния (1) получаем систему линейных однородных алгебраических уравнений в виде

$$\sum_{n=2}^N \sum_{m=0}^M [(a_n - tb_n) A_{nm} + (a_{12} - tb_{12}) B_{nm} + (a_{13} - tb_{13}) C_{nm} + (a_{14} - tb_{13}) D_{nm}] = 0,$$

$$\begin{aligned} \sum_{n=1}^N \sum_{m=0}^M [(a_{21}-tb_{21}) A_{nm} + (a_{22}-tb_{22}) B_{nm} + (a_{23}-tb_{23}) C_{nm} + (a_{24}-tb_{24}) D_{nm}] &= 0, \\ \sum_{n=1}^N \sum_{m=0}^M [(a_{31}-tb_{31}) A_{nm} + (a_{32}-tb_{32}) B_{nm} + (a_{33}-tb_{33}) C_{nm} + (a_{34}-tb_{34}) D_{nm}] &= 0, \\ \sum_{n=2}^N \sum_{m=0}^M [(a_{41}-tb_{41}) A_{nm} + (a_{42}-tb_{42}) B_{nm} + (a_{43}-tb_{43}) C_{nm} + (a_{44}-tb_{44}) D_{nm}] &= 0. \end{aligned} \quad (8)$$

Здесь  $a_{ij}$  и  $b_{ij}$ —известные алгебраической громоздкостью выражения, поэтому они не приводятся:

$$\begin{aligned} a_{ij} &= a_{ij}(n, m, \rho, \xi, \eta), \\ b_{ij} &= b_{ij}(n, m, \rho, \xi, \eta). \end{aligned}$$

Введем обозначения:

$$C = \frac{\alpha_1}{\alpha_2}; \quad \alpha = \frac{\pi}{2} \frac{R}{l}; \quad \xi = 0.5 \alpha_2 (1 + C); \quad \eta = 0.5 \alpha_2 (1 - C);$$

$$t = \frac{q}{2}; \quad \rho = \frac{q'}{q}; \quad \nu = \frac{E}{2(1+\nu)}.$$

Из условия существования нетривиальных решений системы (8) получаем характеристическое уравнение при произвольном числе координатных функций для определения значения критической нагрузки, которое сокращенно напишем в виде

$$\Delta(t, \alpha, \rho, \xi, \eta, N, M) = 0,$$

где  $t$ —параметр нагружения;  $\alpha$ —параметр волнообразования;  $\rho$ ,  $\xi$ ,  $N$ ,  $M$ —различные коэффициенты, учитывающие поведение горных пород в геологически-осложненных условиях.

В результате решения этого уравнения находим зависимость

$$t_{kp} = \Delta, \alpha, \rho, \xi, \eta, N, M.$$

Для определения корней были использованы численные методы с помощью ЭВМ. Численные значения величины критической нагрузки  $t_{kp}$  в случае  $\alpha_1 = \alpha_2 = -1$  для различных координат приведены в таблице. Эти результаты минимизированы по параметру волнообразования  $\alpha$  и получены при различном числе членов ряда аппроксимирующих функций. В таблице верхние строки соответствуют «следящим» нагрузкам, а нижние строки — «мертвым». Полученные результаты показывают, что при потере устойчивости тяжелого полуостранства в окрестности вертикальной цилиндрической полости критические значения параметра нагружения при «следящих» поверхностных нагрузках больше, чем в случае «мертвых». В случае  $\rho' = 0.4$  значения критических усилий при задании на поверхности полостей соответственно «мертвых» и «следящих» нагрузок увеличиваются на 0,35—4,5 и 0,87—5,2% по сравнению со случаем, когда  $\rho = 0$ .

Полученные числовые значения позволяют сделать вывод о том, что при влиянии на смятие обсадных труб всех рассмотренных критерии

геологических осложнений в процессе глубокого бурения для уточнения значения параметра нагружения надо исследовать неосесимметричные формы потери устойчивости.

	0,0	0,1	0,2	0,3	0,4
1,8	0,4395	0,4467	0,4541	0,4628	0,4689
2,0	0,4387	0,4453	0,4524	0,4603	0,4678
2,2	0,4390	0,4445	0,4513	0,4589	0,4664
2,4	0,4404	0,4449	0,4517	0,4588	0,4651
2,6	0,4425	0,4461	0,4539	0,4592	0,4641
2,8	0,4453	0,4477	0,4551	0,4601	0,4647
3,0	0,4477	0,4489	0,4567	0,4613	0,4650
3,2	0,4507	0,4533	0,4581	0,4631	0,4653
3,4	0,4536	0,4557	0,4597	0,4647	0,4638
3,6	0,4563	0,4579	0,4609	0,4661	0,4649
3,8	0,4590	0,4612	0,4623	0,4675	0,4698
0,8	0,4577	0,4629	0,4701	0,4824	0,4829
0,9	0,4519	0,4612	0,4692	0,4789	0,4799
1,0	0,4501	0,4597	0,4680	0,4763	0,4786
1,1	0,4543	0,4588	0,4661	0,4742	0,4779
1,2	0,4483	0,4572	0,4649	0,4725	0,4763
1,3	0,4466	0,4569	0,4638	0,4710	0,4755
1,4	0,4449	0,4551	0,4629	0,4696	0,4745
1,5	0,4433	0,4533	0,4612	0,4682	0,4737
1,6	0,4416	0,4518	0,4593	0,4671	0,4729
1,7	0,4403	0,4497	0,4587	0,5660	0,4720
1,8	0,4396	0,4789	0,4579	0,4652	0,4708
1,9	0,4389	0,4477	0,4567	0,4648	0,4699
2,0	0,4386	0,4474	0,4558	0,4642	0,4697
2,1	0,4388	0,4476	0,4563	0,4643	0,4690
2,2	0,4391	0,4481	0,4567	0,4644	0,4688
2,3	0,4396	0,4493	0,4576	0,4646	0,4691

#### Литература

1. Акопян Ж. С., Гузь А. Н., Навоян А. В. О построении теории устойчивости горных выработок. — Прикл. мех., 1982, 18, 5, с. 3—22.
2. Гузь А. Н. Основы теории устойчивости горных выработок. — Киев: Наукова думка, 1977.
3. Гузь А. Н. О задачах устойчивости горных выработок. — Докл. АН СССР, 1980, т. 253, № 3, 553—555.
4. Гузь А. Н., Бабич И. Ю. Пространственные задачи теории упругости и пластичности. — Киев: Наукова думка, 1985, т. 4, 5.
5. Гузь А. Н., Кулев Г. Г. Устойчивость бурящихся скважин. — Прикл. мех., 1983, 19.
6. Кулев Г. Г., Гюльмамедов Ш. Б. Устойчивость стенок скважин с учетом несжимаемости материала среды. — Докл. АН АзССР, 1984, № 1.

Поступило 5. IV 1988

Ш. Б. Кулмамедов, Г. Б. Абдулаев, К. Ш. Шиндагоридзе

дэрин гүуларын кеоложи-мүрөккәб шәрайтдә газылмасында мүнити нэээрэ алмагла гүү диварларынын дајаныглығынын ГЕРИ-СИММЕТРИК ШЭКИЛДӘ ҮЭЛЛИ

Могаләдә хәттиләшдирилмиш учелчүлү дајаныглыг изоријәсндиң истифада етмәк ло газма замана гүү диварларынын дајаныглыгы еженилмишdir.

Ријази несаблама жолу илэ гүү дахилиндә олан мајенни сөтө олан тә'сир иштән «изләүчі» гүввә хими өзүнү кестәрмәкә дајаныглығының фаза формада охасимметрик итириләсәнине бахымыр да кестәрлири ки, дахили гүввәнин гијмети артыр, бу гијмет да дајаныглығының артмасына тә'сир кестәрлир. Бу иетичеләр гүү лүләсеннин лајиһе несабатында истифада олуна билор.

шабалыды, чәмән-боз шоракетли-шоранлы торпаглар дахилдир; иккинчи група орта да-  
речеда карбонатлашмыш боз-гәһәзи, чәмән-боз, шоракетли-шоранлы за шоран торпаг-  
лар андидир; учунчү груп зәнф карбонаты ( $1-7\% \text{ CaCO}_3$ ) торпаглара боз-чәмән га-  
димдән суварылса, боз-чәмән шоракетли-шоранлы, баталы-чамән шоранвари торпаг-  
лар андидир. Сэттә грунт сулары яхыны олан яерләрдә ганунаујугүн олараг торпагда кар-  
бонатлар аз олур ки, бу да торпагларын нидротермик режимни ило бағылғы олур.

Sh. B. Gyulmamedov, T. B. Abdullayev, G. Sh. Shindagoridze

ON NON-AXIAL SYMMETRIC FORM OF LOSS OF STABILITY IN THE VICINITY  
OF FILLED VERTICAL CYLINDRICAL CAVITIES SUBJECT TO INCOMPRESSIBILITY  
OF THE MEDIUM MATERIAL APPLIED TO THE DEEPWELL  
DRILLING PROCESS UNDER COMPLICATED GEOLOGICAL CONDITIONS

The article deals with the spatial problem on the non-axial symmetric form of loss of stability of the lower heavy half-space in case the so-called "dynamic" or "static" load on the cavity surface are specified. This problem is studied with regard to the questions of deep oil and gas wells casing off under complicated geological conditions.

The mathematical calculations carried out show that with the stability loss of heavy half-space in the vicinity of vertical cylindrical cavity the critical values of loading parameters with "dynamic" surface loads are greater than those with "static" loads.

The results of the study can be used in calculating the deep wells casing off under complicated geological conditions.

АЗЭРБАЙЧАН ССР ЕЛМЛӘР АКАДЕМИЈАСЫНЫН МӘРҮЗӘЛӘРИ

ДОКЛАДЫ АКАДЕМИИ НАУК АЗЕРБАЙДЖАНСКОЙ ССР

ТОМ XLV ЧИЛД

№ 1

1989

УДК 553.98(479.24):551.24

НЕОТЕКТОНИКА

О. Д. ГУСЕИН-ЗАДЕ, З. Э. МАМЕДОВА, И. И. БАБАЕВ, Р. И. ЯГУБ-ЗАДЕ

ЭФФЕКТИВНОСТЬ ИССЛЕДОВАНИЯ КОЛЕБАНИЯ  
УРОВНЯ КАСПИЯ В УСЛОВИЯХ ОСВОЕНИЯ  
МОРСКИХ НЕФТЯНЫХ МЕСТОРОЖДЕНИЙ

(Представлено академиком АН Азербайджанской ССР Э. Ш. Шихалибейли)

Разработка долговременной программы освоения минерально-сырьевых богатств Каспия в условиях планомерного развития социалистического хозяйства вызывает острую необходимость в прогнозировании колебания уровня моря на длительные сроки. Значимость решения данной проблемы особо возрастает в связи с открытием и вводом в промышленную разработку все новых и новых высокоперспективных нефтегазовых месторождений на акватории Каспия. Она создает необходимые предпосылки и для усовершенствования конструкций ныне применяемых морских нефтяных сооружений с учетом колебания уровня Каспия, что, несомненно, обеспечит их долговечность при различных режимах бассейна.

Не менее важной задачей становится и выбор основных направлений инженерно-геологического районирования на обширной территории прибрежной полосы, где предусматривается дальнейшее размещение жилищно-бытовых и промышленных объектов. С другой стороны, следует учесть и сохранность прибрежных хозяйств от разрушительных действий морского волнения.

Приведенный неполный перечень задач, вытекающих из проблемы колебания уровня моря, свидетельствует об актуальности исследуемой проблемы и сегодня.

Из опубликованных материалов [1—4] видно, что взгляды исследователей на природу колебания уровня моря были совершенно различными. Такая неоднозначность, на наш взгляд, прежде всего объясняется узковедомственными и узкоспециальными подходами отдельных исследователей к рассматриваемой проблеме, в связи с чем дискуссия по проблеме Каспия продолжается по настоящее время. Серьезным недостатком проводимых исследований является недооценка роли тектонических движений в урегулировании колебаний уровня и определении его характера во времени. Однако подход к проблеме водного баланса Каспия порой приводит к осуществлению таких инженерных мероприятий, которые существенно сказываются и на экологии окружающей среды.

Известно, что бассейн Каспия представляет собой своего рода водозабор, где обмен водной массы в определенной мере устанавливается его уровнем.

Динамика водного баланса бассейна включает в себя ряд параметров, к которым относятся суммарный речной сток в море, атмосферные осадки, объем подземного стока и испарение. При этом баланс моря

определяется как разность между приходной и расходной частями водной массы с соответствующим знаком. Иначе говоря, уровень моря становится как бы функцией водного баланса.

На основе анализа указанных параметров водного баланса и его динамики в течение более 150 лет (1830—1982 гг.) установлено, что уровень моря за это время был непостоянным. При этом удается выделить два этапа, отличающихся друг от друга направленностью смещения. К первому относится интервал времени с 1830 по 1977 гг., когда уровень моря продолжал падать и достиг своего максимального числового значения — 29,00 м.

Второй этап начинается с 1978 г. и длится по настоящее время. Для данного этапа свойственным становится поднятие уровня моря. Гипсометрическая отметка уровня моря на январь 1982 г. составляет — 28,25 м.

Весьма интересным является гармонический характер колебания уровня, который выражается пульсацией движений с амплитудой порядка 70—75 см/год. Четко выделяется ритмичность легко улавливаемой периодической повторяемости поднятий и опусканий на фоне определенной направленности движения за тот или иной период времени. Частота повторяемости ритмов при этом в большей части устанавливается в интервале 11—17 лет.

При решении проблемы колебания уровня моря во времени большое значение придавалось сопоставлению данных прихода и расхода водного баланса. Оказалось, что при положительном значении водного баланса иногда, наоборот, наблюдается опускание уровня моря. Так, в 1985 г. при приходе 411,5 и расходе 371,3 м<sup>3</sup> воды произошло опускание уровня моря на 70 мм. В 1912 г., когда приход стал на 24,6 м<sup>3</sup> меньше, чем расход воды, наоборот, произошел подъем уровня моря на 10 мм.

Если вычислить распределение разности баланса (40,3 м<sup>3</sup>) на общую площадь Каспия (368 тыс. кв. км), то в каждую ее точку приходящаяся доля опускания составляет порядка — 0,1 мм против указанной величины (70 мм). А между тем среднегодовая скорость проявления тектонических движений за период 1830—1985 гг. определена 22,6 мм/год. Следовательно, влияние изменения водного баланса на колебание уровня совсем незначительно.

Причина указанной аномалии водного баланса служит доказательством тому, что колебание уровня нельзя всецело увязывать с изменениями водного баланса. Здесь необходимо учесть и другие геологические факторы, среди которых, безусловно, важное место занимает проявление современных движений земной коры (СДЗК). Немаловажны являются и другие факторы, влияющие на колебание уровня Каспия. Сюда можно отнести частые случаи извержения грязевых вулканов, сопровождаемых образованием подводных и надводных островков.

Изменения уровня моря приводят к активизации морского волнения и разрушению береговых очертаний.

Анализ результатов повторных геодезических нивелировок по реферам и футштокам, размещенным вдоль прибрежной полосы Каспия, показывает, что за 60 лет (1912—1972 гг.) как прибрежная полоса (реферы на Храме огнепоклонников в Сурханах и на здании Сабунчинского вокзала), так и уровень моря опустились на 2,5 м. Отсюда следует, что роль современных движений в регулировании уровня Каспия велика. И поэтому одна из основных задач в изучении колебания уровня моря заключается в установлении взаимосвязи водного баланса с

особенностями проявления современных движений во времени. Лишь комплексный подход к решению проблемы окажется более правильным для решения поставленной задачи.

Уровень Каспия в 1977 г. стал почти — 29,00 м, т. е. он оказался самым минимальным за весь период наблюдения, насчитывающий свыше 150 лет (рис. 1).

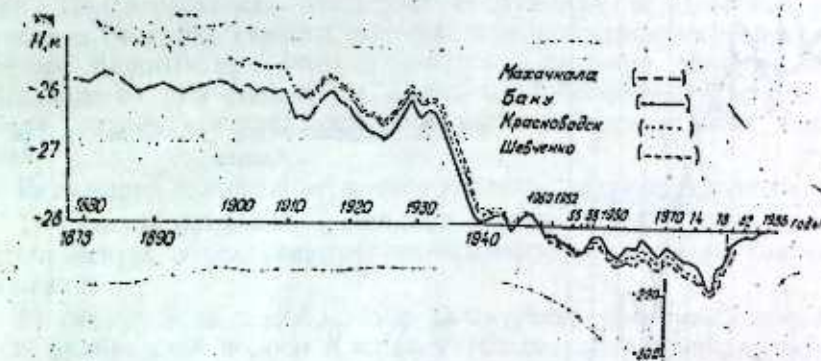


Рис. 1. Колебание уровня Каспия за период 1878—1986 гг.

Начиная с 1977 г. уровень Каспия стал подниматься, хотя расход превышал приходную часть на 117,76 м<sup>3</sup> воды.

Что касается кратковременных поднятий уровня, то это обстоятельство, как справедливо указывает Э. Ш. Шихалибейли, объясняется лишь цикличностью проявления современных движений земной коры во времени на фоне продолжающегося длительного падения.

Сейчас на основе математического моделирования разработаны различные эмпирические формулы, позволяющие как бы прогнозировать колебания уровня моря на период до 2000 г. Предполагается, что гипсометрическая отметка уровня моря изменится от — 28,00 до — 30,95 м, причем в зависимости от климатических условий, т. е. от объема приходной части водного баланса Каспия. Здесь вновь упускается из виду влияние современных движений земной коры на колебания уровня моря. С другой стороны, такая математизация вряд ли сможет обуздить природу и ее капризы при множестве факторов и их разнообразии.

Каспийское море в народе недаром называют бушующим. Это объясняется не только морскими волнами, но и течениями. Вдоль западного побережья Каспия с севера на юг наблюдается постоянное течение, возникновение которого, скорее всего, связано с разницей гипсометрических положений северной и южной «чаш» Каспия. Данное течение играет существенную роль в поглощении ударной силы морских волн, ограничивая сферу их действия.

Исходя из общих региональных соображений, можно предположить, что уровень моря еще долгое время будет сохранять общую тенденцию к опусканию с периодическими проявлениями кратковременных подъемов. Такой, собственно говоря, вывод исходит из того, что тектоническое развитие Каспийской впадины в целом испытывает опускание, и в ближайшие годы, например, до 2000 г. и далее в течение XXI в., вряд ли можно ожидать наступления инверсии.

Однако кратковременные подъемы уровня моря можно связать прежде всего с изменениями амплитуд периодичности современных дви-

жений земной коры, которые порой могут достигать 75 см. Такая цифра, конечно, внушительна для уровня моря и сохранения его прибрежных очертаний (рис. 2).

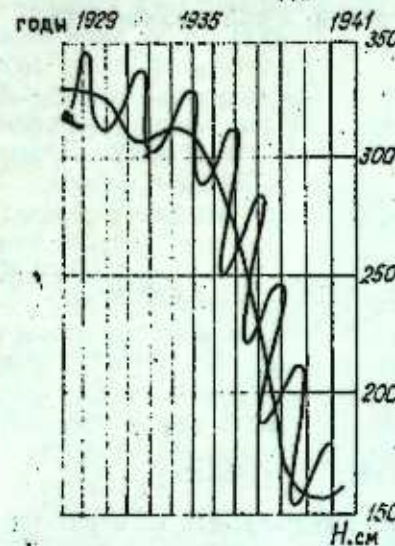


Рис. 2. Гармоническое колебание уровня Каспия

В связи с раскрытием широкой возможности использования свойств СДЗК при решении тех или иных народнохозяйственных проблем неотложной задачей на сегодняшний день становится оптимизация сроков повторных нивелировок. Она требует выработки научно обоснованных критерииев.

Исходя из изложенного, нами разработаны критерии оптимизации сроков повторных нивелировок для отдельных регионов альпийского орогенного пояса, куда и входит прибрежная часть Каспия. При этом мы исходили из характера пространственной дифференциации СДЗК и сейсмичности по интенсивности их проявления, а также учитывали степень народнохозяйственной значимости территории. Для прибрежной части Каспия нами рекомендуется осуществление повторных нивелировок через каждые 10 лет. Определение того или иного срока повторных нивелировок в известной мере обусловливается прогнозом колебания уровня, сложностью технологии производства полевых инструментальных измерений и размерами затрат государственных средств.

Проведенные нами исследования показывают, что для стабилизации уровня Каспия помимо учета тектонических особенностей развития на современном этапе возникает необходимость в разработке комплекса инженерно-геологических мероприятий по урегулированию приходной и расходной частей баланса. Поскольку нефтегазовые месторождения главным образом сосредоточены в пределах Южно-Каспийской впадины, то целесообразно сооружение здесь специальных прибрежных ловушек для сбора излишков воды при подъеме уровня для его стабилизации.

Выбор месторасположения ловушек и проектирования их с учетом различных параметров геологических особенностей местности в каждом отдельном случае, безусловно, требуют индивидуального подхода с осуществлением дополнительных исследований, главным образом ниже-

шерно-геологических. Такая постановка задачи прежде всего исходит из того, что ныне применяемые берегоукрепительные инженерные сооружения (дамбы, стены и т. д.) для защиты размещенных в прибрежной полосе социально-бытовых и промышленных объектов от разрушительных действий морского волнения и заглатывания обходятся значительными затратами материальных средств, оказываясь порой недолговечными. Недолговечность защитных сооружений в известной степени зависит и от интенсивности подмыва прибрежной зоны морскими волнениями. Важным при этом становится и решение главного вопроса, связанного со строительством ловушек с обеспечением стабилизации уровня моря в условиях освоения морских нефтегазовых месторождений.

Резюмируя изложенное, можно сделать следующие выводы:

- 1) главной причиной колебания уровня Каспия следует считать тектоническую, обусловленную проявлениями исходящих современных движений;
- 2) считается целесообразным выполнение повторных нивелировок вдоль прибрежной полосы Каспия путем создания специального геодинамического полигона и осуществления по нему предусмотренной программы сейсмотектонических исследований;
- 3) из-за незначительности изменения водного баланса во времени его величины оказались несущественными для урегулирования колебания уровня Каспия.

#### Литература

1. Мамедов Т. А., Гусейн-заде О. Д., Ященко В. Р. Проблема падения уровня Каспийского моря. — Докл. АН АзССР, 1976, № 4, с. 18—24. 2. Мамедов Т. А., Гусейн-заде О. Д., Джалилов Т. И. Исследуется проблема Каспия. — Элм ве хаят, 1976, № 1, с. 12—16. 3. Изотов А. А. Некоторые выводы из повторных нивелиров по западному побережью Каспийского моря. — Сб. науч.-техн. и производств. статей ГУГК. М.: Геодезиздат, 1949, вып. 27, с. 63—71. 4. Шлепин Н. И. Эпигенетические колебания в Закавказье и уровней морей Черного и Каспийского. — Изв. АН АзССР, 1947, № 2, с. 26—34.

АзИНЕФТЕХИМ им. М. Азизбекова

Поступило 24. V 1988

С. Ч. Һүсейнзадә, З. Е. Мәммәдова, Н. И. Бабаев, Р. И. Ягубзадә

ДӘНИЗ-НЕФТ ІАТАГЛАРЫНЫН ИШЛӘНИЛМӘ ШӘРЛӘТИНДӘ ХӘЗӘР  
СӘВИЙЈЕСИ ДӘЖИШМӘЛӘРИНИН ТӘДГИГ ЕДИЛМӘСИНИН  
СӘМӘРӘСИ

Мәгаләдә Хәзәр дәнизи сәвијјесинин заман кечдиңе дајишмәләри проблеминиң һалып дәғүг қөдезик-өлчим мә'лumatларынын әзәрдүрүлмасына, су балансы динамикасының иәзәрдән кечирilmәсеннөң неотектоник шәрләтиләр бөрпә едилмәсеннөң асасланыры.

Тәдгигетлар иәтичесинде мүәյҗид едилмәншидир ки, Хәзәр дәнизи сәвијјесинин дајишмәләри мүасир тектоник һәрәкәтләрин баш вермәси илә элагәрдәрдәр. Гыса мүддәттән бир-бири илә нефбәләшән галхмалар па өнимәләр мәһә бу һәрәкәтләрни хассасләрни экс-етдирир. Диңар тарафдан, көстәрмәк лазымдыр ки, су балансы динамикасынын Хәзәр дәнизине сәвијјесине тә'сирни тектоник һәрәкәтләрни интенсивләүли фонунда сон дәрәчә бисс едилмәзdir.

Хәзәр дәнизи сәвијјесинин сабитлијини сахламаг учын онун Чәнуб чөкәклиji сабында хүсуси «сүтәләләринин» ярадылмасы мөсләнәт көрүлур. Бела ки, «сүтәләләринин» орада ярадылмасы һөвзәнин һомин сабында нефт вә газ ятагларының көнши жајылмасы илә элагәрдәрдәр.

**THE CASPIAN VIBRATIONAL LEVEL RESEARCH IN THE  
CONDITIONS OF MASTERING THE MARINE OIL DEPOSITS**

The Caspian problem in connection with permanent programme exploitation of mastering the mineral products of Basin resources is considered in the article.

An attempt to explain sea level change by the water balance parameter calculation and its dynamics for the latest 150 years is made. The conclusions about the reason of Caspian level changes combined with tectonic movements are drawn on the base of conducted investigations. To create the inshore traps for gathering surplus waters during the Caspian level raising in the south Caspian basin limit is proposed.

Чл.-корр. АН АзССР А. Г. КАСЫМОВ, А. Р. ХАЛИЛОВ

**МНОГОЛЕТИЕ ИЗМЕНЕНИЯ ДОННОЙ ФАУНЫ  
МИНГЕЧАУРСКОГО ВОДОХРАНИЛИЩА**

Мингечаурское водохранилище построено на р. Кура. За время его существования самый низкий уровень воды наблюдался в 1962 г. (69,98 м), что связано с маловодностью р. Куры. В 1973 и 1987 гг. был отмечен самый высокий уровень воды — 80,74 м (таблица).

Изменение уровня, площади, средней и общей биомассы зообентоса  
в Мингечаурском водохранилище в 1956—1987 гг.

Годы	Уровень воды, м	Площадь, км <sup>2</sup>	Биомасса бентоса, г/м <sup>2</sup>	Биомасса зообентоса по всему вод хр., т	
				1	2
1956	77,60	505	4,298	2170,490	
1957	78,19	505	5,425	2739,625	
1958	78,09	505	5,451	2752,755	
1959	80,35	562	7,147	4016,614	
1960	79,72	505	4,446	2245,230	
1961	71,96	450	8,090	3640,500	
1962	69,98	450	14,717	6622,650	
1963	77,30	505	15,233	7692,665	
1964	79,63	505	10,157	5129,285	
1965	80,06	562	18,483	10387,446	
1966	77,88	505	8,185	4133,425	
1967	75,69	505	7,186	3628,930	
1968	79,90	505	7,125	3598,125	
1969	78,69	505	8,337	4210,185	
1970	75,40	505	3,998	2018,990	
1971	76,67	505	10,862	5485,310	
1972	78,71	505	12,090	6105,450	
1973	80,74	562	14,170	7963,540	
1974	80,09	562	16,650	9357,300	
1975	79,68	505	16,860	8009,300	
1976	79,76	505	23,400	11817,000	
1977	78,76	505	21,320	10776,600	
1978	79,51	505	16,200	8181,000	
1979	74,71	450	17,830		
1980	75,48	505	16,280	8023,500	
1981	78,08	505	19,200	8321,400	
1982	79,95	505	—	9696,000	
1983	78,84	505	8,630	8408,250	
1984	79,61	505	7,860	4206,650	
1985	76,70	505	6,120	3969,300	
1986	74,10	450	4,550	3090,600	
1987	80,74	562	5,210	2047,500	
				2928,020	

Наполнение Мингечаурского водохранилища и подъем его уровня завершается в июне-июле, иногда в августе. В дальнейшем происходит постепенное понижение его уровня и продолжается до начала следую-

щего половодья. Воды водохранилища используются для сохранения водного режима нижней Куры, орошения сельхозкультур и водоснабжения населенных пунктов и городов. Из Мингечаурского водохранилища выходят два крупных водозаборных канала — Верхне-Ширванский и Верхне-Карабахский, воды которых используются для орошения хлопковых полей и виноградных плантаций.

Изменение уровня режима Мингечаурского водохранилища оказывает большое влияние на продуктивность его бентических животных.

За период исследования Мингечаурского водохранилища (1956—1987 гг.) в нем найдены 82 вида и формы донных животных, в том числе в верхнем участке — 28, среднем — 18, нижнем — 16 и Ханабадском — 32 вида.

По числу видов преобладают личинки хирономид (28,8%), далее следуют олигохеты (8,8%) и клопы (7,5%). Наибольшее разнообразие форм (23) личинок хирономид отмечено на глубине 0—10 м, а на глубине 20—30 м найдено всего 2 формы (1, 2). Высокие показатели биомассы ( $4,0 \text{ м}^2$ ) зообентоса установлены в верхнем участке на глубине 46 м. Здесь на илистом биотопе по биомассе доминируют олигохеты и личинки хирономид. Самая низкая биомасса бентоса ( $0,02—0,62 \text{ г}/\text{м}^2$ ) отмечена на песчаном биотопе прибрежной зоны. В прибрежных зонах и небольших заливах главную роль играют мизиды и бокоплавы. Биомасса бокоплавов колебалась от 0,20 до  $4,8 \text{ г}/\text{м}^2$ , а мизид — от 0,30 до  $6,85 \text{ г}/\text{м}^2$ .

В 1986—1987 гг. в Мингечаурском водохранилище было найдено всего 62 вида и формы донных животных, среди которых по числу видов первое место занимают личинки хирономид (28,5%), второе место — олигохеты (11,1%). В 1986 г. максимальная биомасса ( $8,12 \text{ г}/\text{м}^2$ ) олигохет была отмечена в нижнем участке, в 5 км от плотины, на глубине 56 м. Основу продуктивности зообентоса составляют олигохеты и личинки хирономид. Для значительного развития олигохет характерна глубина свыше 30 м, а на глубине 0—15 м в период полного наполнения водохранилища они почти отсутствуют. Наибольшая биомасса их отмечалась в 1953 г. ( $9,84 \text{ г}/\text{м}^2$ ), наименьшая — в 1986 г. ( $2,58 \text{ г}/\text{м}^2$ ).

Личинки хирономид наиболее высокую плотность имеют главным образом на глубине 10—20 м ( $670 \text{ экз}/\text{м}^2$ ;  $0,582 \text{ г}/\text{м}^2$ ).

Видовой состав хирономид наиболее разнообразен в середине лета, их биомасса в прибрежной зоне водохранилища летом 1987 г. была  $3,2 \text{ г}/\text{м}^2$ . Высокая численность ( $2540 \text{ экз}/\text{м}^2$ ) и биомасса ( $2,645 \text{ г}/\text{м}^2$ ) хирономид наблюдалась весной. Среди личинок хирономид по численности и биомассе доминирует *Procladius ferrugineus*, который составляет около 55% всех хирономид по биомассе. Второе место занимает *Harnischia burganadzeae*, который дает 3 генерации в год. Оба вида преобладают ранней весной, летом и осенью, когда биомасса их достигает  $1,43 \text{ г}/\text{м}^2$ . Эти виды распространены по всей площади водохранилища с илистым грунтом.

Общая биомасса бентоса в 1980 г. была  $16,8 \text{ г}/\text{м}^2$ , при численности 5087 экз/ $\text{м}^2$ ; в 1986 г. — соответственно  $4,55 \text{ г}/\text{м}^2$  и 3346 экз/ $\text{м}^2$ ; а в 1987 г. —  $5,21 \text{ г}/\text{м}^2$  и 3066 экз/ $\text{м}^2$  (таблица). Эти данные говорят о том, что после строительства Шамхорского водохранилища происходит снижение биомассы донных животных в Мингечаурском водохранилище. Это можно объяснить в основном задержанием большей части биоген-

ных элементов и взвешенных веществ в Шамхорском водохранилище. В период полного наполнения Мингечаурского водохранилища биомасса его уменьшается. Увеличение видового состава зообентоса тесно связано с затоплением осушной зоны и мелких заливов водохранилища, где имеются разнообразные биотопы с богатой фауной бентических организмов.

Из общего количества зообентоса 112 т находится в глубинных частях водохранилища, что не используется его потребителями. По нашим подсчетам около 3 тыс. т зообентоса потребляется рыбами. На основании этих данных можно сказать, что в Мингечаурском водохранилище за счет бентических организмов можно получить около 9700 ц рыбы в год.

#### Литература

1. Қасымов А. Г. Гидрофауна нижней Куры и Мингечаурского водохранилища. — Баку: Изд-во АН АзССР, 1965. 2. Халилов А. Р. Биология озер и водохранилищ Азербайджана. — Баку: Элм, 1980, с. 4—12

Каспийская биологическая станция  
Института зоологии АН АзССР

Поступило 18. I 1988

Ә. Һ. Қасымов, Э. Р. Ҳалилов

#### МИНГЧЕВИР СУ АНБАРЫНЫН ДИБ ФЛАУНАСЫНЫН ЧОХИЛЛИК ДЭЛИШМЭСИ

Мингачевир су анбарында сујун минимал савијїсі 1962-чи илдә ( $69,98 \text{ м}$ ) вә әнжүк савијїсі 1987-чи илдә ( $80,74 \text{ м}$ ) олмушадур. Бентик һөјвандарын зәңғи никишафы 1970-чи илдә ( $3,998 \text{ г}/\text{м}^2$ ) вә јүксек никишафы 1976-чи илдә ( $23,4 \text{ г}/\text{м}^2$ ) гејд едилмішидір.

Шамхор су анбарынын тиқиңтисіндән соңра Мингачевир су анбарында бентик һөјвандарын азалмасы мүшәніде едиліп.

А. Г. Қасымов, А. Р. Ҳалилов

#### LONG-TERM CHANGES OF ZOOBENTHOS IN THE MINGECHAUR WATER RESERVOIR

The weak development of bottom-dwelling animals ( $3.998 \text{ g}/\text{m}^2$ ) was noted in 1970 the considerable growth in 1976 being  $23.4 \text{ g}/\text{m}^2$ . In connection with construction of the reservoir decrease in the productivity of benthic animals in the Mingechaur water reservoir takes place.

Чл.-корр. АН АзССР А. И. ГЮЛЬХМЕДОВ, Р. Г. МАМЕДОВ, А. М. КАРАЛОВ

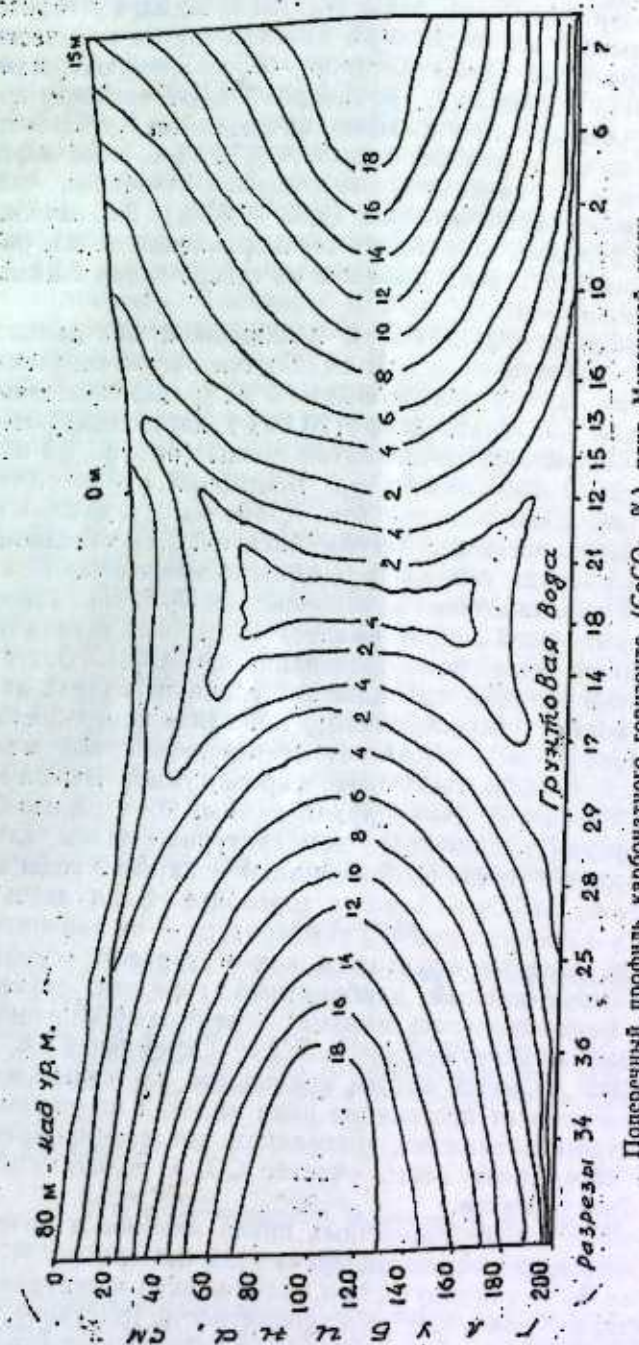
## КАРБОНАТНЫЙ ПРОФИЛЬ ПОЧВ МУГАНСКОЙ СТЕПИ

Карбонатность является одним из основных генетических признаков для определения типа почв и их эволюции. Тем самым карбонатность носит зональный характер и является одним из самых ярких представителей энергетики почвообразования. Формирование иллювиального карбонатного горизонта, его мощность и фигурные воображения как новообразования строго подчинены гидротермическому режиму и возрасту зональных почвенных типов. Практическое значение изучения карбонатности важно для проведения самомелиорации почв и районирования сельскохозяйственных культур, оно также необходимо для повышения буферности и плодородия почв.

Карбонатность почв Муганской степи в зависимости от температурного и водного режимов, геоморфологических и гидрогеологических условий, их типы, подтипы и разновидности как количественно, так и по формированию их иллювиального горизонта характеризуются по-разному. Здесь также нельзя не отметить роль механического состава почв, как регулирующего фактора внутренних почвенных стоков. Об этом нами было отмечено и раньше [3, 4]. Приведенные нами исследования показали, что зональный характер формирования карбонатного горизонта и присущая ему характерная особенность в зависимости от местных — геоморфологических и гидрогеологических — условий нарушаются и преобретают региональную закономерность. Муганская степь с геоморфологической точки зрения напоминает вогнутые лодки с северо-запада на юго-восток в направлении, раскрывающемся к Каспийскому морю, что тем самым и определяет гидрогеологические условия региона [1]. Следовательно, самое близкое к поверхности залегание (до 1 м) грунтовых вод находится в его центральной вогнутой части, где почвы характеризуются самым низким содержанием карбонатов ( $\text{CaCO}_3$ ) и недоразвитостью их иллювиального горизонта, что можно объяснить влиянием постоянного грунтового увлажнения почвенного профиля, обуславливающего их вымывание и декарбонизацию. Но при удалении от центрального, пониженного, участка к повышенным, юго-западным, (предгорным) и в северо-восточном направлении существенно увеличивается карбонатность, и наблюдается четкое формирование их иллювиального горизонта. Для иллюстрации сказанного на основе заложенных разрезов нами составлен график поперечного разреза карбонатного горизонта Муганской степи при общем простирании с севера до его оконечности (рисунок; высота над ур. м. показана в масштабе 1:4000; цифры на кривых показывают процентное ( $\text{CaCO}_3$ )).

Содержание карбонатов в направлении от сухих гидрорядов к более влажным уменьшается, т. е. обнаруживается последовательно увеличивающаяся вышелоченность почв от углекальциевых солей [2]. Так, в

зависимости от указанных природных компонентов карбонатность почв Муганской степи по профилю изменяется в довольно широких пределах — от 1,09 до 20,14%, что указывает на различную степень их карбонатности.

Поперечный профиль карбонатного горизонта ( $\text{CaCO}_3$ , %) почв Муганской степи

Наибольшей карбонатностью характеризуются каштановые и лугово-сероземные солонцевато-солончаковые почвы, которые расположены на возвышенной предгорной части региона и межконусов рр. Бол-

Болгарчай и Аракс, отличающихся древним возрастом формирования карбонатного иллювиального горизонта. В каштановых почвах (раз. 34) наибольшее количество карбонатов обнаружено в средней части профиля в виде крупной белоглазки, пятен и конкреций: в иллювиальном горизонте  $B_1$  содержание карбонатов составило 20,05, а в горизонте  $C$  — 17,6%, что указывает на постепенное уменьшение их количества с глубиной. Но в горизонтах  $C_2$ ,  $C_3$ ,  $C_4$  (105—195 см) их содержание вновь возрастает (от 14,3 до 18,05%), что говорит о карбонатности почвообразующих пород. Аналогичная картина наблюдалась у серокоричневых почв (раз. 36) по глубине карбонатности (17,23%). Но в верхнем метровом горизонте по сравнению с каштановыми почвами содержание карбонатов ( $\text{CaCO}_3$ ) незначительно (4,35—9,05%). Это можно связать с экспозициями рельефа, на которых серокоричневые почвы расположены в его возвышенной части с уклоном на северо-запад с иными гидротермическими режимами.

При опускании от предгорий к пониженней, центральной, части Мугани охарактеризованные почвы сменяются лугово-сероземными, сероземно-луговыми и болотно-луговыми и их разновидностями. Среди этих почв высокой карбонатностью (20,14%) характеризуются лугово-сероземные солонцевато-солончаковые почвы (раз. 38, 39 на целине), распространенные в межконусах рр. Болгарчай и Аракс, что можно связать с их более древним возрастом. Кроме того, в данных ключевых площадках в связи с их более легким механическим составом нами [3] отмечена самая высокая температура объекта исследований, что также обусловило более интенсивное накопление карбонатов. Теперь мы стараемся раскрыть роль гидротермического режима в механизме формирования карбонатного новообразования ( $\text{CaCO}_3$ ). Здесь главная роль в протекании явлений принадлежит границе раздела двух фаз — термической и водной (парообразной), так как в поверхностных слоях между соприкасающимися фазами силы взаимодействия между молекулами остаются неполностью компенсированными. Верхние границы (от 40—50 до 70—80 см) капиллярной каймы, которые находятся под постоянными токами теплооборота температурной волны, как в суточном, так и в сезонном цикле обуславливают испарение воды и периодическое осаждение  $\text{CaCO}_3$  в данном горизонте. Вода здесь является носителем ионов и молекул солей, а температура — их накопителем.

Поступление почвенно-грунтовых вод в горизонт суточного теплооборота и иллювиальный карбонатный горизонт осуществляется комплексными физическими явлениями — термодиффузионными и капиллярно-сорбционно-вакуумными силами. Стремление к минимуму свободной энергии является общим принципом, известным из термодинамики, и обуславливает протекание ряда явлений на границе раздела фаз (поверхностного натяжения, коагуляции, коалесценции, смачивания и др.). Кроме того, имеет место участие  $\text{CO}_2$  в реакции образования карбонатов и бикарбонатов.

Возникновение концентрационных пиков анионов в почве вызвано задержкой солей пленочной влагой [5].

Но, как уже было упомянуто, при приближении к центральной части Мугани существенно уменьшается карбонатность (рисунок), что связано с близким залеганием грунтовой воды к поверхности (от 80—100 до 170—180 см). Эту часть региона можно назвать зоной воздействия грунтовой воды, которая и создает совсем иные условия как для образования карбонатов, как и для других почвенных процессов. Следовательно, как показывает карбонатный профиль, здесь иллювиальный карбонатный горизонт отсутствует, и содержание карбонатов по сравнению с

почвами, распространенными в возвышенных участках региона, в 5—6, а местами в десятки раз меньше (2—4%). Карбонаты по всему профилю распространены равномерно (раз. 17, 21, 12, 14, 18, 15, 13, 16), что связано с постоянным воздействием грунтовой воды.

Но при удалении от зоны воздействия грунтовой воды в северо-восточном направлении Муганской степи, где грунтовые воды находятся глубже (больше 3 м) от поверхности земли, вновь создаются благоприятные условия для накопления и увеличения (от 5—10 до 17—18%) содержания карбонатов, а также формирования их иллювиального горизонта (раз. 10, 2, 6, 7). Под иллювиальным горизонтом закономерно происходит уменьшение содержания  $\text{CaCO}_3$ , но с глубиной вновь возрастает (18%) аналогично иллювиальному горизонту, что можно связать с геологическим строением Кура-Араксинской низменности, т. е. погребенностью первичного иллювиального горизонта и формированием вторичного (верхнего).

Изложенное дает возможность сгруппировать почвы Муганской степи для двухметрового слоя по степени их карбонатности: 1. высококарбонатные с развитым иллювиальным карбонатным горизонтом — каштановые, лугово-сероземные и их солонцевато-солончаковые разновидности (разр. 34, 25, 38, 39). Здесь карбонатность ( $\text{CaCO}_3$ ) повышается до 20,14%; 2. среднекарбонатные — серо-коричневые (разр. 36), лугово-сероземные солонцевато-солончаковые (разр. 2, 10, 6, 7) и солончаки (разр. 6). Здесь карбонатность достигает до 18,05%; 3. Слабокарбонатные — сероземно-луговые давноорошающиеся (разр. 17), сероземно-луговые солонцевато-солончаковые (разр. 21, 12, 18, 15, 13, 16), сероземно-луговые орошающиеся (разр. 30) и болотно-луговые солончаковые (разр. 14, 15, 13), которые в основном находятся в зоне воздействия грунтового увлажнения, где карбонатность составляет 1,09—7,43%.

Таким образом, основным источником формирования различных карбонатных профилей в почве является гидротермический режим почвогрунтов с учетом их экологического, геологического и гидрогеологического условий формирования.

#### Литература

1. Волобуев В. Р. Мугань и Сальянская степь: Почвенно-мелиоративный очерк. — Баку: Изд-во АзССР, 1951.
2. Волобуев В. Р. Экология почв. — Баку: Изд-во АзССР, 1963.
3. Карапов А. М. Агрофизическая характеристика, режимы и рациональное использование почв Южной Мугани: Автореф. дис... канд. с.-х. наук. — Баку, 1978.
4. Мамедов Р. Г., Карапов А. М. — Изв. АН АзССР. Сер. биол. наук, 1980, № 4, с. 71—78.
5. Пакшина С. М. Передвижение солей в почве. — М.: Наука, 1980.

Институт почвоведения  
и агрохимии АН АзССР

Поступило 10. II 1988

Э. Н. Күләмәев, Р. Г. Мамедов, А. М. Карапов

#### МУГАН ДҮЗҮ ТОРПАГЛАРЫНЫҢ КАРБОНАТЛЫГ ПРОФИЛИ

Торпагда карбонатларын мигдары эң онун торпаг профили үзәрө најланмасынын характеристикин көндөн тәсөррүфаты биткىләрнин дүзүн јөрлөшдирілмәсінде, мелиорасына ишләрнинде, торпагын мұнбитеттік дәрәжесінин мүәжжілік еділмәсінде бөлжүк шарттарда.

Тәндігіт иатичеләрі кестәрінде, Муган дүзү торпагларында карбонатларын мигдары кениш һүдүддә дәжиштерек торпаг тәқсисинде 1—20% тәшкил едір. Муган дүзүнде торпаглары карбонатлыг профилинин характеристикасында мигдарына көрінген 3 група белгілі.

A. N. Gulahmedov, R. G. Mamedov, A. M. Caralov

## THE CARBONATE PROFILE OF THE MUGAN STEPPE SOILS

Investigations of carbonate profile of soils show that their content changes within rather wide limits from 1.09 to 20.14%. The soils of Mugan steppe by the character of carbonate profile and contents of carbonates are subdivided into three groups:

1. High-carbonate with a developed illuvial horizon, chestnut, meadow-serozem soils. These soils contain more than 20% carbonates.

2. Medium-carbonate grey-chestnut, meadow-serozem grey-chestnut, meadow-serozem, saline-salt-marsh and salt-solonchak soils.

3. Weak-carbonate serozem-meadow irrigated, irrigated, long ago; serozem-meadow, saline-salt-marsh, marsh-meadow alkali soils. These soils are in zone of subsoll water influence and contain 1.09–7.43% carbonate.

It's established that the basic source of various carbonate profile forming in the soil, taking into account their ecologico-genetical, geologico-geomorphological and hydro-geological conditions of forming, is the hydro-thermal subsoll regime.

АЗЭРБАЙЧАН ССР ӨЛМЛӘР АКАДЕМИЯСЫНЫН МӘРҮЗӘЛӘРИ

ДОКЛАДЫ АКАДЕМИИ НАУК АЗЕРБАЙДЖАНСКОЙ ССР

№ 1

1980

ТОМ XLV ЧИЛД

УДК 416. 61

ӘДӘБИЙДАШУАСЛЫГ

ФӘРИДӘ ВӘЛИХАНОВА

## ШЕ'Р ТӘРЧҮМӘСИНИН СИРРИ

(Азәрбајҹан ССР ЕА академик М. Ч. Чәфөров тәгдим етмишdir)

Азәрбајҹан поэзијасы миң иллик тарихе вә зәйкин поетикаја ма-лиkdir. Ше'римизин бу күнкү инкшәфы оңун поетикасында да мүәјјен дәјишикликләр етмишdir. Буна көрә дә биз ше'римизин милли формасына донуг бир варлыг кими баҳа билмәрик. Бу поетиканы өзүнәмәхсүс-лугларны мүасир көркөмли шаирләррин рәнкарәнк јарадычылыгы мүәј-јән едир. Онларын бир-бириндән фәргли чәһәтләрини өјрәнимәк тәрчү-мәчијә, һәр шејдән өввәл, һәминн шаирләри башга дилли охучуја даңа дә-гиг тәгдим етмәкдә көмәк едир.

Тәрчүмә заманы шаирин јарадычылыгындакы өзүнәмәхсүс чәһәт-ләри, фәрди хүсусијәтләри иңзәрә алмаг вә бүнлары горујуб сахламаг, бу мәгсәдлә эн мүнасиб, эн ифадәли васитәләр тапмаг чох мүһум шәрт-дир. Тәрчүмәни иш просесинде, әкәр орижинал тәләб едирсә, өз јарады-чылыг өзүнәмәхсүслүгүнүн гурбан вермәји бачармалыдыр. Роже Кайяја «ше'ри тәрчүмә етмәк тәзә ше'р язмагдан чотинидир» — дејәркән мәңз буну иңзәрә тутмушшудур. Тәрчүмә орижиналын өзүнәмәхсүслүгүнүн гору-јуб сахламагла јанаши, онун (орижиналны) фотосуна чеврилмәмәли-дир. Адекватлыг тәрчүмә олунаи әсәриң үслубуна вә рунуна ујгун кәл-мәлидир. Бүтүн чәтииликләри илә тәрчүмәјә башлајан тәрчүмәчи јара-дышылыг просесинде Н. В. Гоголун образлы ифадәси илә десәк, «парлаг-шүшәјә чеврилмәји» бачармалыдыр. Чевирдији әсәрләрә диалектик мү-насибәт басләмәји бачармалыдыр. О, бир тәрәфдән орижиналны форма вә мәзмун вәһдәтини горујуб сахламагы, дәгиглиіг фикир вермәји, ди-кәр тәрәфдән Азәрбајҹан дилинин хүсусијәтләрини иңзәрә алыб һәрфи-ликтән гачмагы бачармалыдыр. Дәгиглик, сөзүн лирик чаларларның мусигилији үзви вәһдәт һалында орижиналны әсас фикрини, образ вә айры-айры лөвһәләрни тәрчүмәдә ифадәли, көзәл верилмәснә хидмәт едир. Бу о ваҳт мүмкүн олур ки, тәрчүмәчи өзү милли эн'әнәләрдә дә-риндән бағылышыр вә бу вәһдәт онун јарадычылыгында һармоникдир, монолитдир.

И. А. Кашиинин көстәрдији кими, «Милли форма әсәриң тәрчүмә едилмәдији дили тәһириф етмәкә, биринин дил хүсусијәтләрини башга-сынын грамматик нормаларына табе етмокло јарапныр. Милли форма халгын милли вә ичтимаи мәнишәниң табе етмокло јарапныр. Милли фор-ма халгын милли вә ичтимаи мәнишәниң, психологияни хүсусијәтләрине дәриндән нүфуз етмокло јарана биләр». (1).

Тәрчүмә олунаи әсәриң талеји бир чох һалларда мәңз орижина-лын үслубуна сәдагәтдән асылыдыр. Охучуларын әсәри гәбул етмәлә-риңдә, дүзкүн баша дүшмәләрнә дә бу амилин мүһум ролу вардыр. Борис Слутски чыхышларынын бириндә дејирди ки, ше'рләрни бир эдә-бијјат бағасындан башга биринә көчүрүлмәсі һәм онларын өз көнү-јерләрниңдәки дәјәриндән, һәм дә јени зәминин јааралыгындан асылы-

дир. Бунун учун бэдии эсөр сечилмэс дэ мүхүм мэсэлэлэрдэн бирин тэшкил едир. Сечилэн эсэрлэрин башга өдэбийжат учун лазыныг, зэрүүрилийн бир сыра шартлэрэл мүэjjийлэшир. Ихэний эсэр, иэр шејдэн аввал, исте'дадлы язычнын гэлэмийн мэхсул олмалыдыр, чэлбедини вэ өзкэ дилли охучу учун лазыныг олмалыдыр, «тэрчумэ олуимасы зэрүүрээ чөврилэн эсэр Өмэр Хајамын, яхуд Р. Тагоруи ярадычылыгын дакы јенилийэ вэ энэмижэто малик олмалыдыр. Дүниа өдэбийжаты исэ бу сэнэткарлара сэтияч дуурду вэ онларын ярадычылыгы олмадан белэ долгуулшишмазды» (Б. Пастернак).

Демэли, тэрчумэ өдэбийжатынын зэрүүрилийн яаралыгы вэ јенилийн парлаг ифадэ олуимуш милли өзүнэмхусуслуглар вэ үмүмбэшэри мэзмунла мүэjjийлэшир.

Орижинал нэ гэдэр өзүнэмхусуслурса, милли спесифика онда нэ гадэр күчлү шэкилдэ эке олуунубса, о, бир о гэдэр зэнкиндир вэ демали тэрчумэ учун даха яаралыдыр. Парлаг шэкилдэ нэээрэ чарлан милли шаир олмадан дуняа мигяасына чыхмат да мүмкүн дејилдир. Буна көрэ дэ тэсадуфи дејилдир ки, тэрчумэчинлэрийн диггэтини илк нөвбэдэ вэ ярадычылыгларында ики башлангычын вэндэти олан шаирлэр чэлб едир: миллилик вэ бэшэрилик!

Г. И. Ломидзе бу мэсэлэний манийжтийн дэгиг мэ'наланьрымыншидыр: «Бэшэрилик миллилик учун залари күчлэндиринчи дејилдир, экшина, миллилийн манийжтийн илэ даха сих элагэлийдир. Бэшэрилийн нарадан башлангычыны вэ миллилийн нарада гурттаргасыны сэргээдлэжиний ахтармаг холоста иид мэсэлэдир. Сэнэтдэ бу чүр сэргээд юхдур вэ олза да билмээ. Мүчэррэд вэ сабит манийжтийн бэшэрилик юхдур! Бэшэрилик мүэjjэн социал вэ милли зэмнинде инкишаф едир. Бэшэрилик иомишо үуманист манийжтэдэдир. Бэшэрилик социал эдалэтла вэндэти, социал эдалэтсизликлэ исэ кэнарда мөвчуддур. Бэшэрилик бу ики мүхүм факторла ёлчүлүр» (3).

Тэрчумэдэ шаир ярадычылыгын дакы «хүсүсилник» вэ «хүсүсилник» бөйж энэмижэто кэсб едир. Бу иэгигэти тэдгиг итмэк учун эввэлчэ орижинала, сонра исэ тэрчумээ бахмаг лазындыр. Бу исэ вэ нөвбэснинде тэрчумэчинин ярадычылыгындан, онуу хүсүсийжтэлэрийнде, тэрчумэ единий шаирин сэнэтине нэ дэрэчэдэ јахын олуб олмамасындан чох асылыдыр. Бүтүн бу мэсэлэлэрийн ёлми иэлли тэрчумэнин мүрэkkэб проблемлэрийнши ачылыши учун ачар верир.

Азэрбајҹан совет поэзијасы бир чох шаирлэрийн ярадычылыгындан бэхралэндир. Онларын иэр биринни исэ вэ услубу, вэ кејфијетлэри вардыр. Нэ гэдэр шаир варса, о гэдэр дэ услуб вардыр. Шаир услубу онуу бүтүн иёжтийни, психолохијасыни вэ дахили алэмийн тэ'жин едир. Ихэй шаирин өзүнэмхусу поетик габилијэти вардыр вэ бу, онун күчү, ишыг мэнбэјидир. Бу дахили ишыг—«аура»—тэрчумэдэ мүтлэг горуунуб сахланмалыдыр.

Услубун өзүнэмхусу «гашуну» тэрчумэнин практикасында да гувээдэ галыр. Тэрчумэчи вэ дэсти-хэтийн бүтүн күчү илэ дэјишмир, онуу орижиналын өзүнэмхусуслугунда «иэлл едир». Ела бил ки, тэрчумэчи мүэллифин услубу алтында «сахталашмыр», о, ёзу олдугу кими дэ галыр. Тэрчумэ ярадычылыгында умуми илэ хүсүсн айнк вайнидлийн ярадыр. Тэрчумэдэ спесификийн тэ'жини учун шаир вэ тэрчумэчинин ярадычылыг лабораторијасыни, тэрчумэнин орижинала нэ дэрэчэдэ јахын олмасыни тэдгиг итмэк лазындыр. Тэрчумэ о ваахт идеал иэллини тапыр ки, тэрчумэчинин вэ шаирин естетик «мэн»шинин умуми вэ спесифик чэхэтлэри бирлэшшиш олсун. Йалныз бу иалда тэрчумэдэн яра-

дышылыг иши кими данишмаг мүмкүндүр. П. Антоколски догру олараг дејир: «Тэрчумэ калка дејилдир, о, бэдии портретдир. Шиширтмэлэр, кэсийн чизкилэр јалныз охшарлыги артырыр. Тэрчумэ олуимуш ше'рлэр јахши, ишамлы сэслэнмэлийдир. О, орижиналын мутализи кими ишэччанла охуималыдыр» (4).

Шаир и фэрглэндирэн сэнэткарлыг, јарадычылыгыны башга миллин малы итмэк ишэдийн халгдан јазанд, јахуд тэрчумэ өдэндэ онуу ше'рлэриндэ өзүнү көстэрэн сэмимилик дэ бурадан Ѵэллир.

### Өдэбийжат

1. Н. А. Кашкин. Ложный принцип и неизбежные результаты. — «Иностранный язык и школа», 1952, № 2, стр. 134. 2. Литературная Россия, 1961, № 3, стр. 4. 3. Г. Лодийдзе. Интернациональный пафос советской литературы. — М., «Советский писатель», 1967, стр. 101—108. 4. П. Антокольский. Гражданская поэзия Франции. — М., 1955, стр. 7—8.

Низами адына Халглар Достлугу  
Орденли Өдэбийжат Институту

Алыннышдыр 5. V. 1983

Ф. А. Велиханова

### ТАЙНА ПЕРЕВОДА СТИХА

Поэтика Азербайджана имеет многовековую историю и основу. Она является той почвой, на которой развивалась и развивается азербайджанская советская поэзия. Развитие поэтики идет и сегодня, приводя к видоизменению этой поэзии. Изучение особенностей поэтики переводчиком поможет лучше, глубже, точнее воспроизвести оригинал на другом языке. От верности стилю подлинника зависит во многом и судьба переведенного произведения — будет ли оно принято читателями, будет ли понятно ими.

F. A. Velikhanova

### THE SECRET OF THE TRANSLATION OF THE VERSES

The poetics of Azerbaijan has ancient history and foundation. It is shown that it has developed and is developing in the poetry of the Soviet Azerbaijan. The poetics is developing today—and helps the modification of the poetry. The study of special features of poetics helps the translators to reproduce the original better, deeper and more exactly. The faithfulness of the style of the original depends on the translation of the work whether the readers will receive it, whether the text is understandable for them.

## ЗАМАН ЭСКЭРЛИ

## ДРАМАТИК ЭСЭРДЭ АФИША

(Азэрбајҹан ССР ЕА академики М. Ч. Чагаров төгдим еттишидир)

Азэрбајҹан фачиәсийин мэтниңдэ башлыгдан соира чох гыса бир мүэллиф гејди вериллир. Үч-дерд сезлэ ифадэ олунан бу гејд — эсэриң жаирыны, нәчманин вә дахили белкүсүнү билдирир. Даһа дөгрүсу, башлыгын ифадэ стдији мәэмүн нағгында информасија јүкү бу гејдлэ гисмэн артыр; аjdын олур ки, мәсәлән, «Надир шаһ» — нәчмән етибарила дөрд, «Баһадыр вә Сона» — беш, «Мусибәти-Фәхрәддин» исә — алты пәрдәллә олуб, фачиә жаирында язылмышдыр.

Бундан соира мэтниң афиша ниссеси көлир. Азэрбајҹан драматургиясында «Әһли-мәчлис», «Әфрад», «Әфради-әһли-мәчлис», «Әшхас», «Иштирак едәнләр» сезләри илә ифадэ олунан афиша театр, кино, концерт, мүназирә афишаларындан эсаслы сурәтдә фәргләнир. Умумијјәтлә, нәр һансы мәдәни-күтләви, яхуд ичтиман-сијаси тәдбири реклам етмәк, онун вাহтыны вә јерини көстәрмәк мөгсәди изләји\* театр, кино, мүназира афишаларындан фәргли олараг драматик афиша эсэрин архитектоникасына дахиллир; онун бәдии структурунун үзви тәркиб ниссәсидир. О, илк нөвбәдә пјесин иштиракчыларынын адышы билдирир. Бунуна бәрабәр персонажларын зәнири көркөми, кејими, яшы, вәзиғеси барадә илк мә'лumatы да охучу эсэрин афишасындан алыр. Нәлә нәдисәләри вә фәәлијјәти изләмәјә башламаздан өзвәл она бөлли олур ки, мәсәлән, «Дагылан тифаг» фачиәсийин баш гәһрәманы Нәчәф бәј — мүлкәдар, персонажлардан Мәшәд и Җәфәр — сөвдәкар, Имамверди исә дәлләкдир. Яхуд «Учурум» фачиәсийинде Чәлал — узунсачлыдыр, сәнәти рәссамдыр; Көвәрчини — онун нәрәми, Улуг бәј исә Көвәрчинин бабасыдыр; Аижел — «екнич, фөвгәл» адә көзәл вә шивәкар бир франсыз гызыдыр». Беләниклә, афиша драматик эсөрдэ персонажлар нағгында тәсәввүр ярадан илк вәниддир. Онсуз драматик эсәр бүтөв дејил, натамамдыр.

Вердији мә'лumatын дәрәчесинә кәрә афишалар мүхтәлиф олур. Дүнија фачиәсийин тәччүрбәси осасында онун үч типини көстәрмәк олар: мәһдуд, конкрет вә кениш афишалар.

Мәһдуд афишаларда персонажын зәнирын афишасында бир көстәриллир, онун нағгында олувә неч бир сез дејилмир. Дүнија фачиәсийин бабасы Есхилин «Фарслар», «Фивә гарши једи чај», «Агамемнон», гәдим Рома шаири Сенеканын «Медеја», «Федра», «Един», «Финикијалылар» фачиәләринин афишалары бу типе илдидир. Бу эсәрләрдэ иштирак едәнләрин оху-

\* Тәсадуфи дејилләр ки, бир чох китабларда афиша — мәңз «реклам нөвү», «таслаша, концерт, мүназира вә с. нағгында ири нәрфләрдэ язылыб, көзәдәји бир јердән асылмыш «ел» кими изаһ олунур (Б. ах: Большая Советская Енциклопедия, т. 2, — М., 1970, с. 434; Словарь иностранных слов, — М., 1979, с. 65; Словарь русского языка в четырех томах, т. I, — М., 1981, с. 52).

чуја мәшһүр мифләрдән, набелә јунаң драматургијасындан яхши таңыш олмасы онлар нағгында олувә мә'лumatat ентијач тәләб еләмлир вә она көрә да афишада зәнирын персонажларын ади чәкилир.

Конкрет афишаларда пјесин иштиракчыларын зәнирын бир чоноти көстәриллир. Есхилин «Зәичирләнмиш Прометеј», Шекспирин «Ромео вә Җулjetта», «Нәмлет», «Отелло» фачиәләринин афишалары конкретдир. Кениш афишаларда исә сурәтни ики, үч, дөрд, бә'зән нәттә даһа артыг хүсүсүйјәти гејд олунур. Белә афишалара нүмүнә олараг Франса драматургу Пјер Корнелии (1606—1684) «Родогуна» фачиәсийин көстәрмәк олар.

Классик Азэрбајҹан фачиәсийинде зәнирын адларын гејд олундуғу мәһдуд афишалар јохдур. Драматурглар мәһдуд вә конкрет афишалары синтезинде истифадә етмишләр. Мәсәлән, Э. Џагвердиевин «Ага Мәһәммәд шаһ Гачар», А. Шаигин «Гафгаз чичәни» фачиәләриндә персонажларын бир гисми нағгында мәјјән бир мә'лumatat вериллирсә, бә'зина ләринин зәнирын ады чәкилир, онларын нағгында олувә неч бир мә'лumatat верилмир. Элбәттә, бу сәбәбсиз олмајыб, нәмин сурәтләрин ја тариха сима кими мәшһүр олмасы (Ага Мәһәммәд шаһ Гачар, Шамил), ја да үмуми сәчијә дашымасы илә (забит, эскәр, сәркәрдә) бағлыдыр.

Н. Вәзировун «Мусибәти-Фәхрәддин». Э. Џагвердиевин «Дагылан тифаг», Џ. Чавидин «Шејда» фачиәләринин афишалары конкрет сәчијә дашыјыр. Нәмин эсәрләрдэ иштирак едән сурәтләрин зәнирын бир хүсүсүйјәти (мәсәлән, Нәчәф бәјин — мүлкәдар, Сона ханымын — онун еврәти, Мәчид эфәндийин — мәтбәэ мүдир, Шејда Рәмзинин — мүһәррир олмасы) көстәриллир.

Азэрбајҹан фачиәләринде кениш афишалардан вә онларын конкрет афишаларла синтезинде даһа чох истифадә олунмушдур. «Шејх Сән'ан», «Учурум», «Иблис», «Афэт», «Марал» фачиәләринин афишалары бу типе илдидир. Бу афишаларда эсэрии иштиракчыларына даир гисмән әнатәли мә'лumatat вериллир. Мәһдуд вә конкрет афишалардан фәргли олараг кениш афишаларда чох вахт персонажларын зәнири көркөми нағгында кифајэт гәдәр тәсәввүр ярадылыр. Мисал учун: «Шејх Кәбір — фәзиләт вә үрфанилә, иршад вә ичтىнадилә мәшһүр, ағсагтал вә нураны бир мүршид; Шејх Эбузәр — Шејх Кәбирии айләснә мәһрәм, ев ишләринә нәзарәт едән бир ихтијар; Јылдырым — Көвәрчинин гардаши. Узунсачлы, ортабојлу, көзәл бир тәләбә; Экрем — пәришан сачлы, мүтәфеккир бир кәич. Чәлал илә Йылдырымдан бир нечә јаш бөյүк; Эртогрул — 30 јашында, садә гијафәли, пәришан сачлы мүһәррир; Явуз — 30 јашында Эртогрулун архадашы, мүәллим Хайдамир — 53 јашында, Эртогрулун дајысы, пәнсиели, чатал сагаллы, маариф мүдирү вә с. Бу афишаларда персонажларын зәнири көркөми аждын көстәрилмәкә бәрабәр, нәм дә онларын гоһумлуг вә јахыныг мұнасибәтләри барада мәјјән фикир сөјләнмишdir.

Азэрбајҹан фачиәләринин афишасында бә'зән персонажларын характеристикане даир дә мәјјән мә'лumatat вериллир. Гәһрәманларын дахили «мәңз», онун неча адам олмасы барадә илкни билини охучу мәңз афишадан алыр. Мисал учун, Џ. Чавид фачиәләринин гәһрәманларынан Чәлалын — нәссас, доктор Гаратайын — гүриаз, Огтајын — сәмими, Һұмајын — мә'лumatatty, Арслан бәјин — «миррасхор», Назлынын — «еји рүйлу, динидар» олмасыны нағыдан өзвәл мүэллиф өзү дејир вә пјесин мәзмұнда онун вердији характеристика тәсәдиг олунур. Лакиш тәдгигатчылар тәһлил заманы сурәтләри сәчијәләндириләркән афишалара диггат жетирмир, орада дејиләнләри нәзәре адмырлар. Һалбуки эсәрдэ мүэллиф

мөвгөйини, онун айры-айры сурэтләрә мүнасибәттини, персонажларының ахлаты симасыни, дахили-мә’нәви аләмини дүзкүн мүәյҗәнләшdirмәкдә афишалар хүсуси эһәмијәттә кәсб едир. Мисал учун, «Марал» фачиесиниң дән бәһе едән алымләр Арслан суратини, демәк олар, гәтийән елми тәһлилә чөлбәләмәир, онун нағында «Маралының дејиклиси», яхуд «севимли Арслан» ифадәләрини сөjlәmәkla кифајәтләнirләр. Догрудан да пјесдә Маралының Арслана рәғбәт вә севкиси ашкар дујулур. Ыттә асәрин бир юриндә о, Арсланың эксини өпүр, онун голлары арасында өлмәни хошбәxtлик сајыр. Чавид исә Арслана мүнасибәтдә Маралла экс мөвгедә дајаныр; заһирән көзәл, милли гијафәтдә кәзән 25 јашлы бу көнчى һәм дә «мирасхор бир бәјзадә» кими тәгдим едир.

Шаирин вердији бу характеристика сүjetин инкишафында өзүнү дөрүлдүр. Беләки, Маралының көңүлсүз, чәбрән Түрхан бәјә верилдији анда Арслан өз гоңумукун бу әдаләтсиз ишдән узаглашмасына, Маралының хилас олмасына неч бир тәшәббүс көстәрми. Марал әр евниң кәлдикдәк соңра исә Түрхан бәјә хәјанәт едир, онун арвадыны гачырмаг истәјир. Тәсадүф дејилдир ки, онун бу һәрәкәти тәмиз үрекли Чинкиз бәждә дәрин һиддәт вә икrah һиссөн эмәлә кәтирир:

Арслан бәј (Чинкизин гулагына һејрәтлә). Аh, Марал, нә Марал!.. Марал, демә, бир чөннөт пәриси...

Чинкиз бәј (һиддәтли, фәгәт алчагдан). Көзләримин ичинә бир ени баҳ!...

Арслан бәј (тәлаш илә). Аман! Рича едәрәм.

Чинкиз бәј (ејин аңәнклә). Сән вичданыны нердә гејб етдин?». Эсәрин сонракы инкишафы да Арслан бәји мә’нәви-эхлаги чәһәтдән учалтыр; онун һәрәкәтләри һәтиги мәһәббәт угрунда чәфалара گатлашып, фәдакарлыг көстәрән тәмиз үрекли бир ашиги јох, башгасының һалалына кәм бахан әjjашы хатырладыр. Тәсадүф дејилдир ки, о, Маралы «бајгуш јувасындан» хилас етмәк истәркән неч бир мәрдлик нүмүнәсін көстәре билмир; өзвөлчә заваллы гызы бәдиам едир, онун ағыр күләјарасы алмасына банс олур, соңра исә Маралы чәтиң вәзијәтдә, јаралы налда гојуб гачыр.

Азәрбајҹан фачиесинде афиша сурэтләrin инкишафыны, бәдии характеристики формалашмасыны, бүтөвлүкдә гәһрәмәнләрның кечдији јолу вә пјесин идејасыны изләмәк учун әлверишли шәраит јарадыр. Афишаның тәгдим олуидугу мәгамда һәлә драматик инкишаф башланмыр, персонажлар статик вәзијәтдә олурлар. Оиларын фәалијәттә вә гарышылыгы мүнасибәти көрүмүр. Сүjetин инкишафында исә һәр бир сурэт формалашыр, этә-гана долур. Характерләrin эн сәчијәви кејfijjәtләr ачылыб ашкарланыр, айры-айрылыгда оиларын һәр бирини фәргләндирән фәрди хүсусијәтләri үзэ чыхыр. Бу чәнат «Иблис» фачиесинин афишасында айдын көрүнүр. Бурада шаир Иблис вә Мәләк нағында неч бир мә’лумат верми; оиларын јалныз адны чекир. Демәли, һәмни сурэтләр һәлә үмүми сәчијә дашијыр; Иблис — «чүмлә хәјанәтләр» банс», «һәр кәсә хани олан иисан» кими хүсусилюшмәјиб. Чавидин фәрди сәнэткар орижиналлығы, ону башга Иблис мүәллифләrinдән айыран нөвөтөр кејfijjәtләr сүjetин вә һадисләrin кедишиндә мејдана чыхыр. Айдын олур ки, Данте, Марло, Милтон, Ынте вә Лермонтов кими дүнија классикләrinдән фәргли олараг, Чавид Иисан — иблиси јарадыр. Сәләфләrinин јарадычылығында «мәләjини, илаһини иблисләшмәси, Чавидла исә иблисин иисанлашмасы баш верир».

Беләликлә, драматик эсәrlәrin һамысында олдуғу кими, фачиәтдә дә афиша иштиракчыларын ади сијаңысы дејил; о, бәдии мәтнин үзви тәр-

киб һиссәси, онун структуруну, гурулушуну мүәjәnlәшdirән мүһум поетик валиддир. Класик Азәрбајҹан драматуркијасында, о чүмләдән бу валиддин сабит јери вар: пјесин әvvәlinde, башлығы изаһ едәn мүәллиф гејdiндән соңra, илк пәрдәдән әvvәl кәлир вә бүтүн асәрә аид олур. Лакин бә’зән мүстәсна һаллара да тәсадүф едилir. Мисал учун. Э. һагвердиевин «Аға Мәһәммәd шаш Гачар» фачиесинде һәр мәчлисин өзүнә аид хүсуси афишасы вардыр. Мәчлисләrin әvvәlinde верилән бу афишалар конкрет олуб, һәмни мәчлисин иштиракчыларының кимлијини билдирир.

### Әдәбијат

1. Һүсейн Чавид. Эсәrlәri, 2-чи чилд. — Бакы, 1982, с. 177.
2. Ҙенә орада, с. 7, 177
3. Ҙенә орада, 1-чи чилд, с. 298.
4. Ҙенә орада, с. 226.
5. Ҙенә орада, с. 274—275.
6. Ҙашар Гарајев. Фачиә вә гәһрәмәт. — Бакы, 1965, с. 118.

Азарб. ССР ЕА Низами адына  
Әдәбијат Институту

Альянышыр 15. XII 1987

Заман Аскерли

### АФИША В ДРАМАТИЧЕСКОМ ПРОИЗВЕДЕНИИ.

В отличие от театральных, кино- и лекционных афиш, рекламирующих определенное культурно-массовое, научное или общественно-политическое мероприятие, указывающих время и место его проведения, в драматическом произведении афиша входит в архитектонику пьесы, является составной частью его художественной структуры. Это первый художественный компонент, создающий впечатление о персонаже (о его имени, внешнем виде, возрасте, должностях и даже характере) в драматическом произведении.

Афиши бывают различны по степени предоставляемого в них сведения. Можно различить три их типа на основе опыта мировой трагедии: ограниченные, конкретные и обширные афиши.

В органических афишах называется лишь имя персонажа (трагедия «Персы» Эсхила, «Медея» Сенеки). В конкретных афишах указывается только одно качество действующих лиц пьесы («Прикованный Прометей» Эсхила). В обширных же афишах отмечаются два, три четыре, иногда даже больше качеств образа (трагедия «Родогуна» П. Корнеля).

В классической азербайджанской трагедии нет ограниченных афиш; где указывались бы только имена. Драматурги больше использовали обширные афиши и их спины с конкретными.

### Z. Askerli

#### THE BILL (THE LIST OF CHARACTERS) IN THE DRAMA PLAYS

In contrast to the playbills and also to the film and lecture bills which advertise a certain popular cultural, scientific or social and political arrangement and show the time and the place of its carrying out, the bill, i. e. the list of characters in a play, is a part of it, a part of its artistic structure. It is the first component which gives a notion of the characters in a drama play (their names, age, appearance, jobs and even their temper).

The bills can be different according to the information containing in them. From the experience of the world tragedy we can distinguish three types of bills: limited, concrete and extensive bills.

In limited bills we can find only the names of the characters and no other information (e. g. the tragedies "The Persians" by Es hylus and "Medea" by Seneca).

In concrete bills only one feature of the characters of the play is usually pointed out ("The Chained Prometheus").

In extensive bills we can find two, three and even more features of a character, be. g. in the tragedies by P. Corneille.

There are no limited bills with only names of the characters in the classical Azerbaijani tragedy. The dramatists used more often extensive bills and their combination with concrete bills.

Г. А. ГЕЙБУЛЛАЕВ

## О САКАСЕНЕ В АТРОПАТЕНЕ

(Представлено академиком АН Азербайджанской ССР З. М. Буниятовым)

Наименование области Сакасена (иран. *šaka*—*šanapa* — «обитающая территория саков») впервые упоминается в труде Страбона (I в.) в четырех местах (Strabo, II. 1,14; XI. 7,2; XI. 8,4 и XI. 14,4). Исследователи во всех этих сообщениях Сакасену считали названием одной и той же области, локализовывали ее в междуречье Куры и Аракса — в зоне Кировабад (Гянджа) — Казах — и связывали возникновение наименования Сакасены с вторжением скифов в VII в. до н. э. в Переднюю Азию [1, 230; 2, 10, 11; 3, 250; 5, 49].

Однако в труде Страбона о Сакасене в междуречье Куры и Аракса говорится лишь в одном случае. Касаясь равнины левобережья Аракса, называемой им Араксеной (см. далее), он сообщает: «За этой равниной идет Сакасена, тоже граничащая с Албанией и с р. Киром; еще далее идет Гогарена» (Strabo, XI 14,4). В этом сообщении Сакасена идентична с Шакашеном в армянских и арабских источниках — название области в Албании в раннем средневековье. Локализация ее с зоной Гянджи безупречна: во-первых, в «Истории албан» Монсея Каланкатуйского есть сведения о том, что г. Ганзак (Гянджа) возник в области Шакашен, и во-вторых, в XVI в. в зоне Гянджи отмечена р. Шакичай («река Шаки»). В труде Страбона дважды речь идет о Сакасене на юге — от Аракса — «ниже Гирканий» (Strabo, II. 1,14 и XI. 7,2), следовательно, в Атропатене. Приведем текст обоих сообщений Страбона: «Во всяком случае в Гирканий, как говорят, виноградная лоза приносит метрет вина, а смоковница дает 60 медимнов плодов; пшеница же вырастает снова из зерен выпавших колосьев на жнивье, пчелы строят ульи на деревьях, и мед течет с листьев; так случается в Матиене, провинции Мидии, в Сакасене и Араксене, областях Армении. В последних двух областях это не так удивительно, если верно, что они лежат ниже Гирканий (выделено нами. — Г. Г.) и отличаются от остальных земель мягкостью климата» (Strabo, II. 1,14). С этим сообщением совпадает и другое, которое в определенной степени является повторением предыдущего: «Доказательства благосостояния этой страны (Гирканий. — Г. Г.) следующие: виноградная лоза производит 1 метрет вина, смоковница — 60 медимнов; хлеб рождается из зерна, выпавшего из соломы, пчелы роятся на деревьях, а мед течет с листьев. То же имеет место и в области Матиене в Мидии и в Сакасене и Араксене в Армении» (Strabo, XI. 7,2).

Как видно, в обоих сообщениях о Сакасене говорится в связи с рассказом о Гирканий и отмечается, что область Сакасена располагалась ниже Гирканий, т. е. в Атропатене, рядом с областью Араксена. Поэтому естественно, что эти сведения не имеют отношения к Сакасене (раннем средневековому Шакашену) в междуречье Куры и Аракса в Албании.

Наконец, в труде Страбона еще раз говорится о Сакасене. Касаясь набегов саков, он далее пишет, что они «заявляли лучшей землей в Армении, которой они оставили название от своего имени — Сакасена» (Strabo, XI. 8,4). В сообщении нет намека на то, что эта область находится в Закавказье. Однако исследователи, опираясь на это сообщение, тоже отнесли Сакасену к раннем средневековому Шакашену в междуречье Куры и Аракса. В комментарии к этому сообщению И. М. Дьяконов писал: «Во времена Страбона Армения захватила временно некоторые части Советского Азербайджана» (3, 50). В. В. Струве также допустил ошибку, когда, исходя из этого обобщения Страбона, писал, что «по имени саков часть Армении даже стала называться Сакасена», что «врагами Дария (когда вспыхнуло восстание в Армении против Дария, которое подавил Дадаршиш. — Г. Г.) были не армяне, а племена саков, появившиеся за несколько десятилетий до того на территории Армении» (6, 18—20). Из этого мнения следует, что междуречье Куры и Аракса, где находилась Сакасена, еще в VI в. до н. э. принадлежало Армении, что, конечно, неверно.

Если, как полагают, саки (скифы или часть их) пришли в Переднюю Азию в VII в. до н. э., где в то время еще не существовало армянского государства (было царство Урарту), то междуречье Куры и Аракса, где локализуется Сакасена (Шакашен), не входило в состав Урарту. Таким образом, саки, осевшие в Албании в VII в. до н. э., не могли завладеть «лучшей землей в Армении». Приведенное сообщение Страбона следует понимать в том смысле, что саки в VII в. до н. э. заняли область в Мидии. Геродот сообщает, что саки обитают и в Мидии (Нег., III. 92), где они отождествляются с «острошапочными саками» древнеперсидских источников (3, 249). Позже, во II в. н. э., под названием Сакасена в Мидии — Атропатене эта область была захвачена Арменией и поэтому во времена Страбона (или его источника) являлась армянской областью. Следовательно, это сообщение Страбона также относится и к Сакасене в Атропатене.

Итак, в сообщениях Страбона следует выделить две области под названием Сакасена: одну — в Албании (Strabo, XI. 14,4), другую — в Атропатене (Strabo, II. 1,14; XI. 7,2 и XI. 8,4), что до сих пор не учтывается.

Безусловно, эта Сакасена не может быть локализована позднейшим Сакастаном (Сейстаном или Систаном) — исторической областью на границе современного Ирана и Афганистана, которая получила это наименование после оседания там части саков во II в. до н. э. Поэтому эту Сакасену следует отождествлять с местом обитания орткорибантиев Геродота — острошапочных саков древнеперсидских источников десятого округа Ахеменидского государства. «Акбатаны, остальная Мидия, парикани и орткорибанти платили 450 талантов. Это — десятый округ» (Нег., III. 92). В. В. Струве заметил, что «парикани» в этом сообщении Геродота следует считать искажением от «гирканий» (6, 56). Следовательно, эти саки обитали где-то вблизи Гирканий. Это соответствует сообщению Ксенофonta (Кут., V. 2), что саки были соседями гирканов, и к сведению Страбона, что Сакасена лежит «ниже Гирканий» (см. ранее). Этую область расселения саков, в свою очередь, можно считать «страной саков», как гласит надпись ассирийского царя Аишурбанипала (VII в. до н. э.) в Манне [7, 84; 2, 11].

Поэтому прав Э. А. Грантовский, что у племен, проникших в VIII—

начале VII в. до н. э. в Переднюю Азию из Юго-Восточной Европы, уже существовал этоним «сака» [7].

В соответствии с этим в сообщениях Страбона следует выделить две области под названием Араксена: одну — в Албании (Strabo, XI. 14,4), другую — на юге от Аракса в Атропатене (Strabo, II. 1,14; XI. 7,2).

Араксена (от гидронима Аракс и греческого суффикса «ене», как в топонимах Гогарене, Сиракене и др.) в сообщениях того же Страбона является наименованием равнины, по которой протекала р. Аракс. Он пишет, что Аракс, «пройдя через (выделено нами. — Г. Г.) равнину Араксены, впадает в Каспийское море» (Strabo, XI. 14,3). В другом месте он же говорит о «равнине, по которой (выделено нами. — Г. Г.) р. Аракс течет до границ Албании, впадая в Каспийское море» (Strabo, XI. 14,4). Следовательно, Араксеной названа как левобережная (на территории Албании), так и правобережная область (на территории Атропатены). В двух сообщениях Страбона (Strabo, II. 1,14; XI. 7,2) речь идет об Араксene к югу от Аракса — в Атропатене. На границе этой области, «ниже Гиркании», как отмечает Страбон, располагалась и Сакасена. Такая интерпретация сообщений Страбона о Сакасене и Араксene позволяет разрешить кажущуюся противоречивость его сведений, когда, с одной стороны, Сакасену и Араксену автор называет армянскими областями (Strabo, II. 1,14; XI. 7,2), а с другой — говорит, что Кура протекает через Албанию (Strabo, XI. 1,5; XI. 4,2). Следовательно, междуречье, где располагалась Сакасена и Араксена, входило в состав Албании. Таким же образом разрешается и другое «противоречие» Страбона, когда он в одном месте говорит, что Каспиана является албанской областью (Strabo, XI. 4,5), а в другом — сообщает, что Каспиана является армянской областью (Strabo, XI. 14,5). В действительности же следует выделить две области под наименованием Каспиана, одну — к югу от Аракса, после слияния с Курой, на территории Атропатены, другую — в междуречье Куры и Аракса в Мильской степи — в Албании. Известно, что Каспиане греческих авторов соответствовал Балакасан персидских и арабских источников, а Балакасан в раннем средневековье был названием обоих побережьев Аракса, по сведению Иакута Хамави, от Барзанда на юге до Барды на севере Албании — в Аране. Следовательно, следует выделить две части Баласакана и соответственно этому две части Каспиана. Армянами была захвачена Каспиана к югу от Аракса. Это подтверждается сведением Страбона о том, что армяне отняли Каспиану у мидян (атропатенцев. — Г. Г.) (Strabo, XI. 14,5).

Из сказанного следуют выводы:

1. Кроме Сакасены в междуречье Куры и Аракса существовала другая Сакасена в южном Каспии — в Мидии. Саки этой области в древне-персидских источниках назывались острошапочными — «тиграхауда», а в сообщении Геродота — «ортокорибантами».

2. Сакасена в междуречье Куры и Аракса не была центром Скифского царства, как это предполагают некоторые исследователи.

3. Одноименные области Араксена и Каспиана существовали как к северу от Аракса, так и к югу от него; армянские области Каспиана, Араксена, а также Сакасена располагались к югу от Аракса, на территории Атропатены. А Сакасена, Каспиана и Араксена к северу от Аракса находились всегда в составе Албании. Во всяком случае в I в. н. э. это междуречье, от Аракса до Хиракерта, являлось территорией албанского царя Арана. Поэтому все сообщения Страбона о Сакасене, Кас-

пиане и Араксene по существующей интерпретации не могут служить аргументом в пользу мнений, по которым албанская территория между речью Куры и Аракса, куда входила и Сакасена, якобы исконно являлась частью Армении или же со II в. до н. э. до 387 г. входила в ее состав [3, 250; 4, 467; 5, 58].

#### Литература

1. Алиев И. Г. История Мидии. — Баку, 1960.
2. Алиев И. Г. О скифах и скифской царстве в Азербайджане. — Переднеазиатский сб. М., 1979, вып. III.
3. Дьяконов И. М. История Мидии. — Л., 1956.
4. Советская историческая энциклопедия, т. 12..5. Тревер К. В. «Очерки по истории и культуре Кавказской Албании». — М.—Л., 1959.
5. Струве В. В. Этюды по истории Северного Причерноморья, Кавказа и Средней Азии. — Л., 1966.
6. Грантовский Э. А. О восточных племенах Кушанского ареала. — В сб.: Центральная Азия в Кушанскую эпоху. М., 1974.

Сектор археологии  
и этнографии Института  
истории АН АзССР

Г. Э. Гейбулаев

Поступило 16. IX 1988

#### АТРОПАТЕНАДА САКАСЕНА ҖАГГЫНДА

Сакасена әжалатиниң ады Страбонун (I эср) есәринде дерд јердә чәкилир. Идијәдәк тәдигатчылар салы олараг бу ма'луматларны намысыны Кәнчә—Газах зонасында јерләшмиш ва илк орта осрәрдә Шакашен ады илә ма'лум олмуш әжалетә занд етмишләр. Магадани мүаләти илк дәфә олараг мүэjjән етмишләр ки, Сакасена адлы дикәр әжалат Атропатенада јерланынди во демоли, Страбонун вердији дерд ма'луматдан үч; номин әжалэт һаггынадыр. Бунула да айдан олур ки, ер. 11 эсрдә ермәниләр Күр—Араз вадисинәк Шакашен јох, Атропатендакы Сакасени тутмушулар.

Г. А. Гейбулаев

#### ABOUT THE DISTRICT OF SAKASENA IN ATROPATENA

The denomination of district Sakasena is mentioned in the transactions of Strabo (I century) in five places.

Till now the scientists in all articles considered by mistake that Sakasena is the same district between the rivers Kur and Araks. But we revealed that Sakasena designates the name of two districts, one—in the Albany and the other in Atropatena.

МҮНДЭРІЧАТ	
Ријазијат	
<i>М. С. Чабрајлов.</i> Бөзі векторнозначли функционал В-фәзалар нағында . . . . .	3
Кибернетика	
<i>Ж. И. Кринетски, Ч. М. Іачијео.</i> Параметрлөрдің идентификациясы жағында ЖУГГ-ның інеркәтлеринин прогноз едилмәсі . . . . .	1
Ярымкечирічиләр физикасы	
<i>Ф. М. Һашымзадә, С. Т. Павлов, Р. С. Надирзадә, Т. Г. Исмаїлов, В. И. Белитски.</i> Ярыммагнит ярымкечирічиләрдә шығын зоналарасы резонанс типли комбинацион сопулмасы . . . . .	11
<i>М. И. Алиев, Х. Э. Хәлилов, Ш. Ш. Рашидов, Н. Б. Ибраһимов.</i> Мұхтәлиф ашгарларда лекире олумыш GaAs кристалларында дәрнің сәвијејә шуаланманың тәсіри . . . . .	15
<i>М. Я. Бакиров, Б. А. Нәжәфов, В. С. Мамедов, Н. С. Зейналов.</i> Се <sub>1-x</sub> Si <sub>x</sub> бәрк мәйлүлүн аморф тәбагасинин электрик хассалары . . . . .	19
Ұзын кимја	
<i>М. А. Багиров, А. М. Гөрбунов, Р. С. Әлимәрданов, В. П. Малин, Н. А. Ежубова.</i> Активлашмалы оксидтер тәрэфиндән полистиролполивинил хлорид композицијаларының парчалайма гапунаујуғулуглары . . . . .	23
<i>Ә. Г. Саид Өмәр, М. М. Гүсейнов, А. Г. Ҳабибова, С. Т. Газијева, С. Ф. Герајев.</i> Ғарди орто-из параметоксибензилметилкарбиноолларының пропаркил ефирләринин синтезі және реакцијалары . . . . .	28
Гејри-ұзын кимја	
<i>М. М. Әхмәдоға, З. Қ. Зұлғұгаров, А. И. Агаев.</i> Құқурдбирләшмәли газларының катализитик үсулла құқурда چөрілмәсі . . . . .	32
<i>Ф. М. Насиров, Н. Е. Мельникова, Ф. Р. Ҳәзәров, Т. Н. Шахтахтинский.</i> Молекулдар күтәле паялланмасынан алынан иетичеләрә жағдай изобутиленин полимерлошмасы заманы актив мәркәзинің жарайма механизмы . . . . .	35
Кеокимја	
<i>Ф. С. Мәхәррамова, Л. Б. Һүсейнова.</i> Јевлах—Агчабәди әйнімәсінде нефт вағаз ахтарышларында кеокимјәвін үсулларын аерокосмик және кеофизик тәдғигаттардың комплексінде тәтбиги тәрчубасы . . . . .	41
<i>Р. Ә. Һүсейнов, Ч. С. Муратов, А. А. Дадашов, Р. С. Агаев.</i> Қојқолун газ режимдерине тараразлығының дәйнімасы . . . . .	44
<i>Ш. Б. Құлмәміндәв, Г. Б. Абдуллајев, К. Ш. Шиндағоридзе.</i> Дәрнің гуужарының кеология-мұражәбәш шәрдитің газылмасында мұнтын іззәре алмасла гуужарларының дағындығының гејри-симметрик шәкілдә ғалла . . . . .	48
<i>С. Ч. Һүсейнзадә, З. Е. Мәммәдова, Н. И. Бабаев, Р. И. Жағубзадә.</i> Дәнис нефт жаталарының ишлөнілмә шәрләннінде Ҳәзәр сәвијејесін дәйнімәләринин тәдгигедилеуинин сәмәрәсі . . . . .	51
Иидробиология	
<i>Ә. Қ. Гасымов, Ә. Р. Ҳәлилов.</i> Мини-чевири су айбарының діб фаунасының қохиллик дәйнімасы . . . . .	55
Торпагшұнаслығ	
<i>Ә. Н. Құләһмәдәв, Р. Қ. Мамедов, А. М. Гаралов.</i> Муган дүзү торпагларының карбонатлығы профили . . . . .	61

Әдәбијатшұнаслығ	
<i>Фаридә Валиханова.</i> Шे'р тәрчүмесинин сирри Заман Әскәрләри. Драматик әсәрдә афиша . . . . .	67 70
Топонимика	
<i>Г. Э. Гејбуллајев.</i> Атронатенада Слакасенің нағында . . . . .	74
СОДЕРЖАНИЕ	
Математика	
<i>М. С. Джабраилов.</i> О некоторых векторнозначных функциональных В-пространствах . . . . .	3
Кибернетика	
<i>Е. И. Кринецкий, Ч. М. Гаджиев.</i> Прогнозирование движения ППБУ на основе идентификации ее параметров . . . . .	7
Физика полупроводников	
<i>Ф. М. Гашимзаде, С. Т. Павлов, Р. С. Надирзаде, Т. Г. Исмаилов, В. И. Белицкий.</i> Резонансное межзонное комбинационное рассеяние света в полумагнитном полупроводнике . . . . .	11
<i>М. И. Алиев, Х. А. Халилов, Ш. Ш. Рашидов, Г. Б. Ибраһимов.</i> Влияние облучения на глубокий центр в GaAs, легированном различными примесями . . . . .	15
<i>М. Я. Бакиров, Б. А. Наджафов, В. С. Мамедов, Н. М. Зейналов.</i> Электрические свойства аморфных пленок твердого раствора Ge <sub>1-x</sub> Si <sub>x</sub> . . . . .	19
Органическая химия	
<i>М. А. Багиров, А. М. Горбунов, Р. С. Алимарданов, В. П. Малин, Н. А. Эюбова.</i> Закономерности разрушения композиций полистирол-поливинилхлорид под действием активированного кислорода . . . . .	23
<i>А. Ф. Саид Өмар, М. М. Гүсейнов, А. К. Ҳабибова, С. Т. Қазиева, С. Ф. Караваев.</i> Синтез и реакции пропаргиловых эфиров индивидуальных орто- и параметоксибензилметилкарбиноолов . . . . .	28
Неорганическая химия	
<i>М. М. Ахмедов, З. Г. Зұлғұгаров, А. И. Агаев.</i> Катализитическое превращение серосодержащих газов в серу . . . . .	32
Химия высокомолекулярных соединений	
<i>Ф. М. Насиров, Н. Е. Мельникова, Ф. Р. Ҳалағов, Т. Н. Шахтахтинский.</i> О механизации иницирования полимеризации изобутилена по результатам изучения молекулярно-массового распределения . . . . .	37
Геохимия	
<i>Ф. С. Магеррамова, Л. Б. Гүсейнова.</i> Опыт применения геохимических методов в комплексе с аэрокосмическими и географическими видами исследований при поисках нефти и газа в Евлах-Агджабединском прогибе . . . . .	41
Гидрология	
<i>Р. А. Гүсейнов, Ч. С. Муратов, А. А. Дадашев, Р. С. Агаев.</i> Изменение разновесия газового режима озера Гейель . . . . .	44

## Бурение

Ш. Б. Гульмамедов, Т. Б. Абдуллаев, Г. Ш. Шиндахоридзе. О неосесимметричной форме потери устойчивости в окрестности заполненных вертикаль цилиндрических полостей с учетом несжимаемости материала среды при теплообмене к процессу глубокого бурения в геологически-осложненных условиях

## Неотектоника

О. Д. Гусейн-заде, З. Э. Мамедова, Н. И. Бабаев, Р. И. Ягуб-заде. Эффективность исследования колебаний уровня Каспия в условиях освоения морских нефтяных месторождений

## Гидробиология

А. Г. Касымов, А. Р. Халилов. Многолетние изменения донной фауны Мугачаурского водохранилища

## Почвоведение

А. Н. Гульхамедов, Р. Г. Мамедов, А. М. Карапов. Карбонатный профиль почв Муганской степи

## Литературоведение

Ф. А. Велиханова. Тайна перевода стиха  
Заман Аскерли. Афиша в драматическом произведении

## Топонимика

Г. А. Гейбуллаев. О сакасене в Атропатене

9. Текст статьи печатается на белой бумаге через два интервала на листе стандартного размера, с полями с левой стороны (не более 25 мм) и с правой стороны по 58—60 знаков в строке). В тексте недопустимы выставки и вкладки.

Статьи, напечатанные на портативной машинке, не принимаются.

10. Текст статьи должен быть изложен кратко, тщательно отредактирован и исполнен авторами в печать. В математических статьях желательно избегать формулировки теорем, лемм и т. п. При использовании в тексте сокращенных названий (то есть общепринятых) необходимо давать их расшифровку.

11. Математические и химические формулы и символы в тексте должны быть вписаны четко. Следует избегать громоздких обозначений, примесей, избыточных пробелов, показатели степени вместо радикалов, а также expr. Занумерованные формулы обязательно включаются в красную строку, номер формулы ставится у правого края страницы. Желательно нумеровать лишь те формулы, на которые имеются ссылки. Подстрочные и надстрочные индексы и степени следует отмечать карандашом, другим

сверху и снизу:

$$K^{\alpha} r_{\alpha}$$

Греческие буквы нужно обводить (в кружок) красным карандашом. Буквы кириллического шрифта и рукописные в рукописях не использовать, векторные величины — подчеркивать черным, буквы латинского рукописного шрифта следует отмечать за скобками (например, Н рукоп.).

Во избежание ошибок следует четко обозначать прописные (заглавные) и строчные буквы латинского алфавита, имеющие сходное начертание (Ca; Kk; Pp; Oo; Ss; Uu; Vv; и т. д.), буквы I(i) и J(j), букву I и римскую единицу I, а также вразброскую цифру 1 и римскую I', (вертикальная черта), I и штрих в индексах, I (латинское эль) и e. Прописные буквы подчеркивают карандашом двумя черточками сверху (C), а строчные — сверху (c).

Следует избегать знаков типа ~ (волни),  $\odot \oplus, \otimes; \square, \square, \diamond, \vee \wedge$  (крышки) над и под буквами, а также знаков,

$$\text{I} \times \in \phi \phi, \phi, \emptyset$$

Латинские названия вписываются на машинке.

Слова «теорема», «лемма», «следствие», «определение», «замечание» и т. п. следует подчеркивать штриховой чертой, а текст утверждений типа теорем — золотистой чертой (исключая математические символы).

При выборе единиц измерения рекомендуется придерживаться международной системы единиц СИ.

При описании методики исследования следует ограничиваться оригинальной ее тью. При элем. .тном анализе приводить только усредненные данные.

13. Необходимо тщательно проверить написание местных географических названий.

14. Цитированная литература проводится общим списком на отдельной странице: ссылки в тексте даются порядковым номером в круглых скобках над строкой (например, 1). Список литературы оформляется следующим образом:

для книг: инициалы и фамилии авторов, полное название книги, место и год издания;

для журнальных статей: инициалы и фамилии авторов, название журнала, номер тома, номер выпуска, страница и год издания.

Ссылки на неопубликованные работы не допускаются.

15. Все статьи должны иметь резюме на английском языке, кроме того, статьи, написанные на русском и азербайджанском языках, должны иметь резюме на азербайджанском и на русском соответственно.

Публикация статьи в «Докладах» не препятствует напечатанию расширенного ее варианта в другом периодическом издании.

Сдано в набор 6.02.89. Подписано к печати 20.04.89. ФГ 11115. Формат 70×100<sup>1/2</sup>.  
Бумага типографская № 1. Гарнитура шрифта литературная. Печать высокая.  
печ. лист 6,5. Усл. кр.-отт. 6,5. Уч.-изд: лист. 5,87. Тираж 550. Заказ 183. Цена 70 <sup>1/2</sup>.  
Издательство «Элм».

370143 Баку-143, проспект Нариманова, 31, Академгородок, Главное здание.  
Государственный комитет Азербайджанской ССР по делам издательств, полиграфии и книжной торговли. Типография «Красный Восток». Баку, ул. Ази Асланова, 80.  
Производственно-промышленное об-щество «Маштранснаб». Типография по печати.

**70** тәп.  
коп.

Индекс  
**78355**